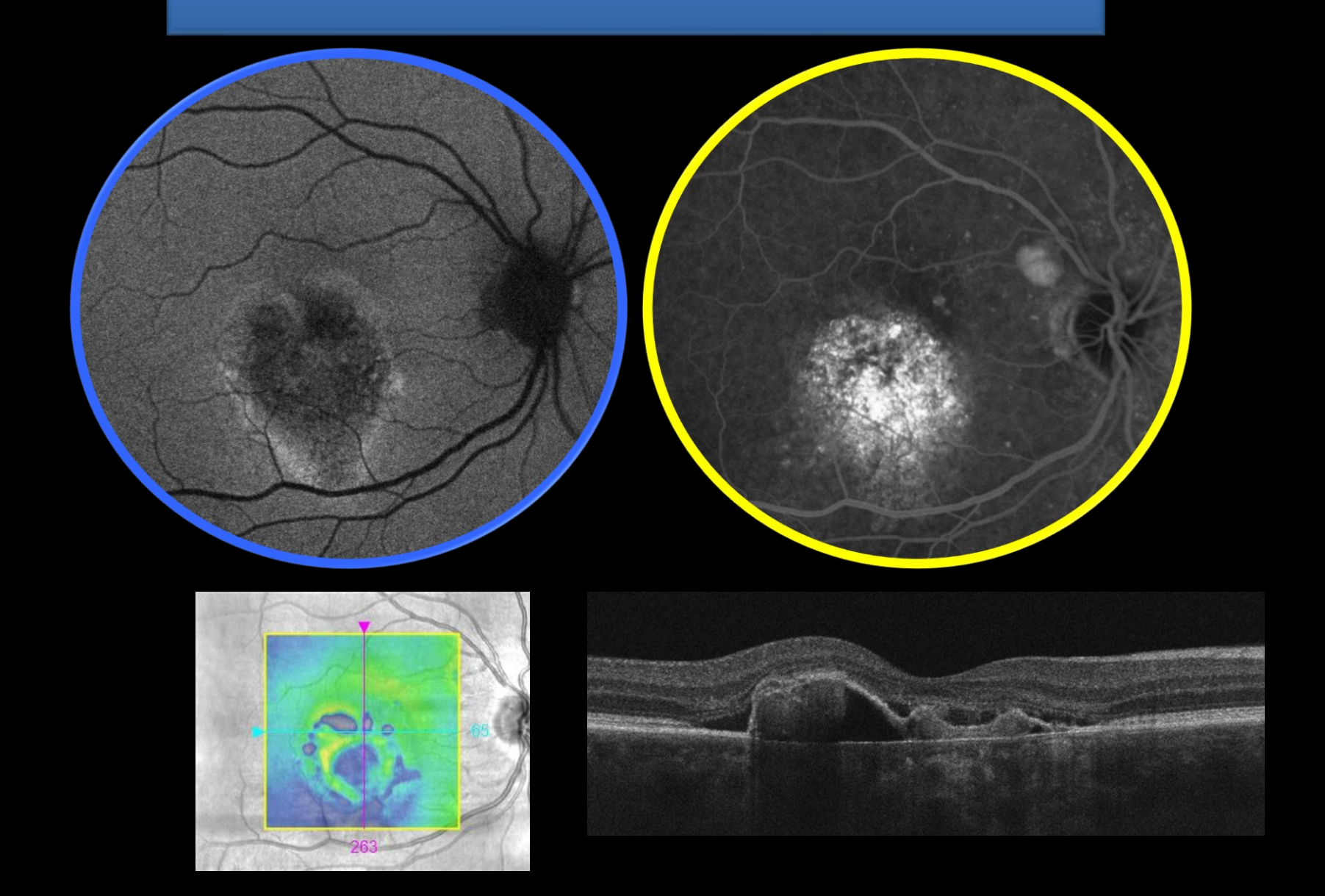
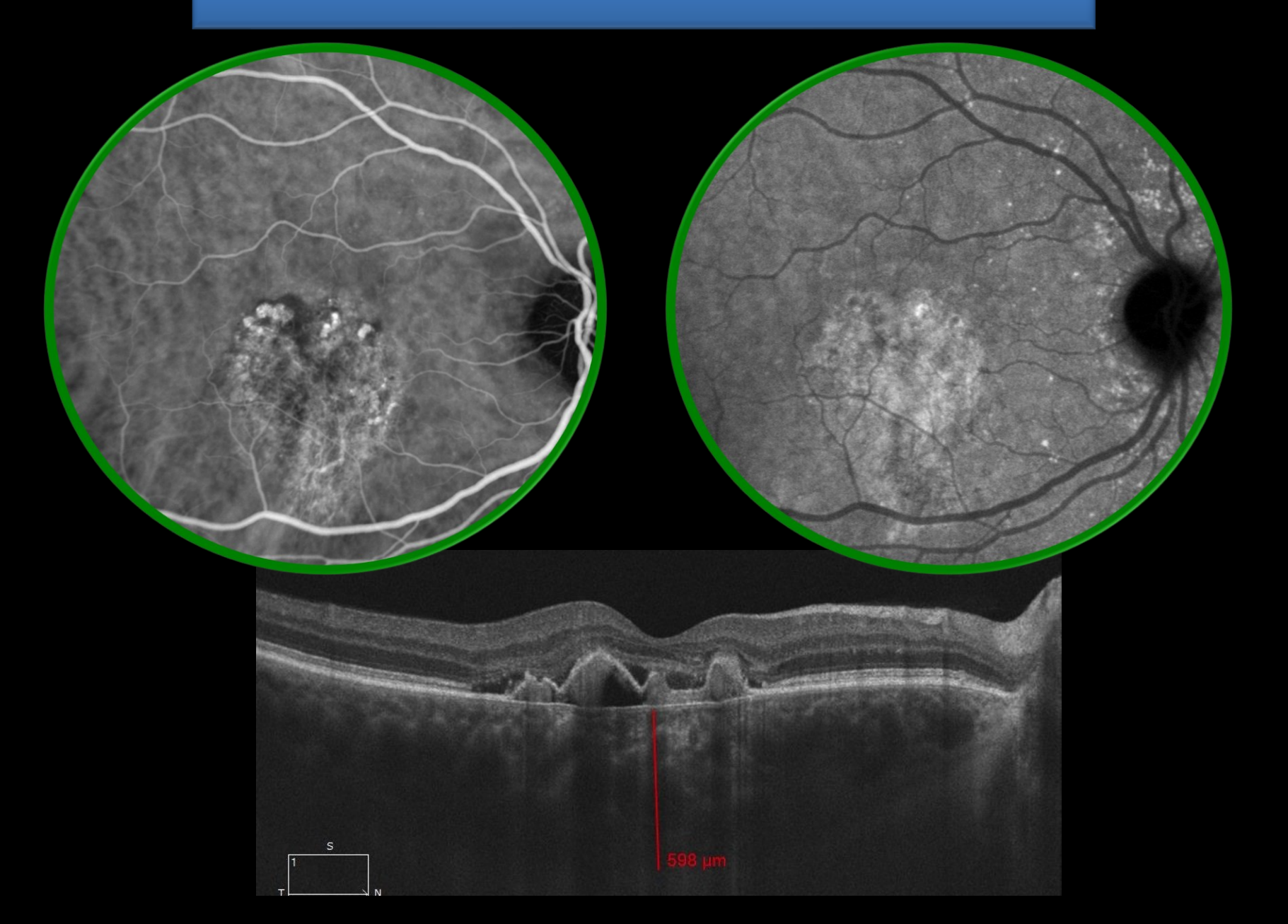


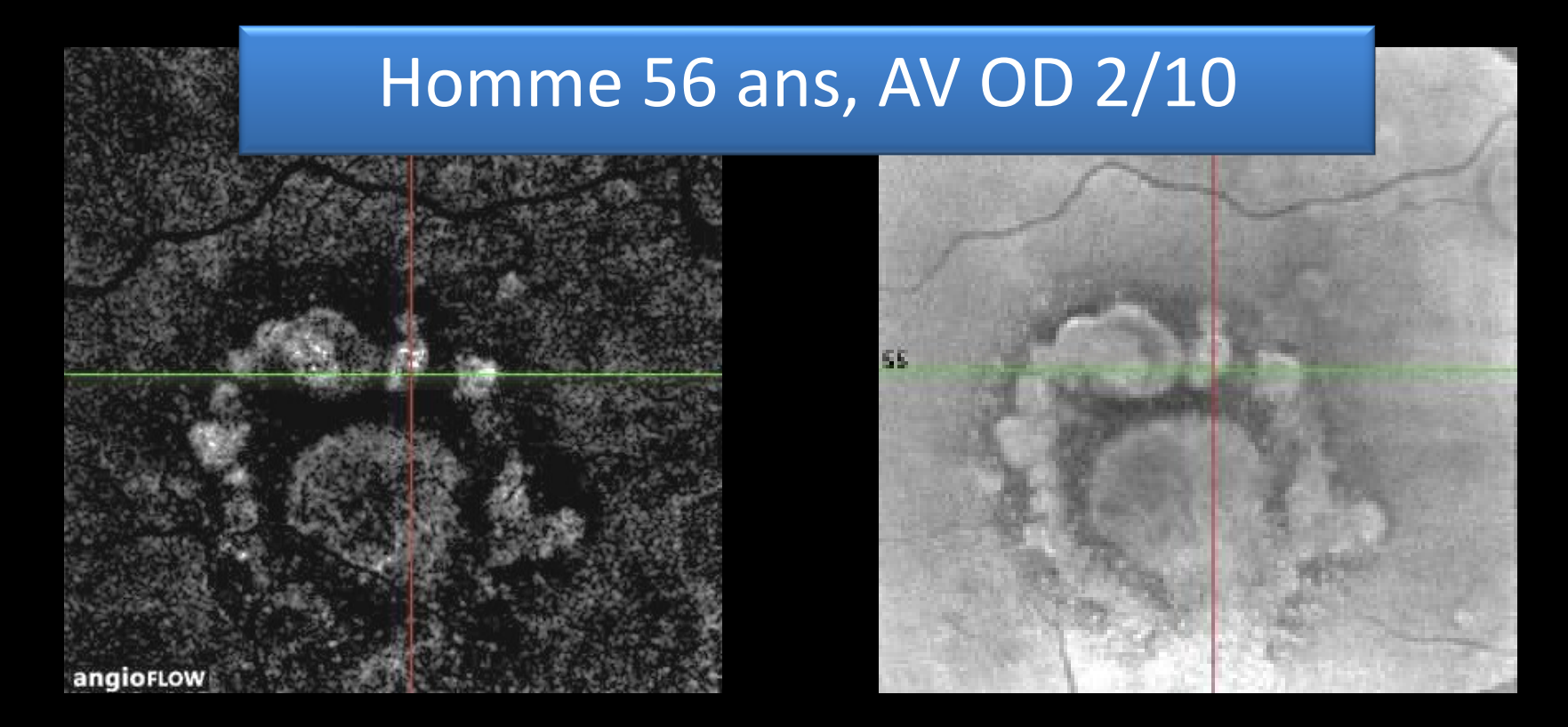
Cas Clinique N°1

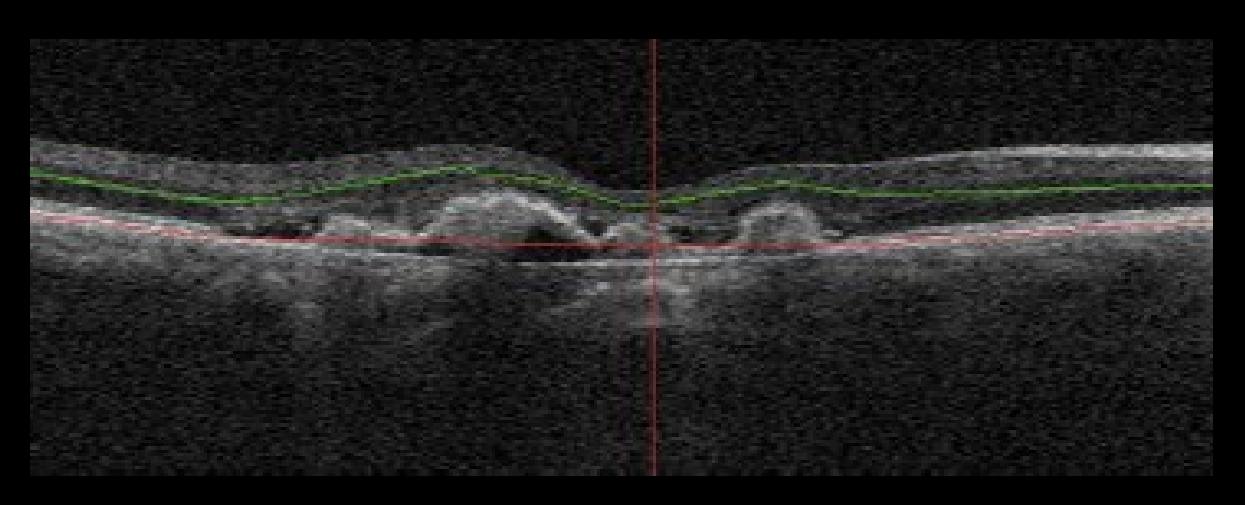
Homme 56 ans, AV OD 2/10



Homme 56 ans, AV OD 2/10







Vasculopathie polypoïdale idiopathique

28 août 2015 2/10

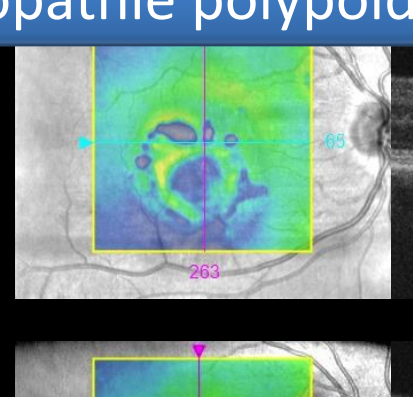


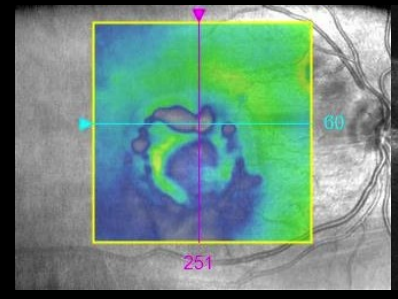
21 oct 2015 3/10

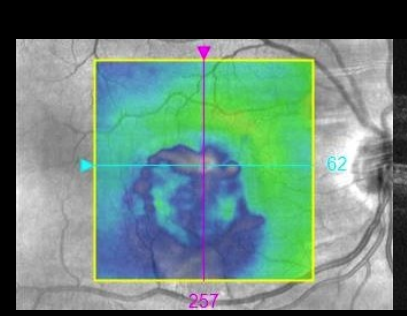


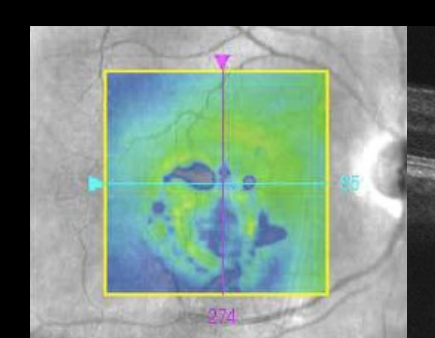
23 déc 2015 2/10

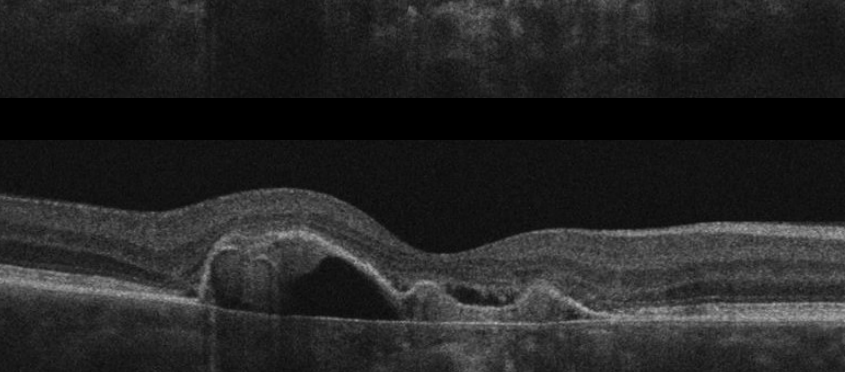
03 févr 2016 2/10

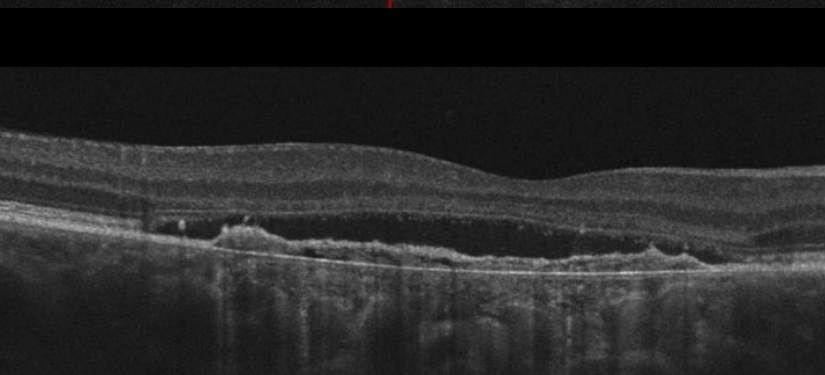








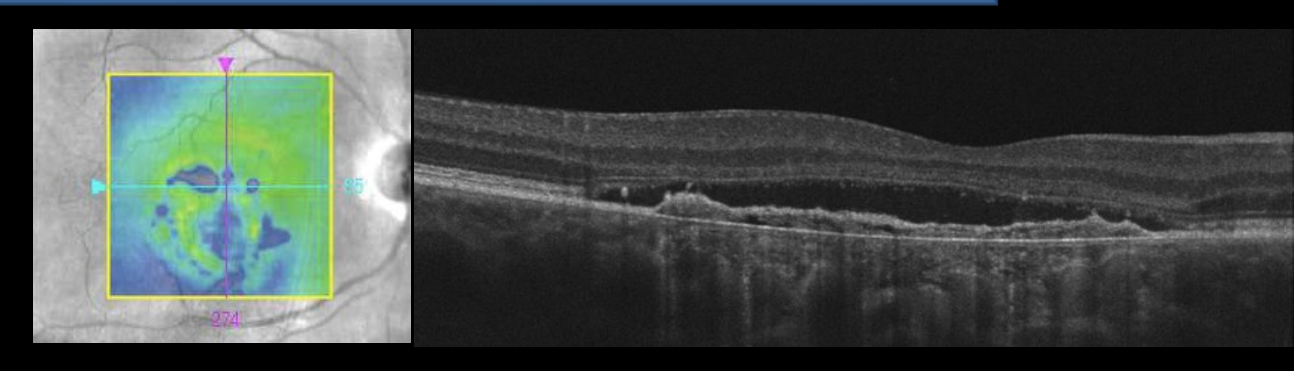




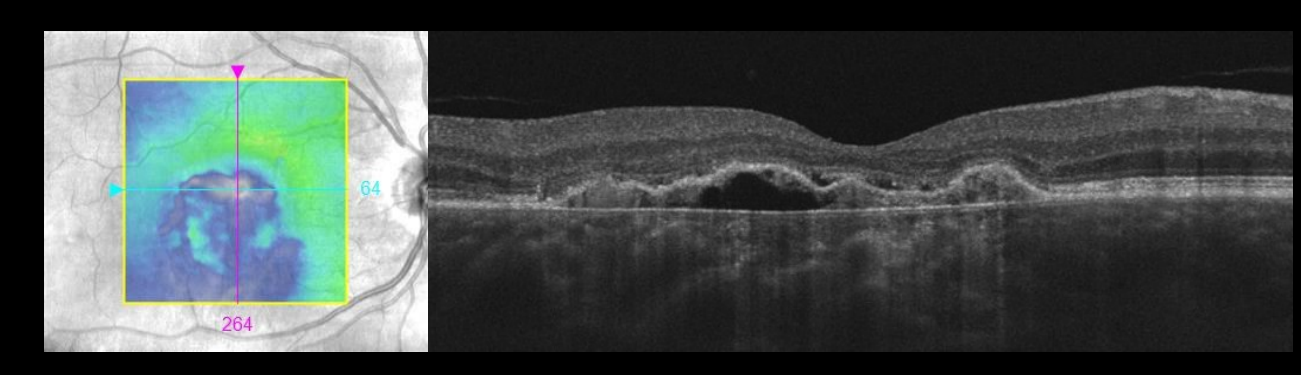
Vasculopathie polypoïdale idiopathique

03 févr 2016 2/10

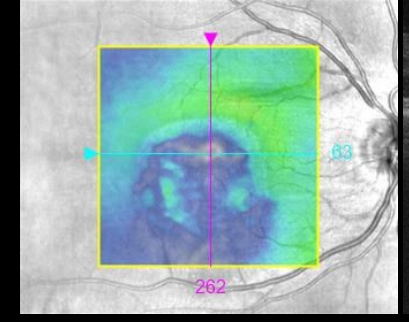


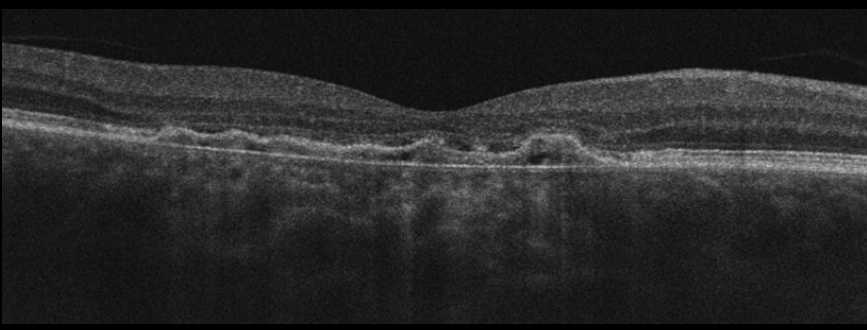


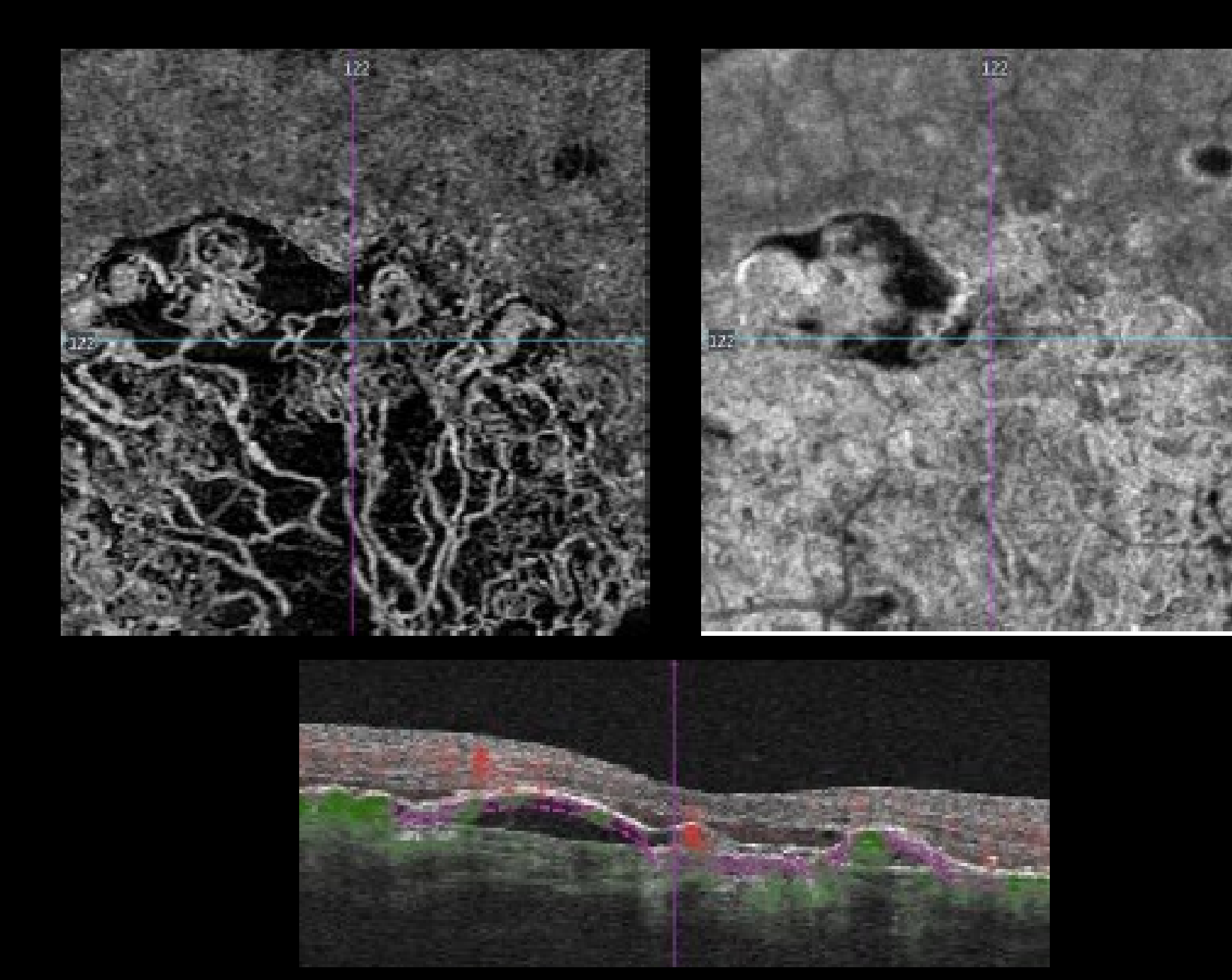
6 avril 2016 3/10



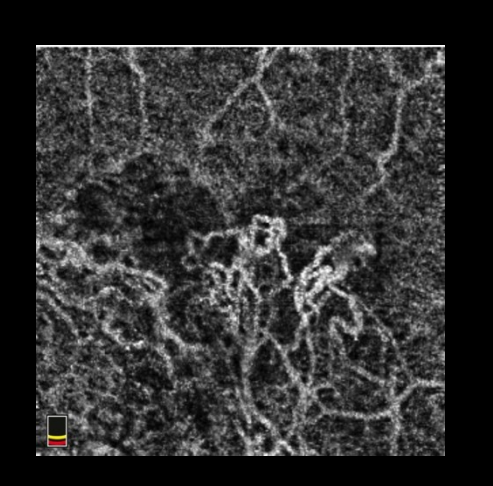
25 mai 2016 3/10

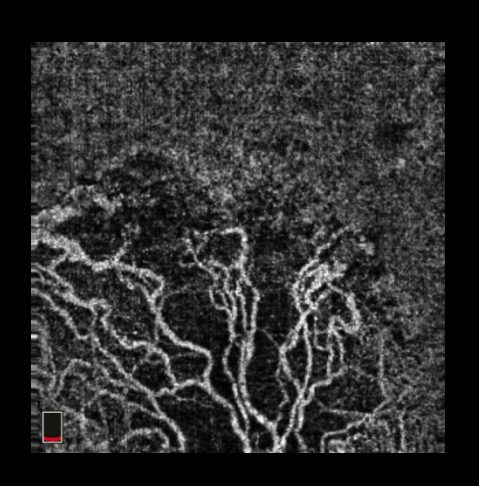


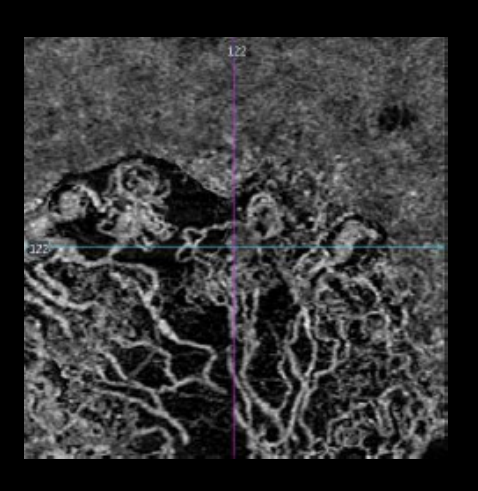


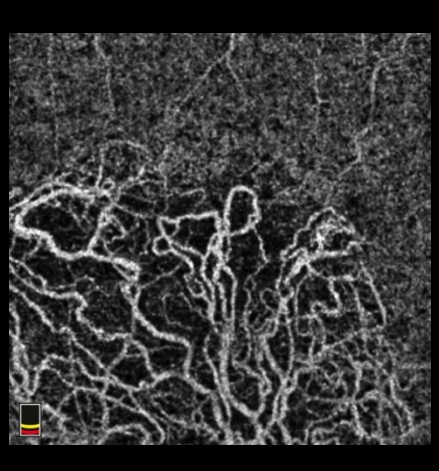


Vasculopathie polypoïdale idiopathique suivi en OCTA







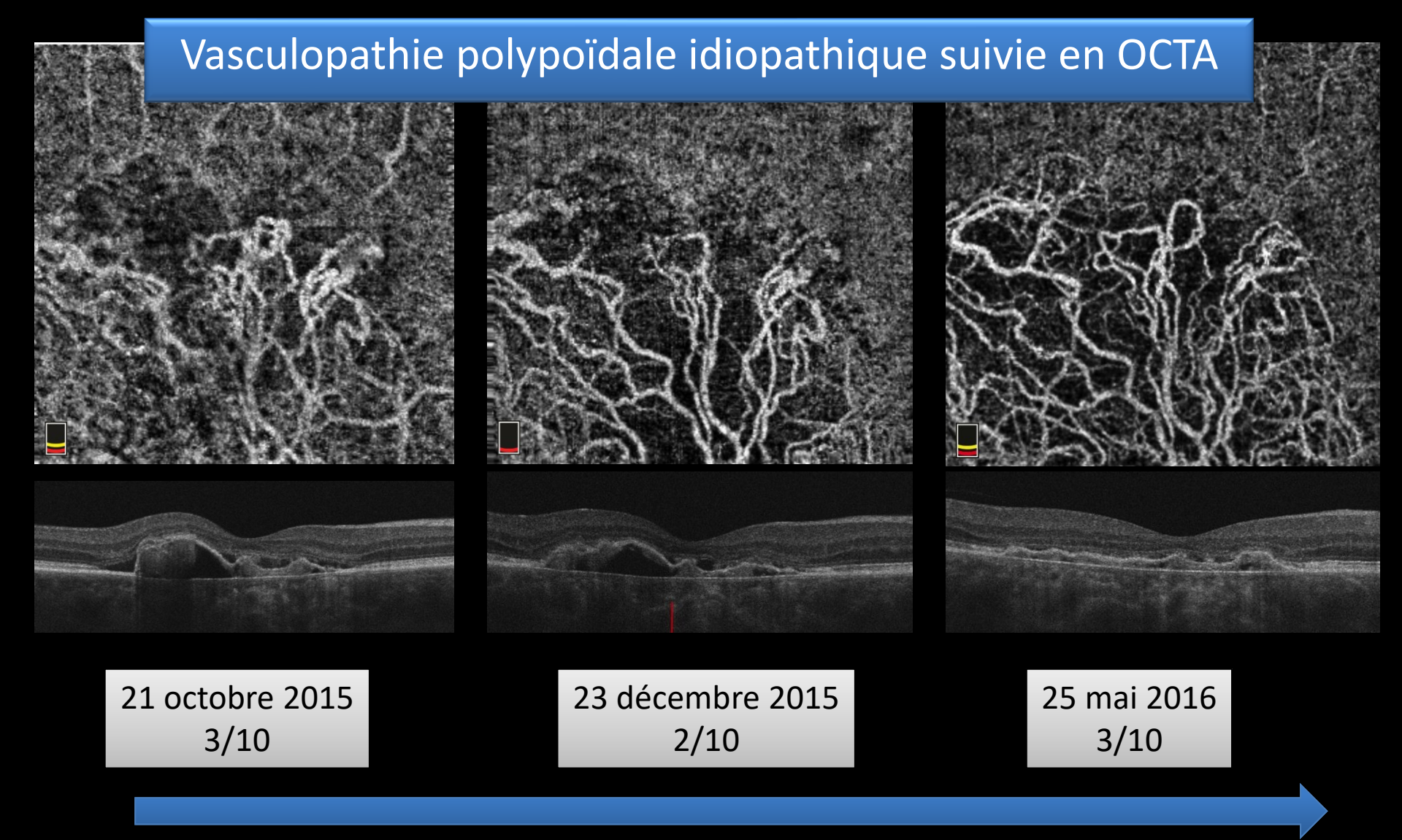


21 octobre 2015 3/10

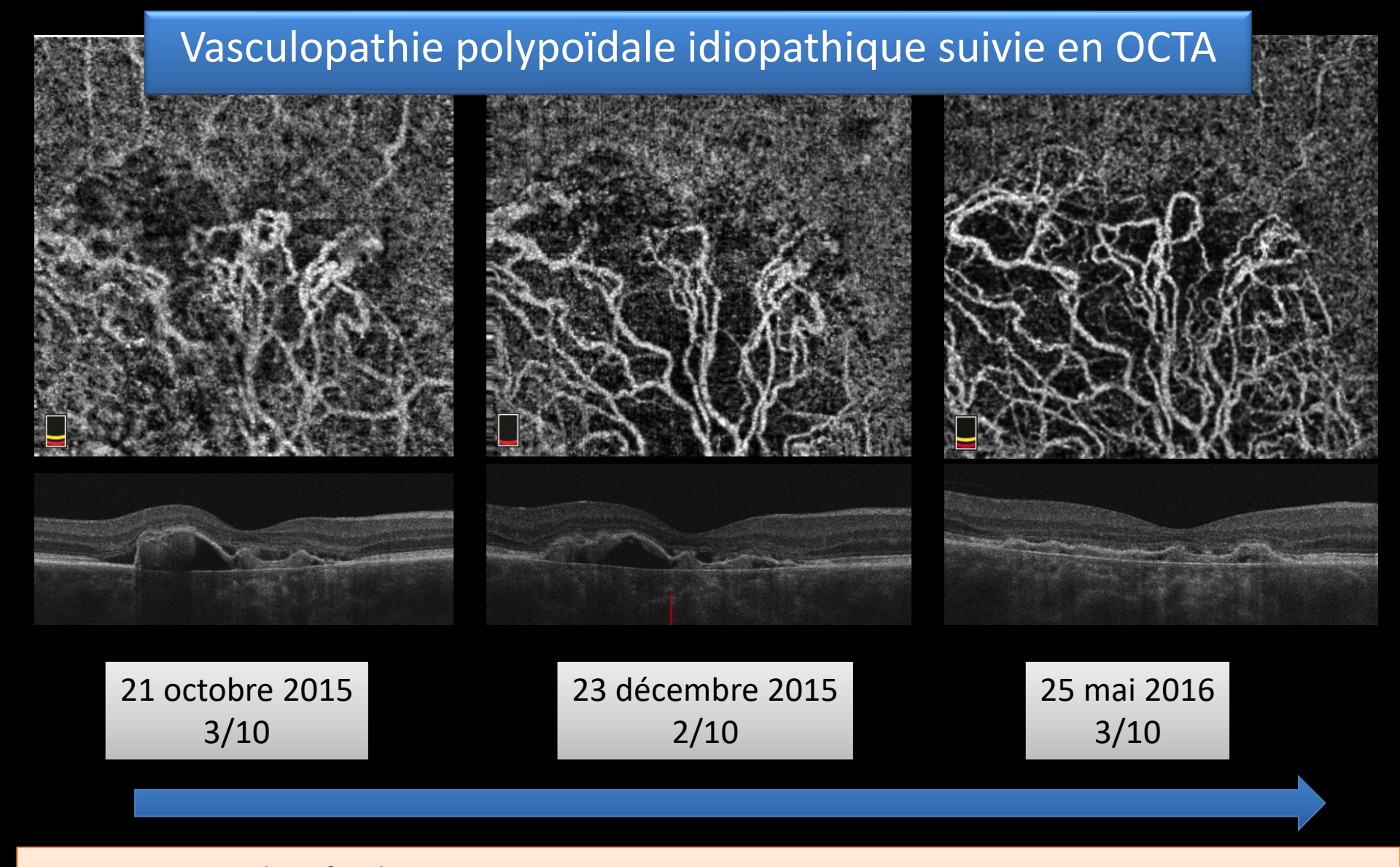
23 décembre 2015 2/10

03 févr 2016 2/10

25 mai 2016 3/10

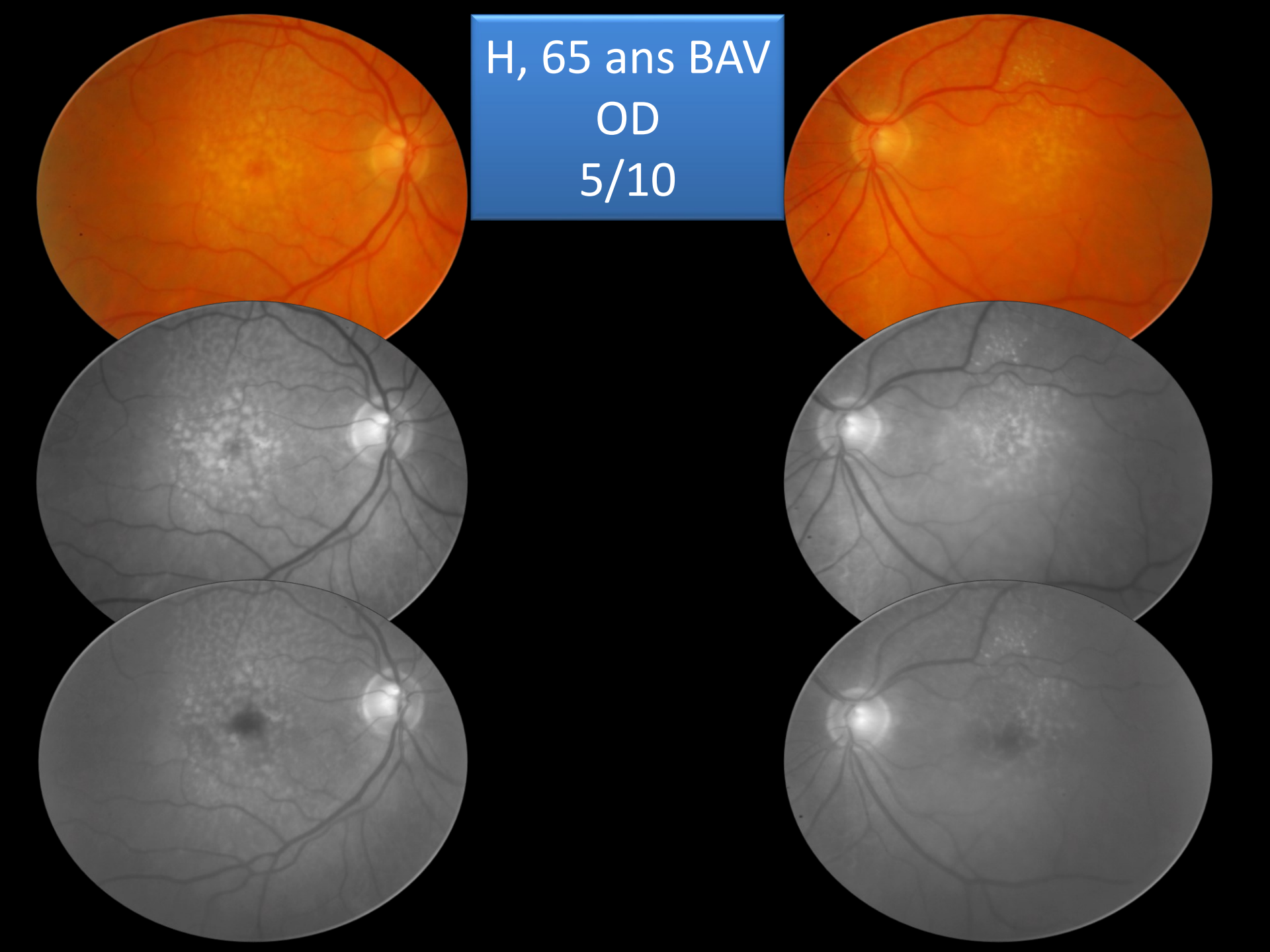


Signes exsudatifs diminuent Visualisation du lacis néovasculaire augmente Visualization d'un réseau néovasculaire plus ramifié

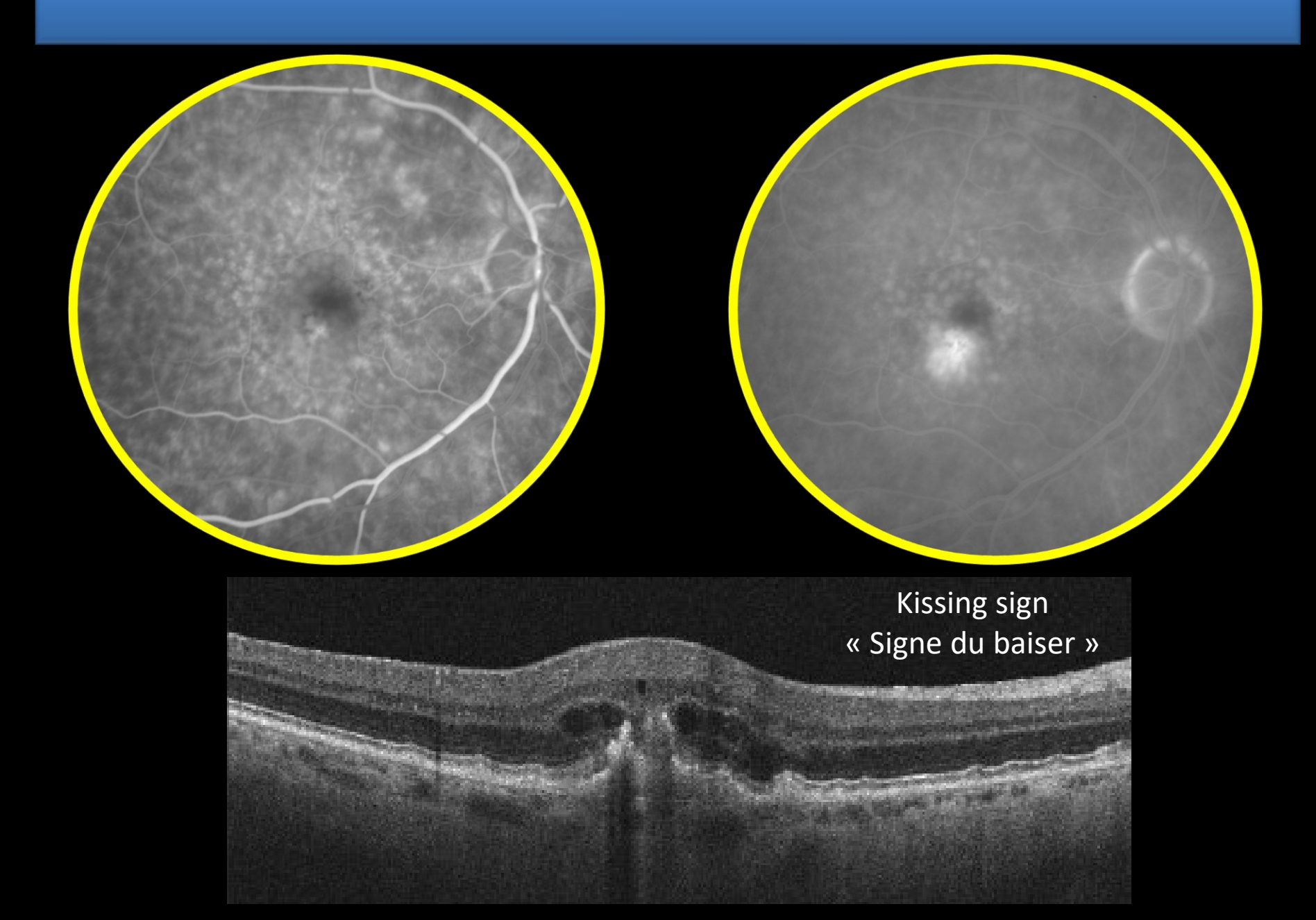


Signes exsudatifs diminuent
Visualisation du lacis néovasculaire augmente → IMAGE de FLUX
Visualization d'un réseau néovasculaire plus ramifié → IMAGE de FLUX

Cas Clinique N°2



H 65 ans, BAV OD 5/10 lettres



Signe du baiser en OCT caractéristique des anastomoses rétinochoroïdiennes



30 avril 2015 5/10

3 ANTI-VEGF

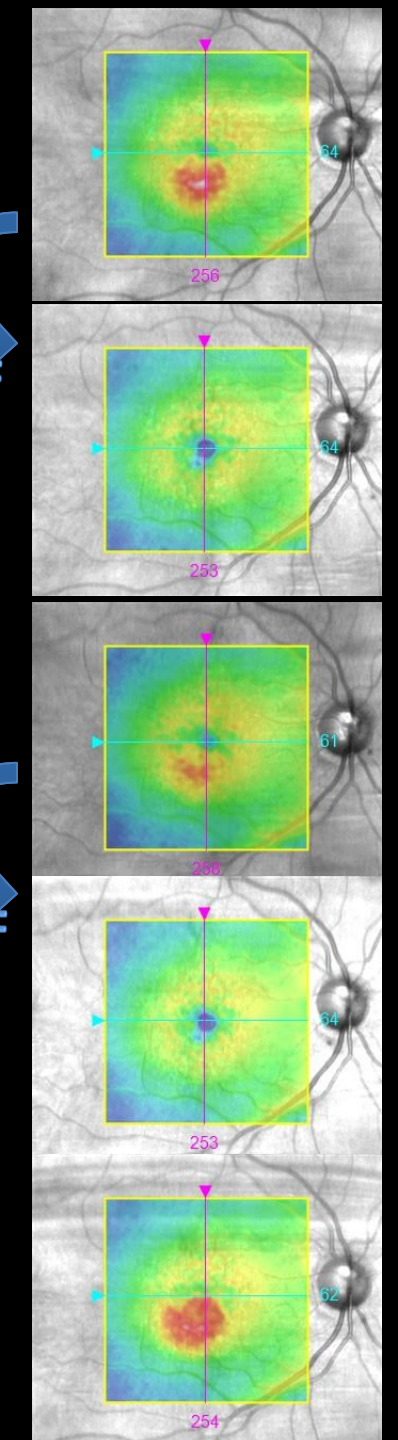
06 août 2015 7/10

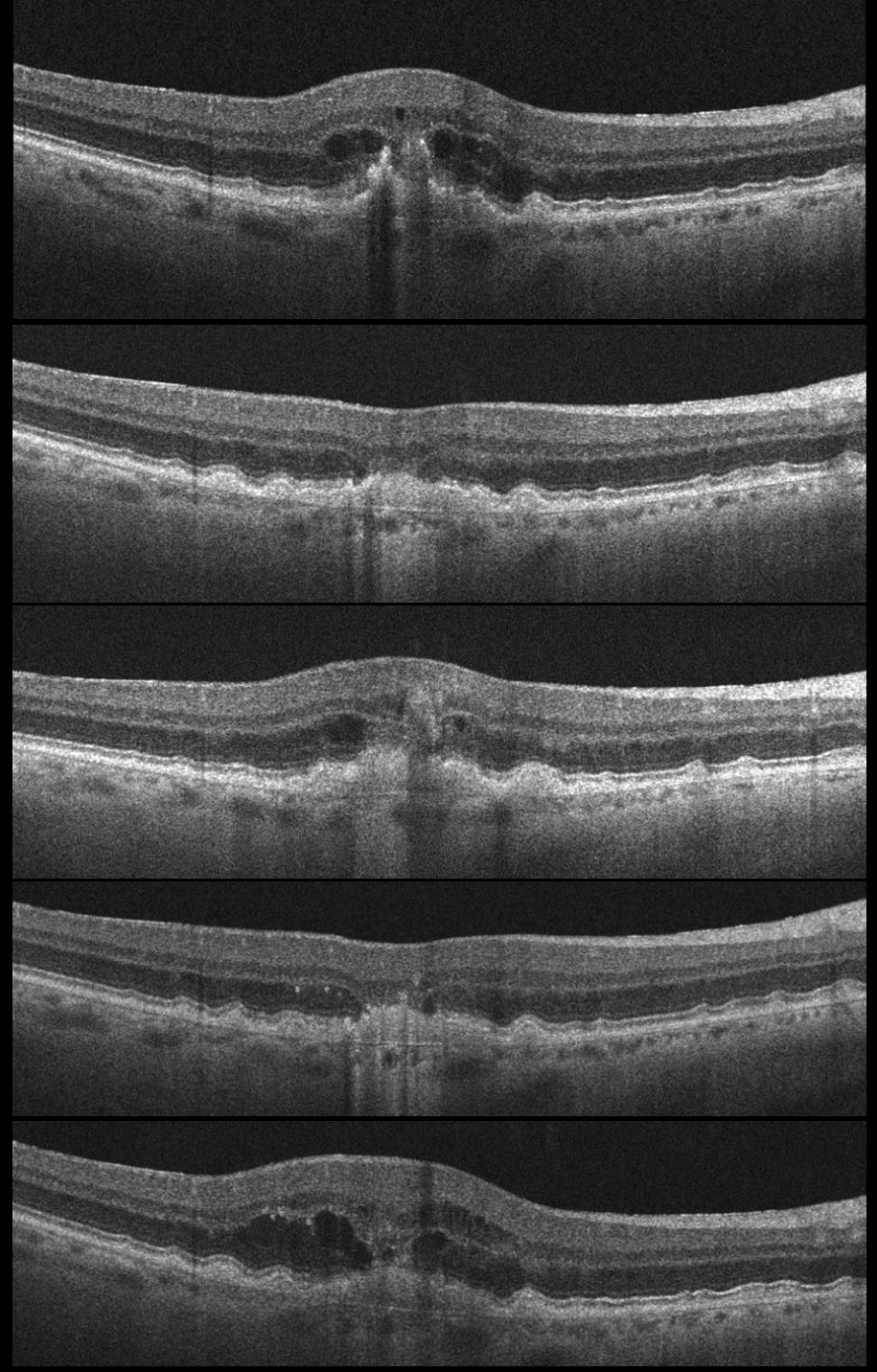
03 sept 2015 6/10

1 ANTI-VEGF

07 oct 2015 6/10

05 nov 2015 4/10





05 nov 2015 4/10

1 ANTI-VEGF

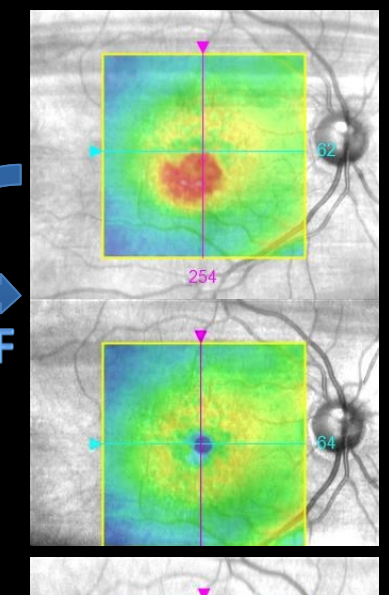
02 déc 2015 6/10

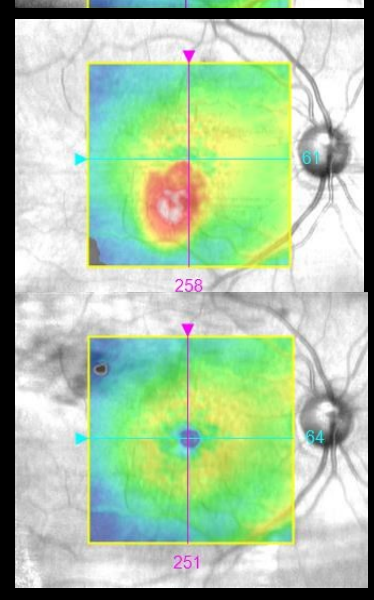
06 janv 2016 6/10

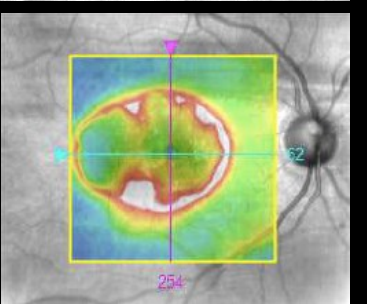
1 ANTI-VEGF

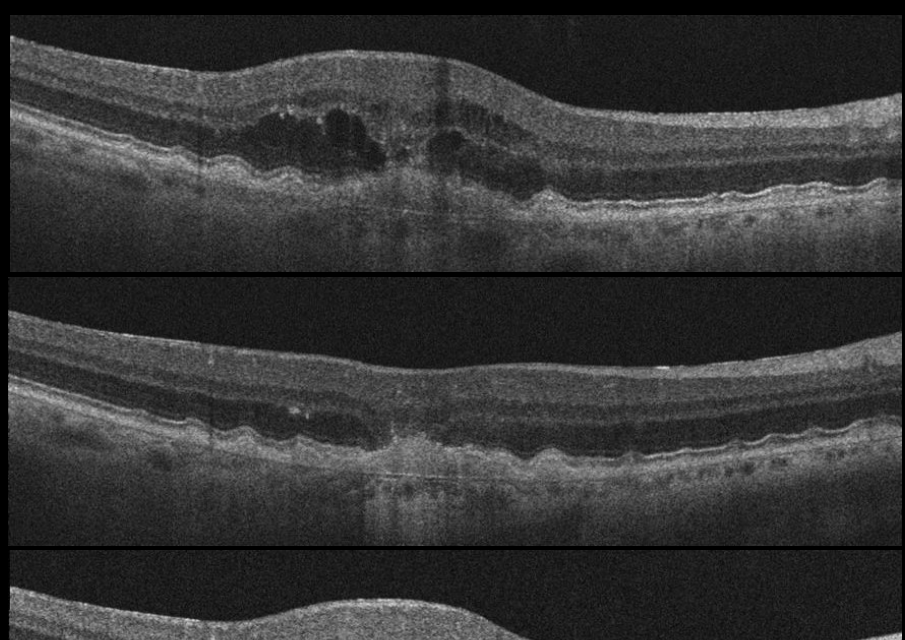
03 fév 2016 6/10

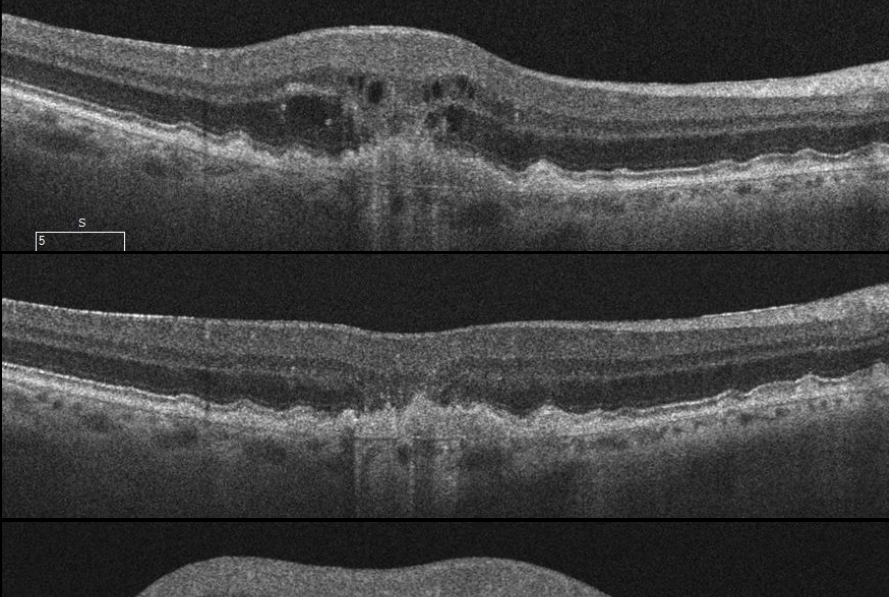
02 mars 2016 3/10

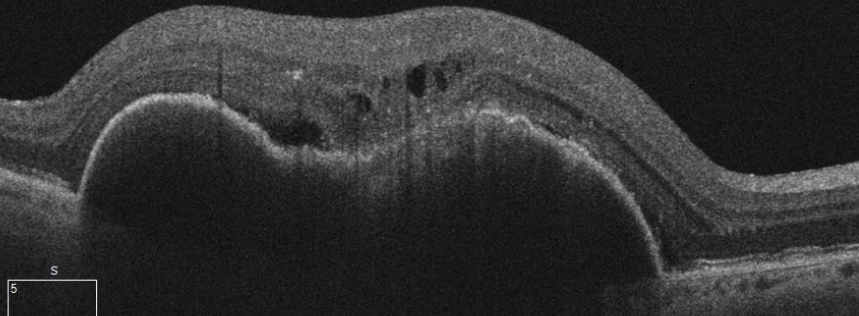




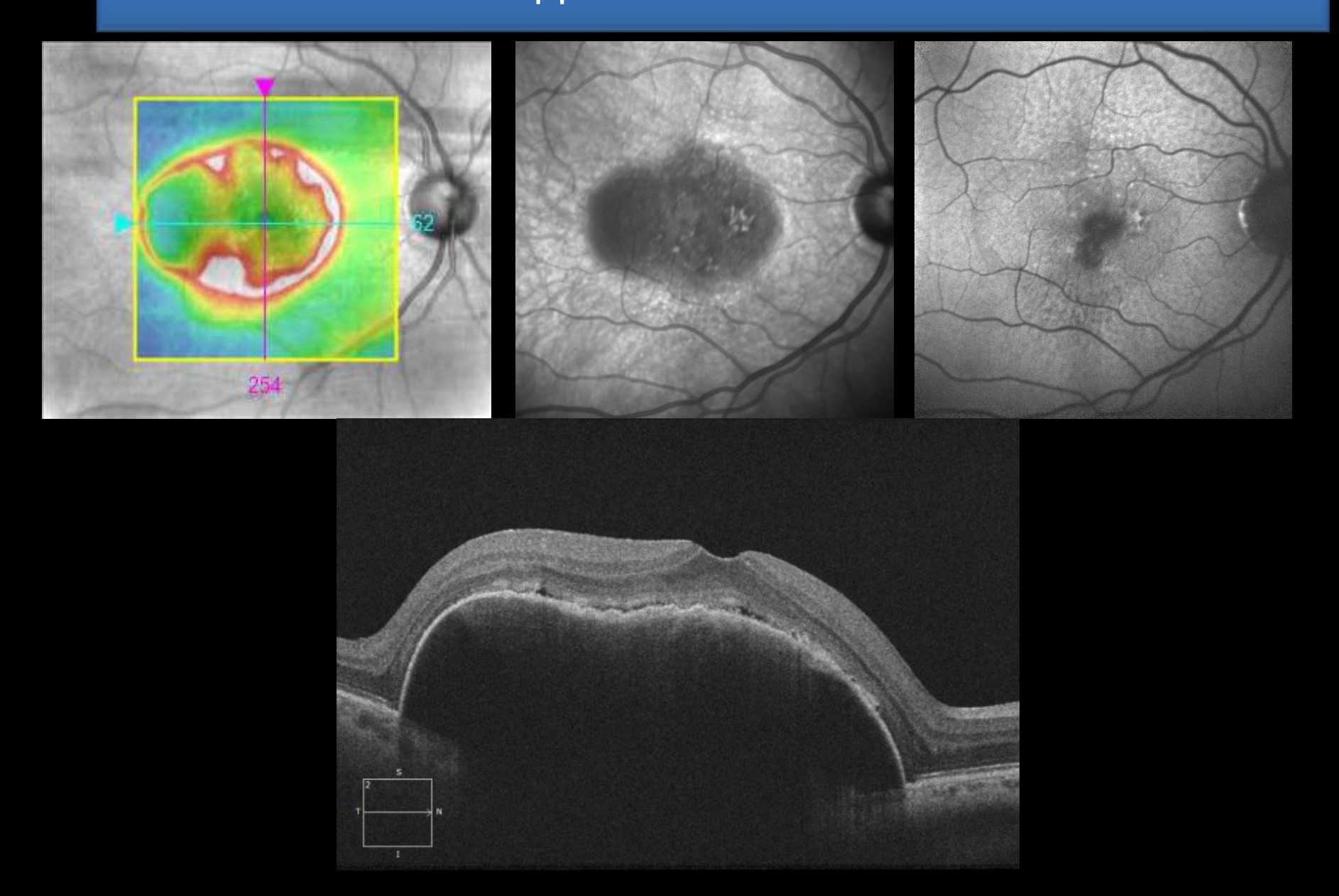




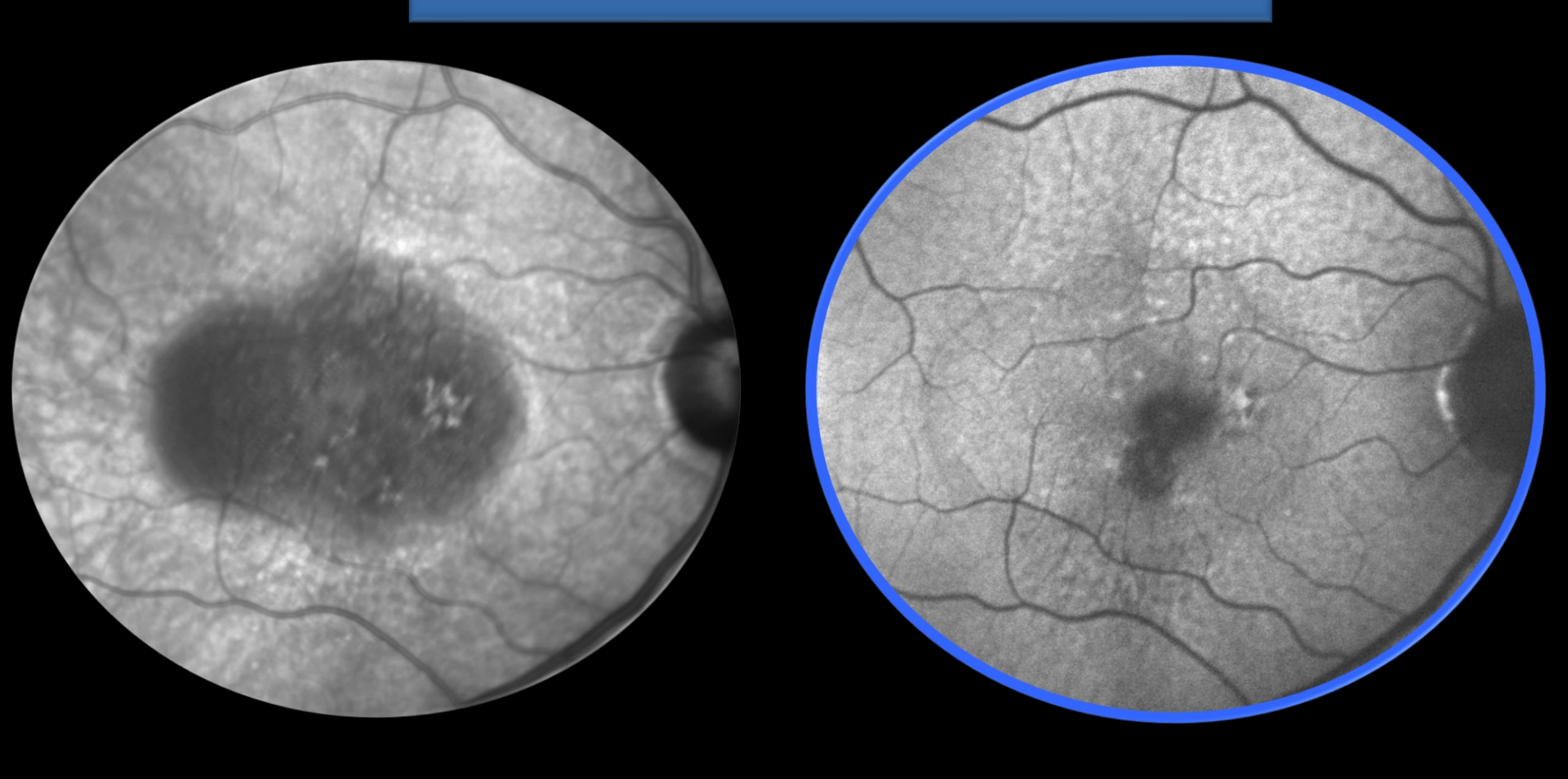




Homme 65 ans, BAV OD 61 lettres Volumineux DEP OD apparaît au cours du traitement d'une ACR



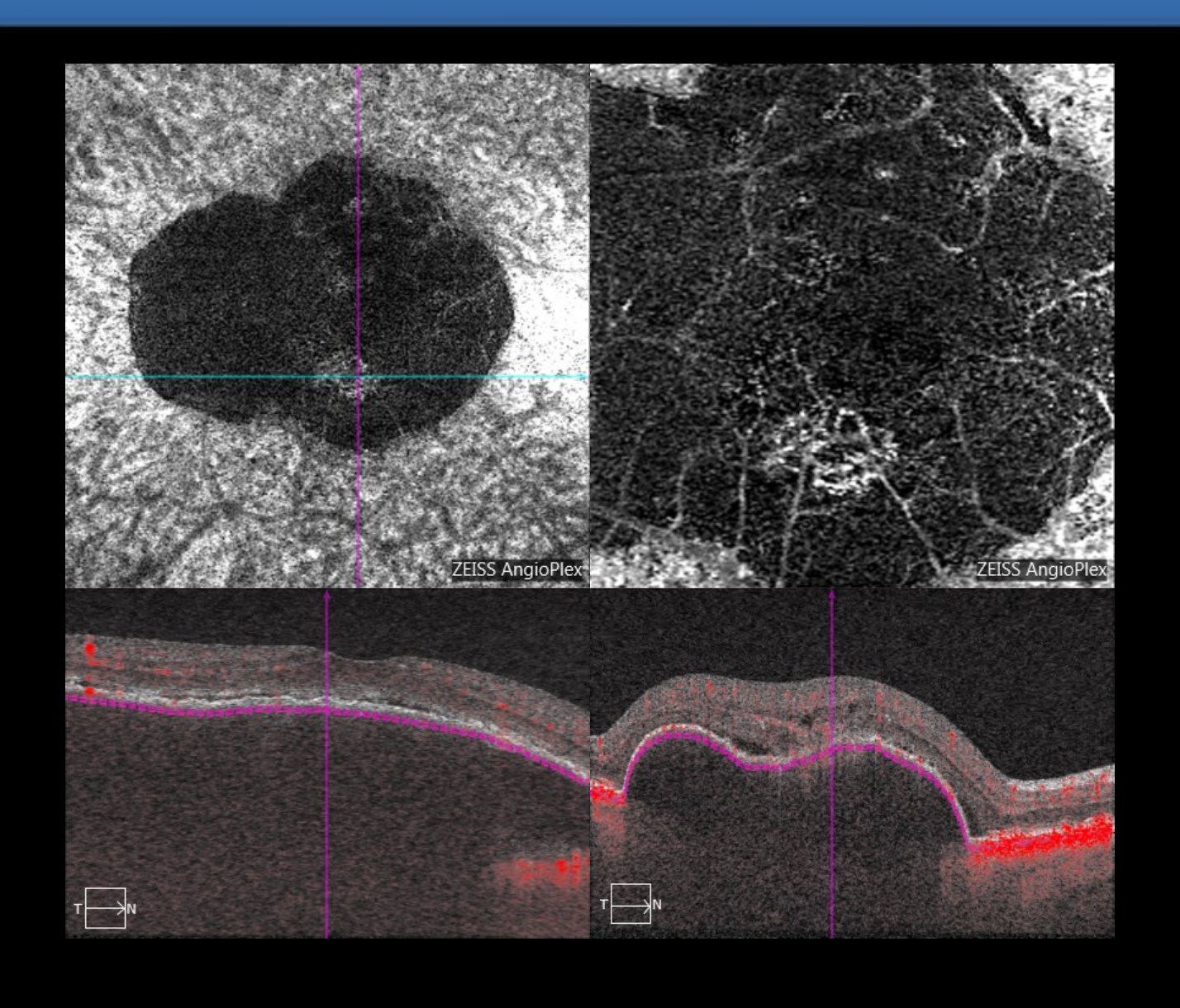
Homme 65 ans, BAV OD 61 lettres Volumineux DEP OD apparaît au cours du traitement d'une ACR



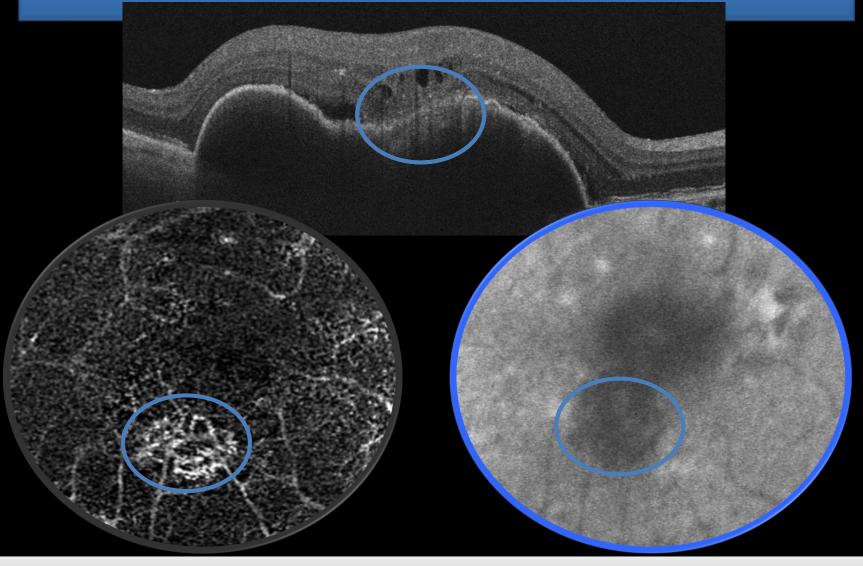
Homme 65 ans, BAV OD 61 lettres Volumineux DEP OD apparaît au cours du traitement d'une ACR



DEP néovascularisé: OCT angiographie



DEP néovascularisé et OCT angiographie



La zone de visualization du néovaisseau correspond à la zone d'atrophie de l'EPR

02 mars 2016 3/10



1 ANTI-VEGF

06 avril 2016 4/10



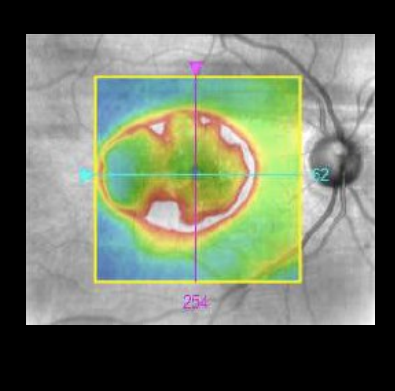
1 ANTI-VEGF

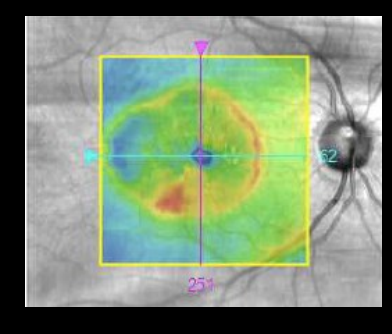
28 avril 2016 3/10

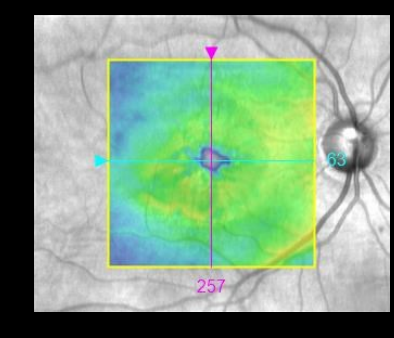
30 mai 2016

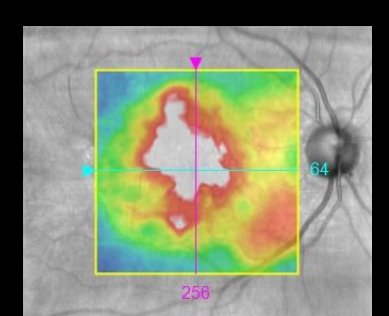
3/10

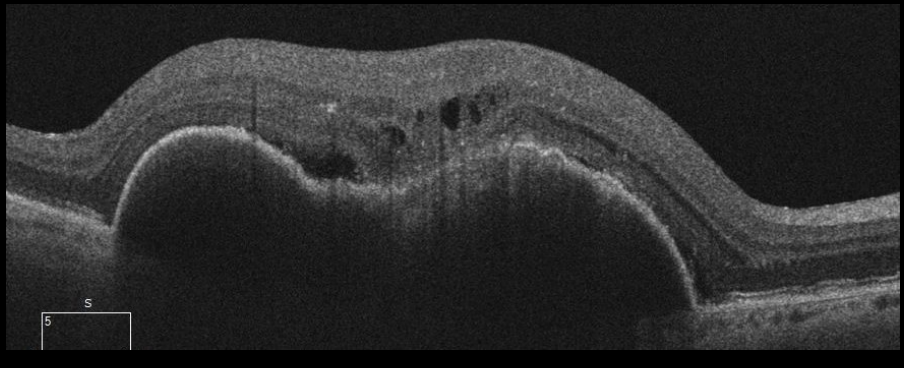


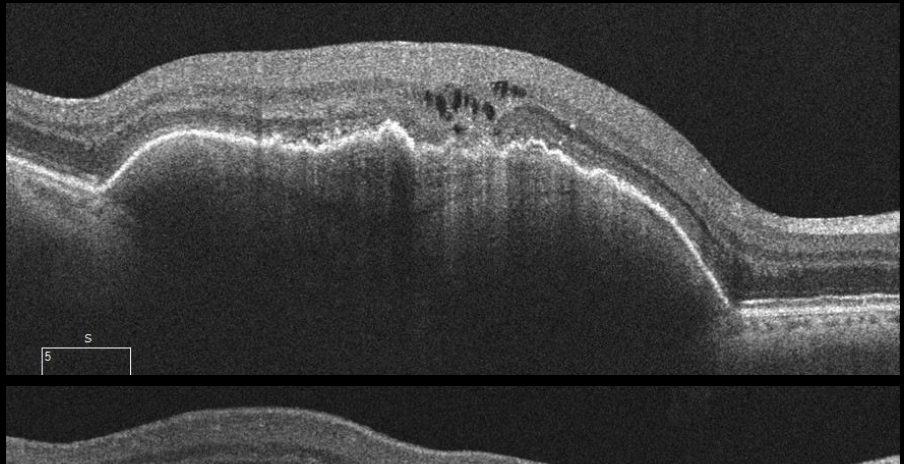


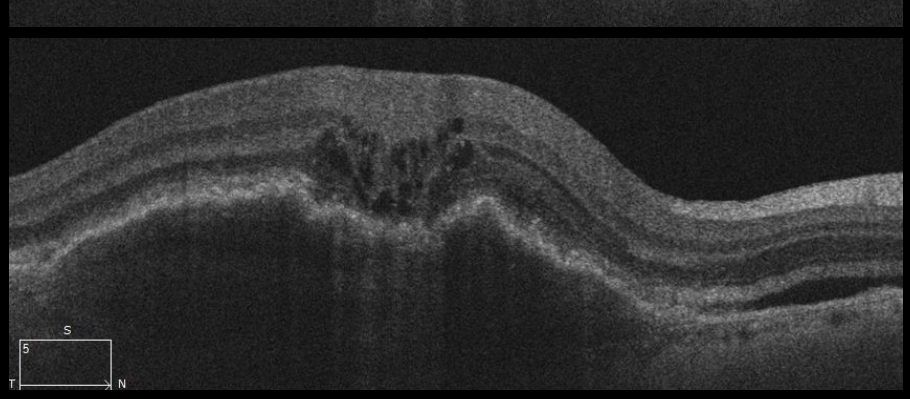




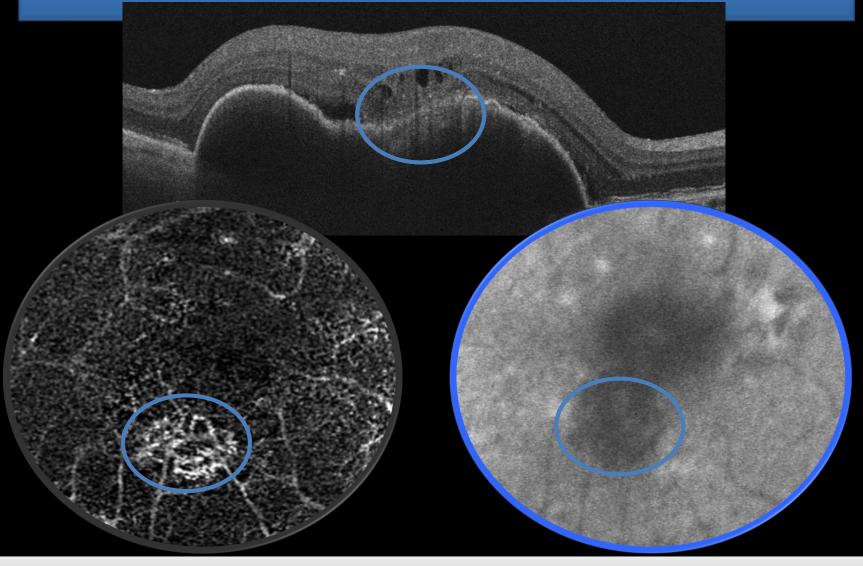








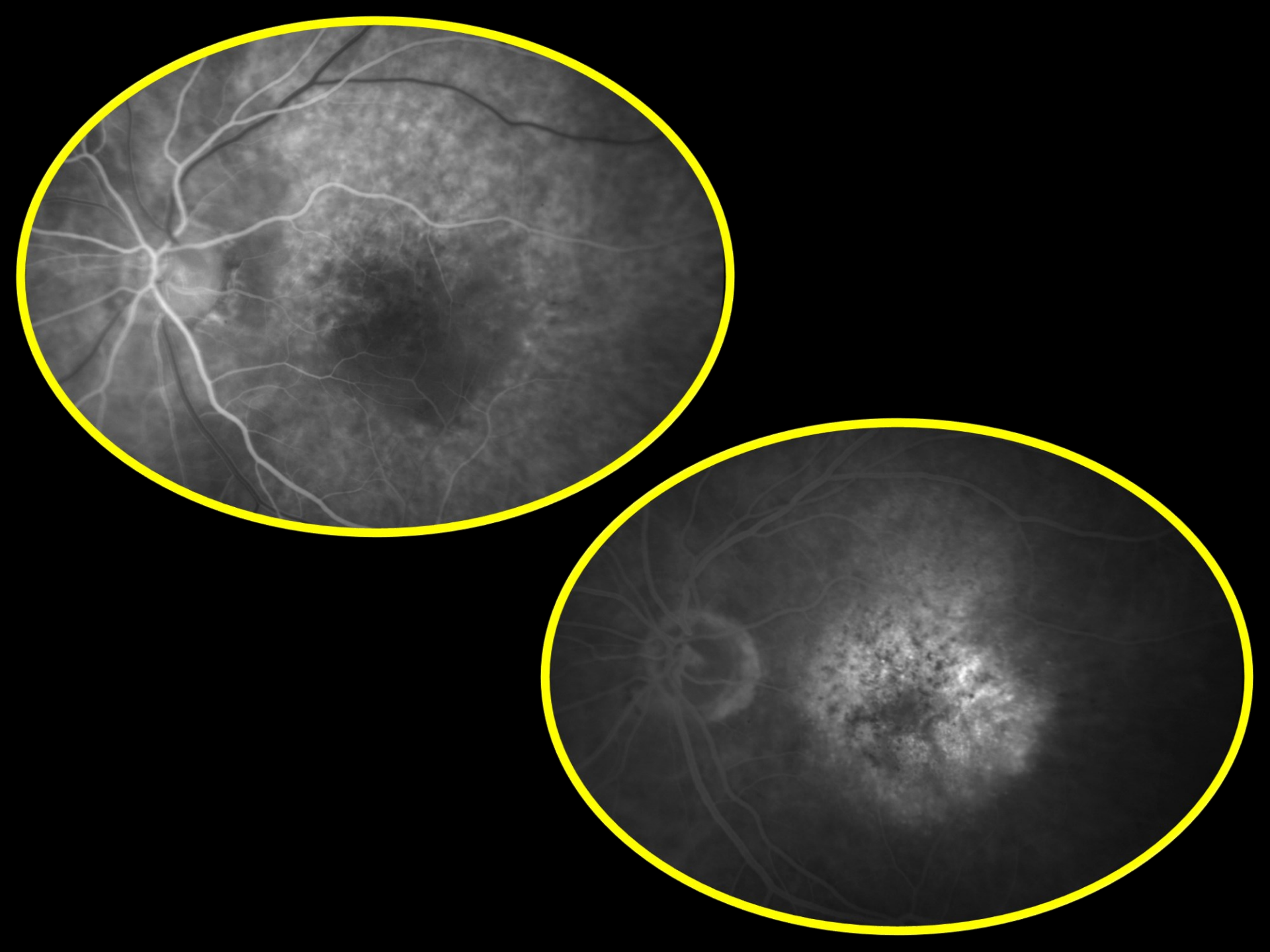
DEP néovascularisé et OCT angiographie



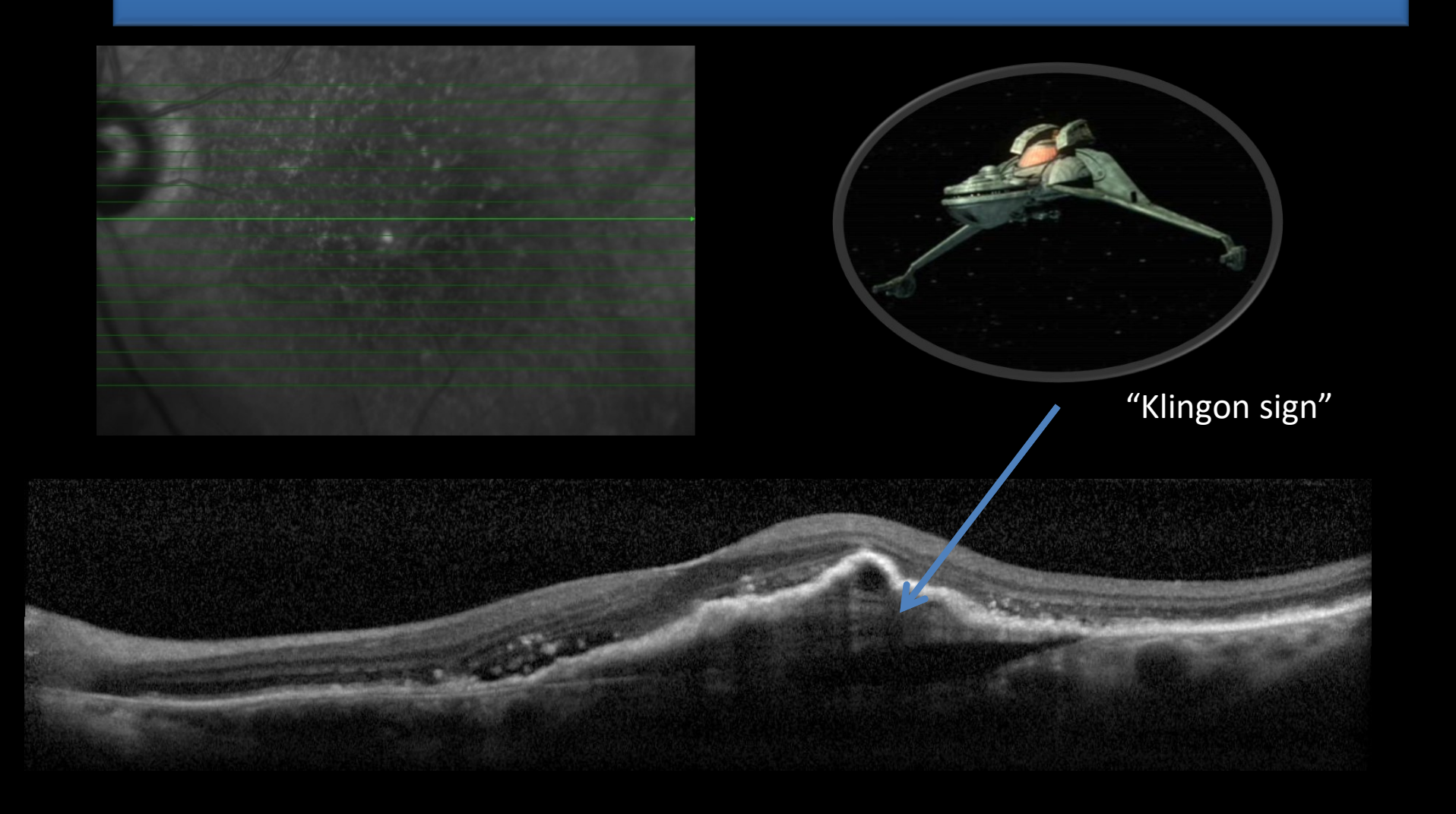
La zone de visualization du néovaisseau correspond à la zone d'atrophie de l'EPR

Cas Clinique N°3

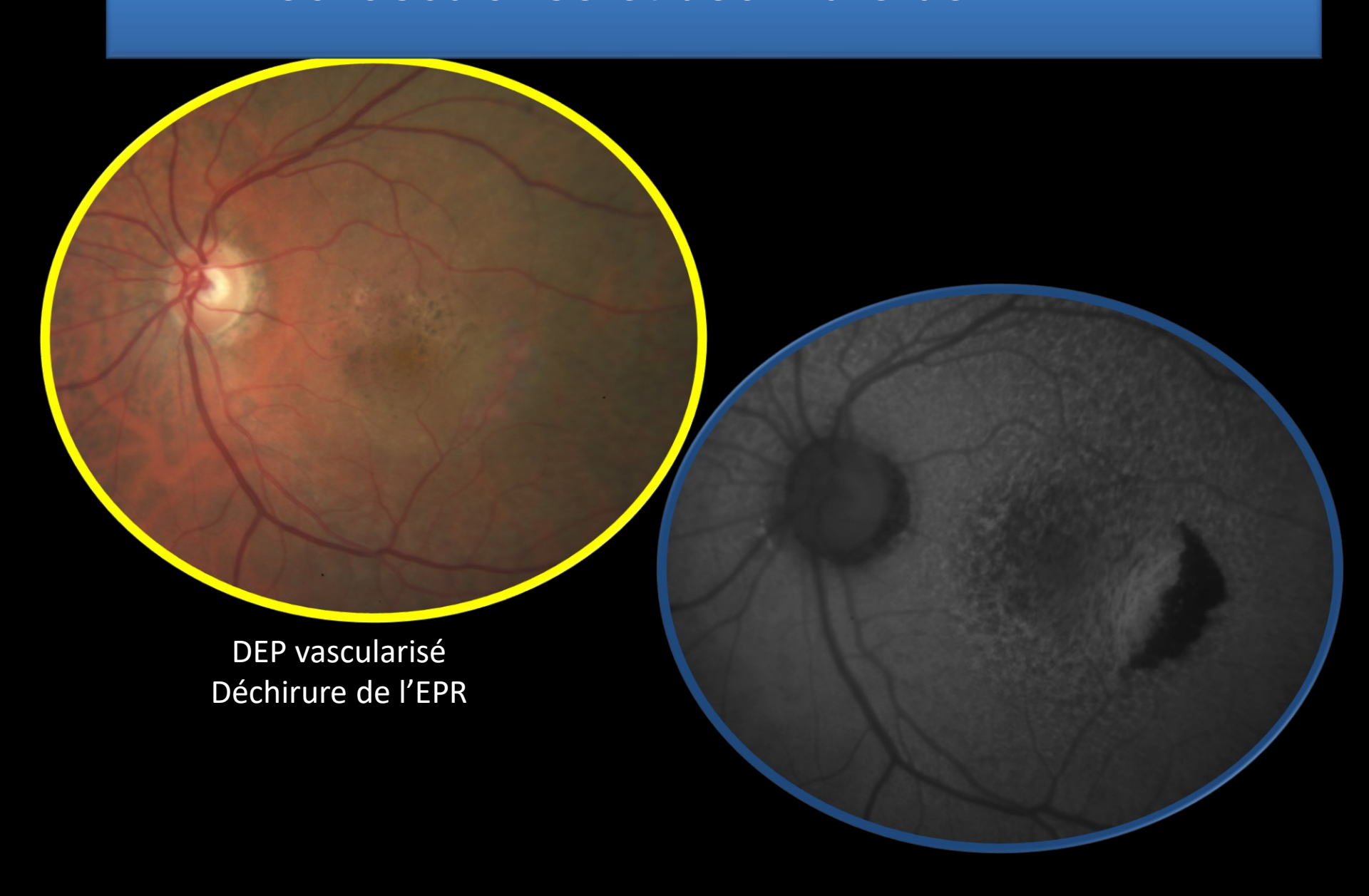




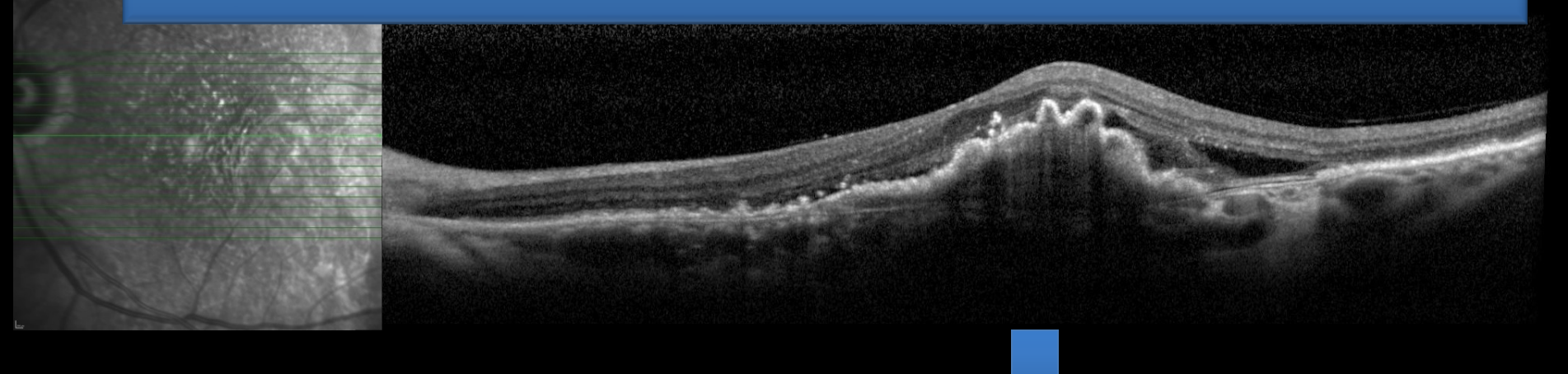
DEP néovascularisé



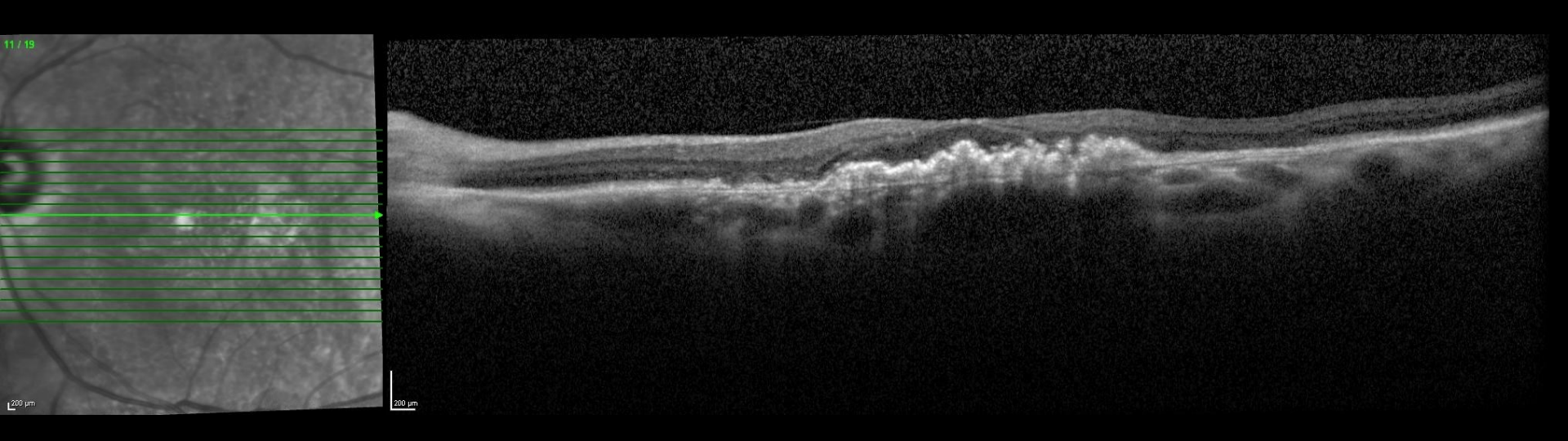
DEP néovascularisé et déchirure de l'EPR



DEP néovascularisé et déchirure de l'EPR

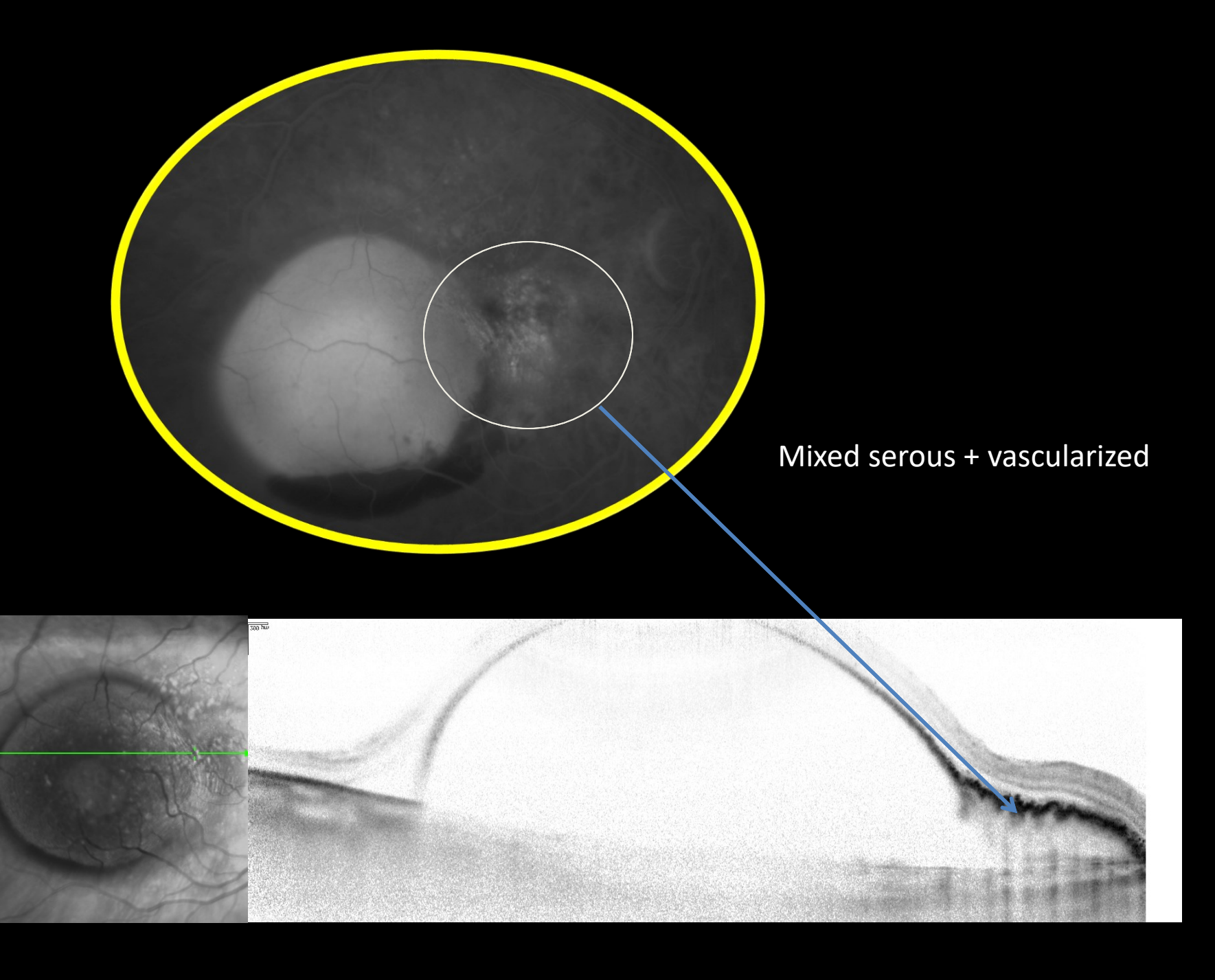


Continued anti-VEGF



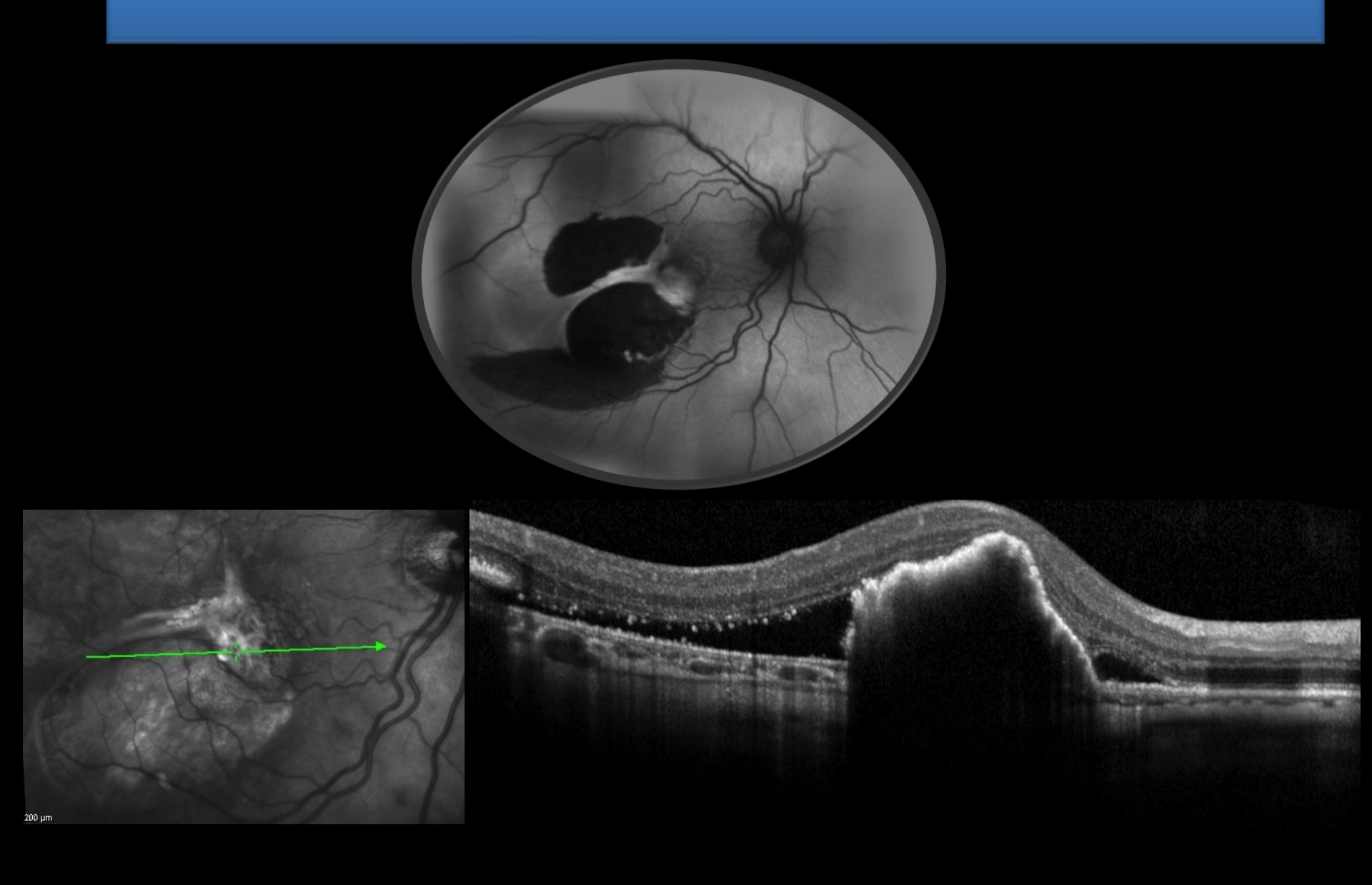
Cas Clinique N°4







DEP néovascularisé et déchirure de l'EPR



DEP néovascularisé: risque de déchirure de l'EPR

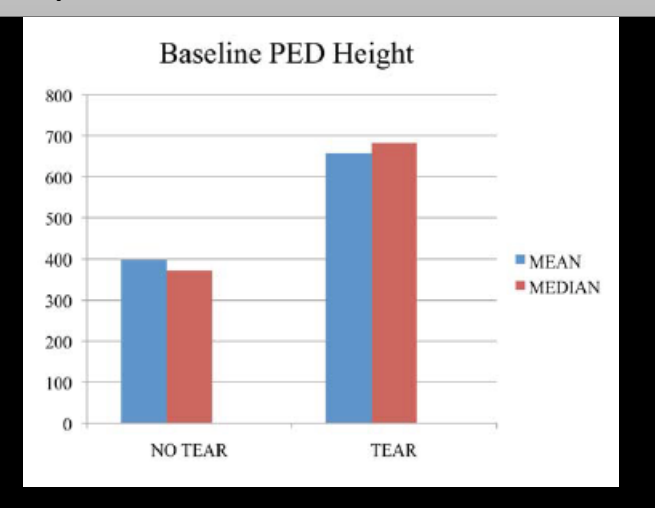
RETINAL PIGMENT EPITHELIAL TEARS IN THE ERA OF INTRAVITREAL PHARMACOTHERAPY: RISK FACTORS, PATHOGENESIS, PROGNOSIS AND TREATMENT (AN AMERICAN OPHTHALMOLOGICAL SOCIETY THESIS)

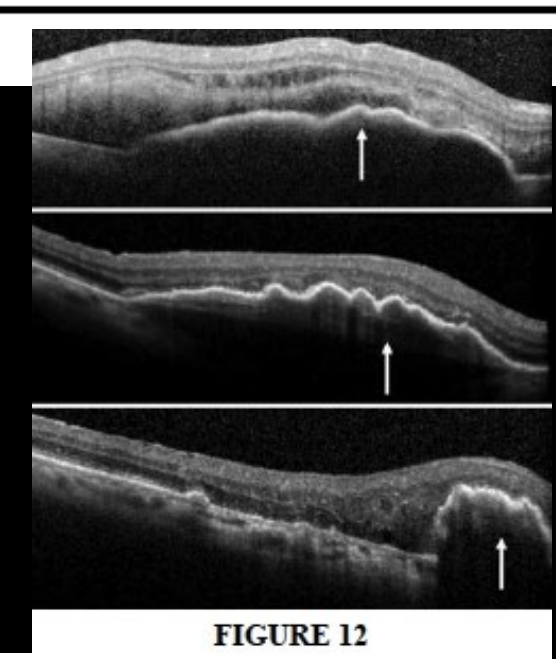
By David Sarraf MD, Anthony Joseph MD, and Ehsan Rahimy MD

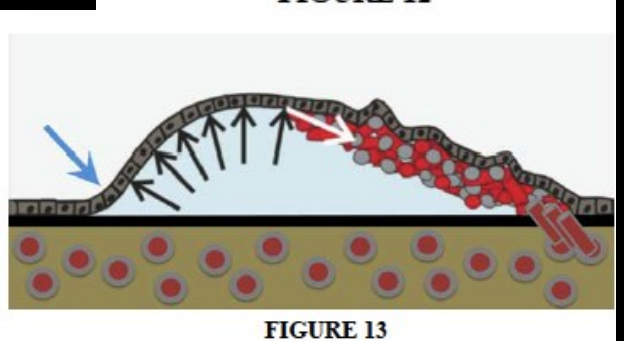
Trans Am Ophthalmol Soc. 2014 Jul;112:142-59

15 à 20% des DEPs vascularisés → déchirure de l'EPR FdR DEP vascularisé et rétraction EPR

Hauteur > 600 microns Diamètre > 5000 microns Ondulations de l'EPR en OCT Risque bilatéralisation







DEP néovascularisé: risque de déchirure de l'EPR

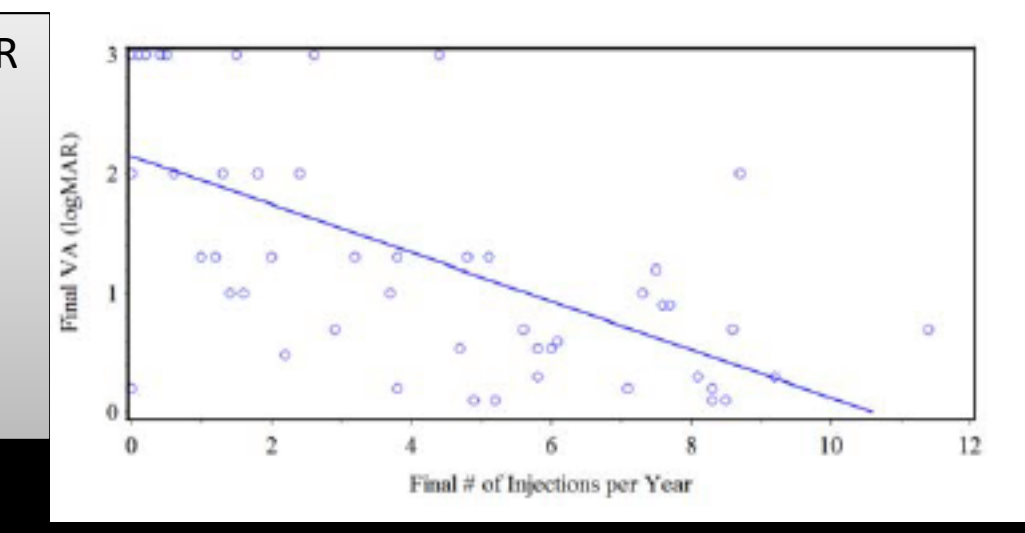
RETINAL PIGMENT EPITHELIAL TEARS IN THE ERA OF INTRAVITREAL PHARMACOTHERAPY: RISK FACTORS, PATHOGENESIS, PROGNOSIS AND TREATMENT (AN AMERICAN OPHTHALMOLOGICAL SOCIETY THESIS)

By David Sarraf MD, Anthony Joseph MD, and Ehsan Rahimy MD

Trans Am Ophthalmol Soc. 2014 Jul;112:142-59

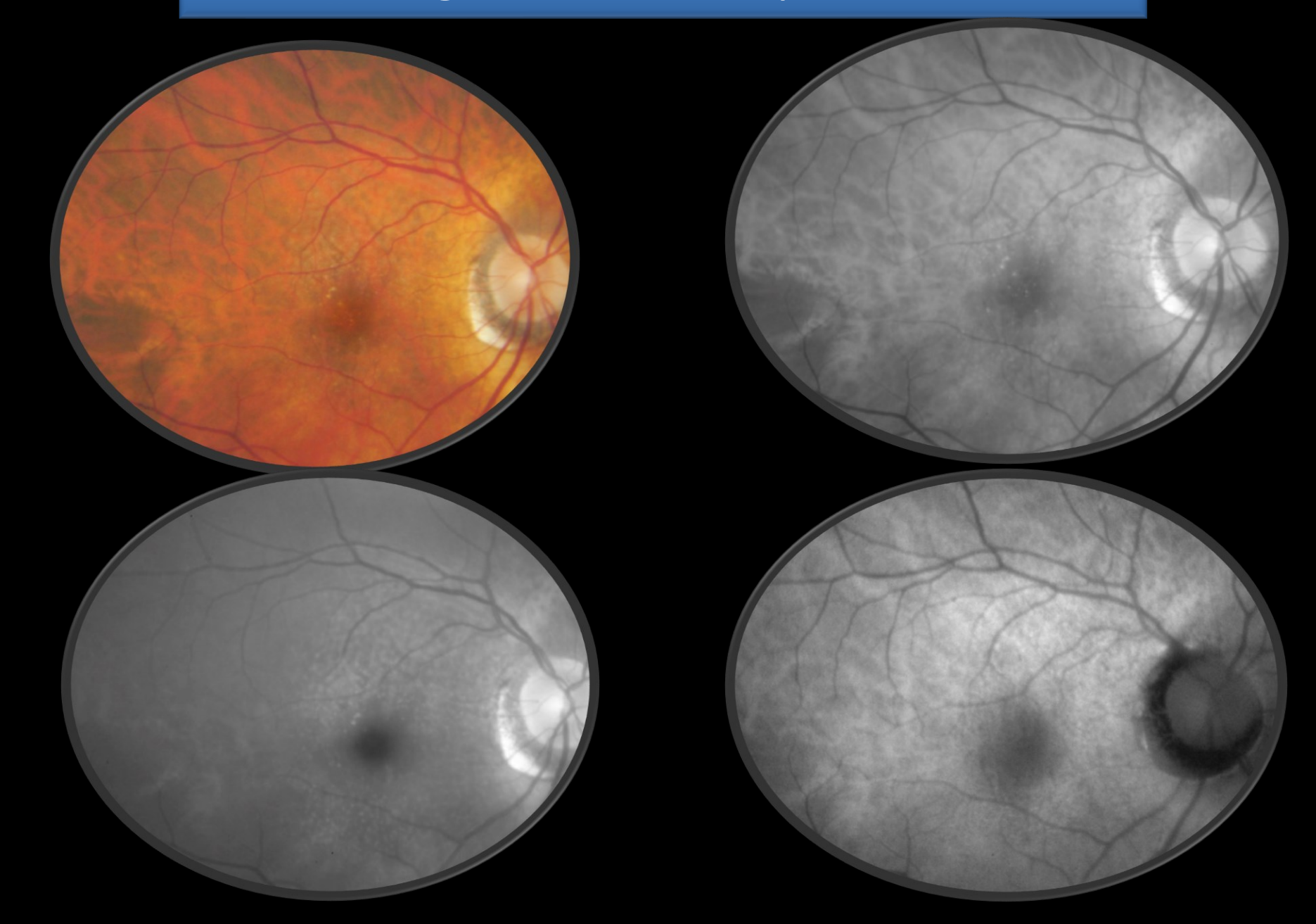
Conclusions: Fifteen to 20% of vascularized pigment epithelial detachments (PEDs) may develop RPE tears after anti-VEGF therapy due to progressive contraction of the type 1 choroidal neovascular membrane in a PED at risk. Continued monitoring of RPE tears for exudative changes warranting anti-VEGF therapy may stabilize VA, improve anatomical outcomes, reduce fibrosis, and decrease the risk of developing a large blinding end-stage exudative disciform scar.

Etude sur 56 yeux avec déchirure de l'EPR
Suivi 8 ans
Continuer ttt anti-VEGF et suivi
Meilleur pronostic viseul
Moins de fibrose
Mons de cicatrice disciforme
Meilleur pronostic visuel

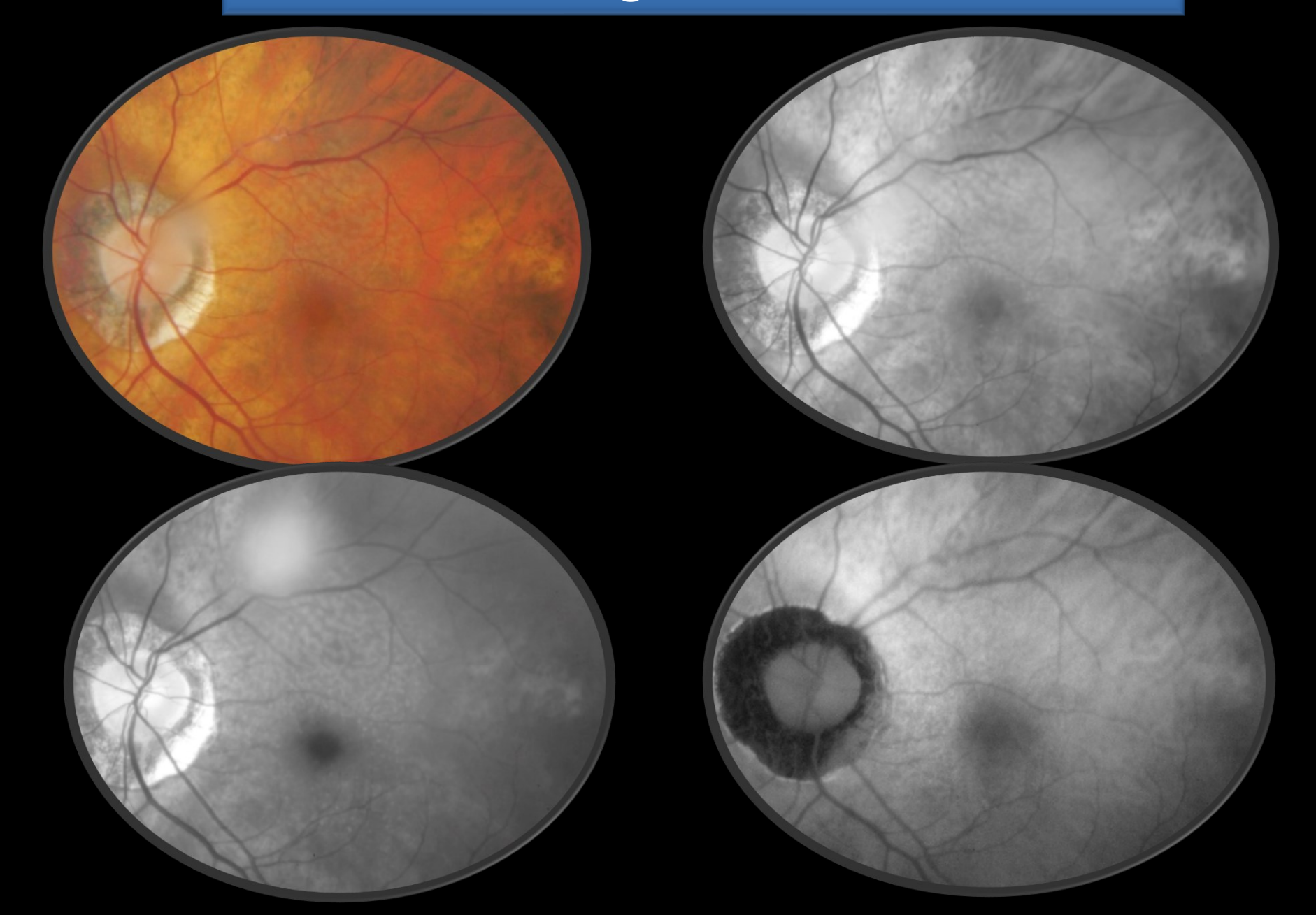


Cas Clinique N°5

H, 79 ans, gène lecture et pénombre ODG



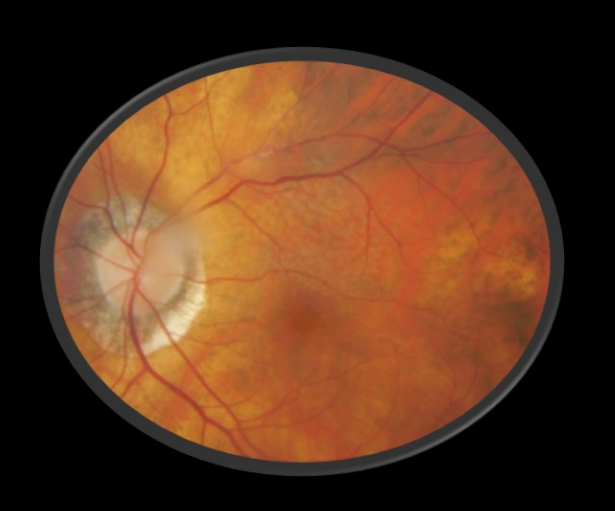
H, 79 ans, gène lecture ODG



H, 79 ans, gène lecture ODG

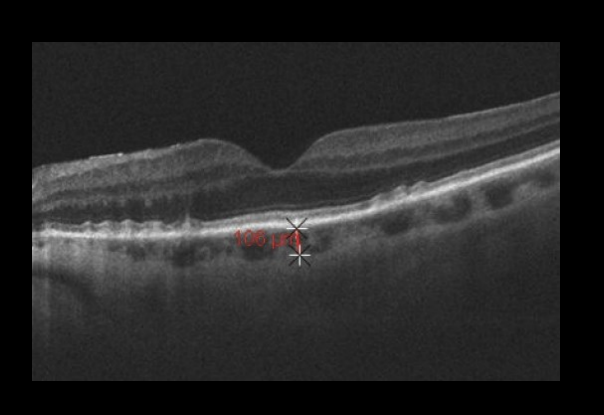


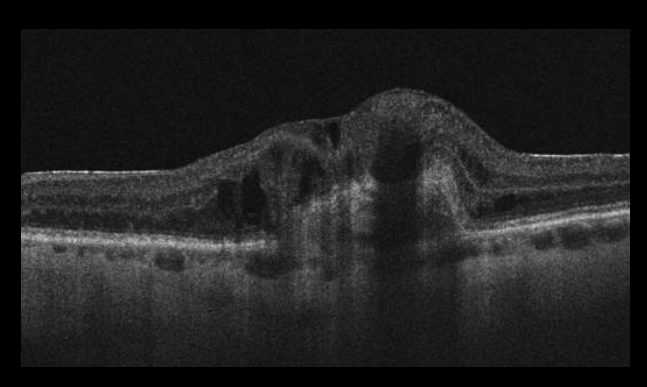
H, 79 ans, NVX OG

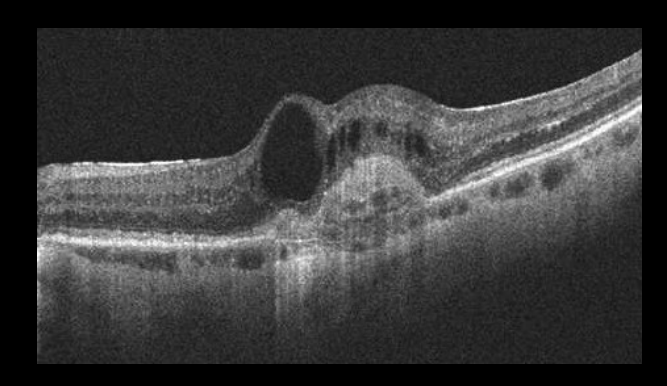




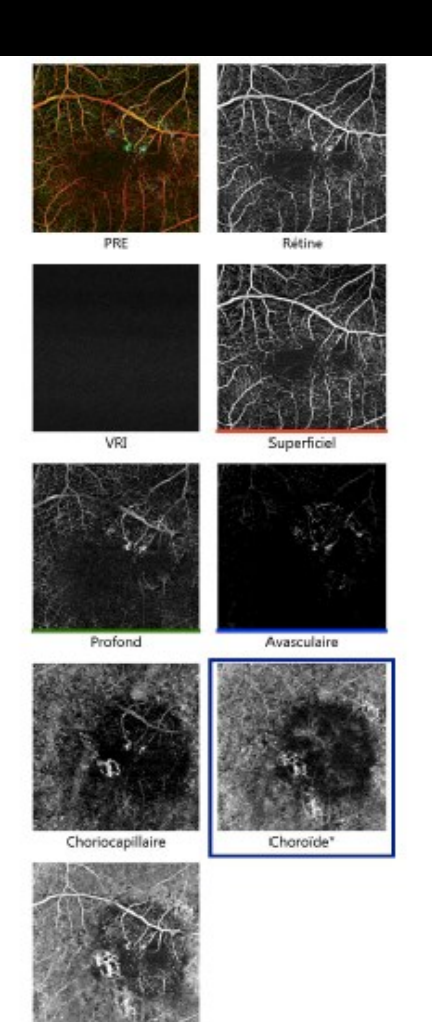


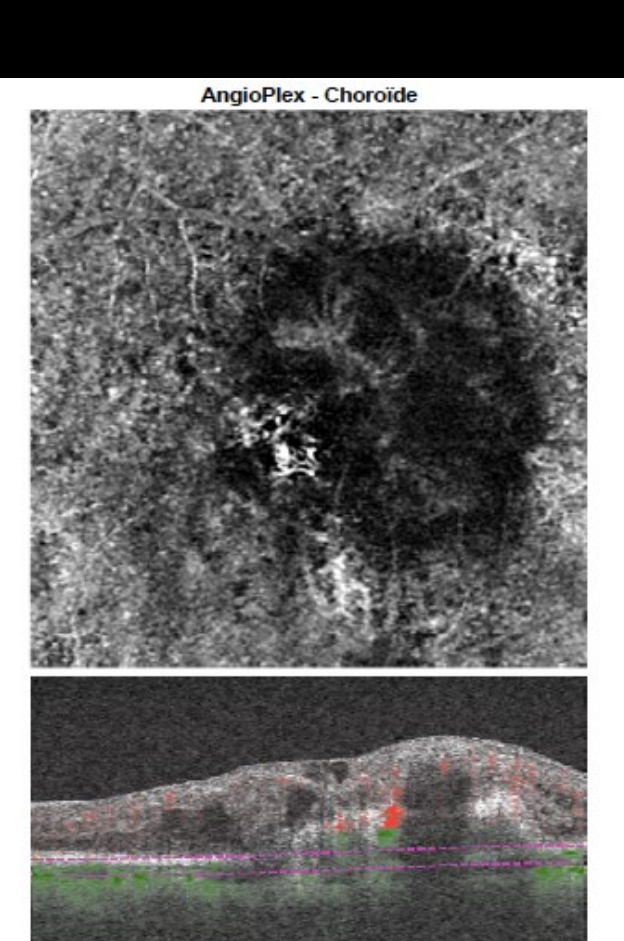


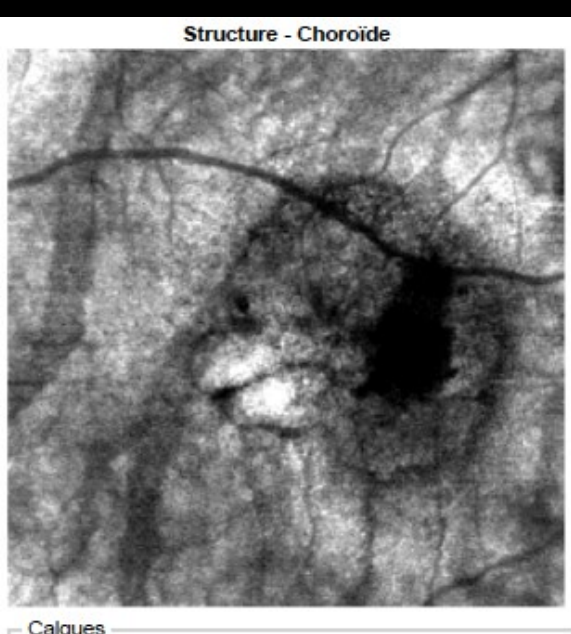




H, 79 ans, NVX OG Type 2







Calques
Structure - Aucun(e)
AngioPlex - Aucun(e)

H, 79 ans, gène lecture et pénombre OD



Une Nouvelle Entité: Atrophie Choroïdienne liée à l'Âge

Age-Related Choroidal Atrophy

RICHARD F. SPAIDE

May 2009

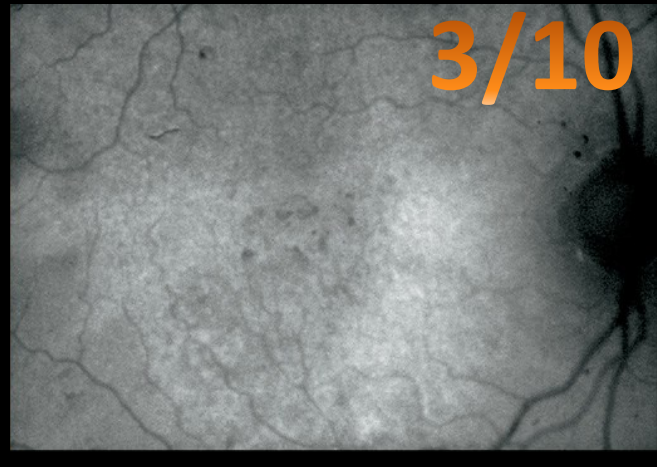
Amincissement choroïdien lié à l'âge ≠ DMLA Patients âgés de plus de 55 ans Etiquetés DMLA Epaisseur choroïdienne fovéolaire < 125 μm

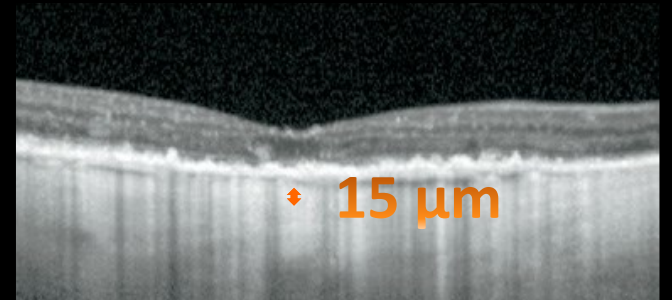
28 yeux de 17 patients; âge moyen 80 ans Epaisseur choroïdienne moyenne: 70 μm Symptômes visuels - difficultés lecture Acuité visuelle moyenne : 5/10 sans atrophie de l'EPR ni NVC

Aspect tigroïde du FO
dépigmentation diffuse du FO
vaisseaux choroïdiens raréfiés
Migrations de pigments

vx choroïdiens de petit et moyen calibre

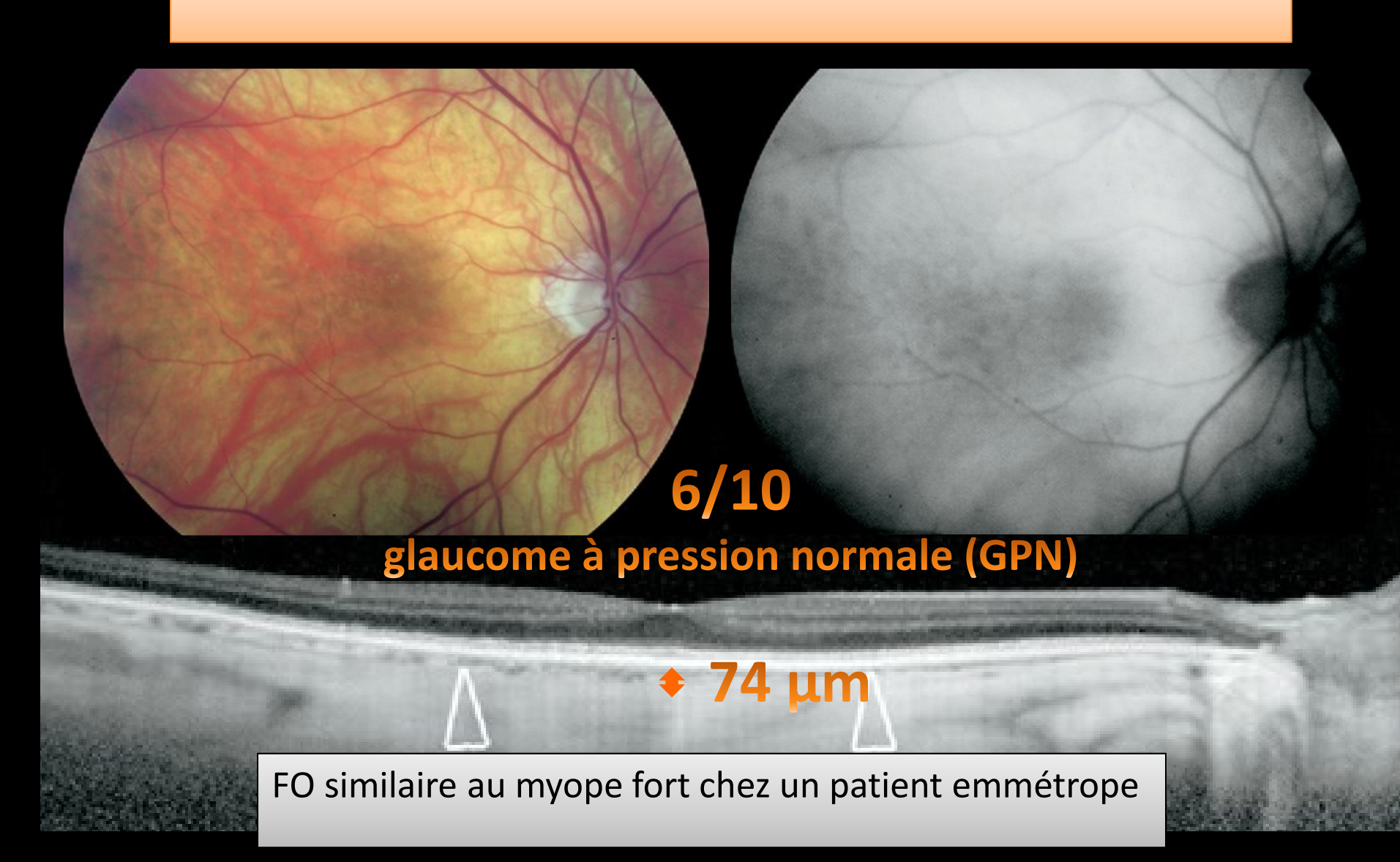






Atrophie Choroïdienne liée à l'Âge

Symptômes visuels d'origine choroïdienne, sans atrophie de l'EPR ni NVC



Atrophie Choroïdienne liée à l'Âge

Pseudodrusen: 67%

Atrophie péripapillaire: 72%

Glaucome: 35%

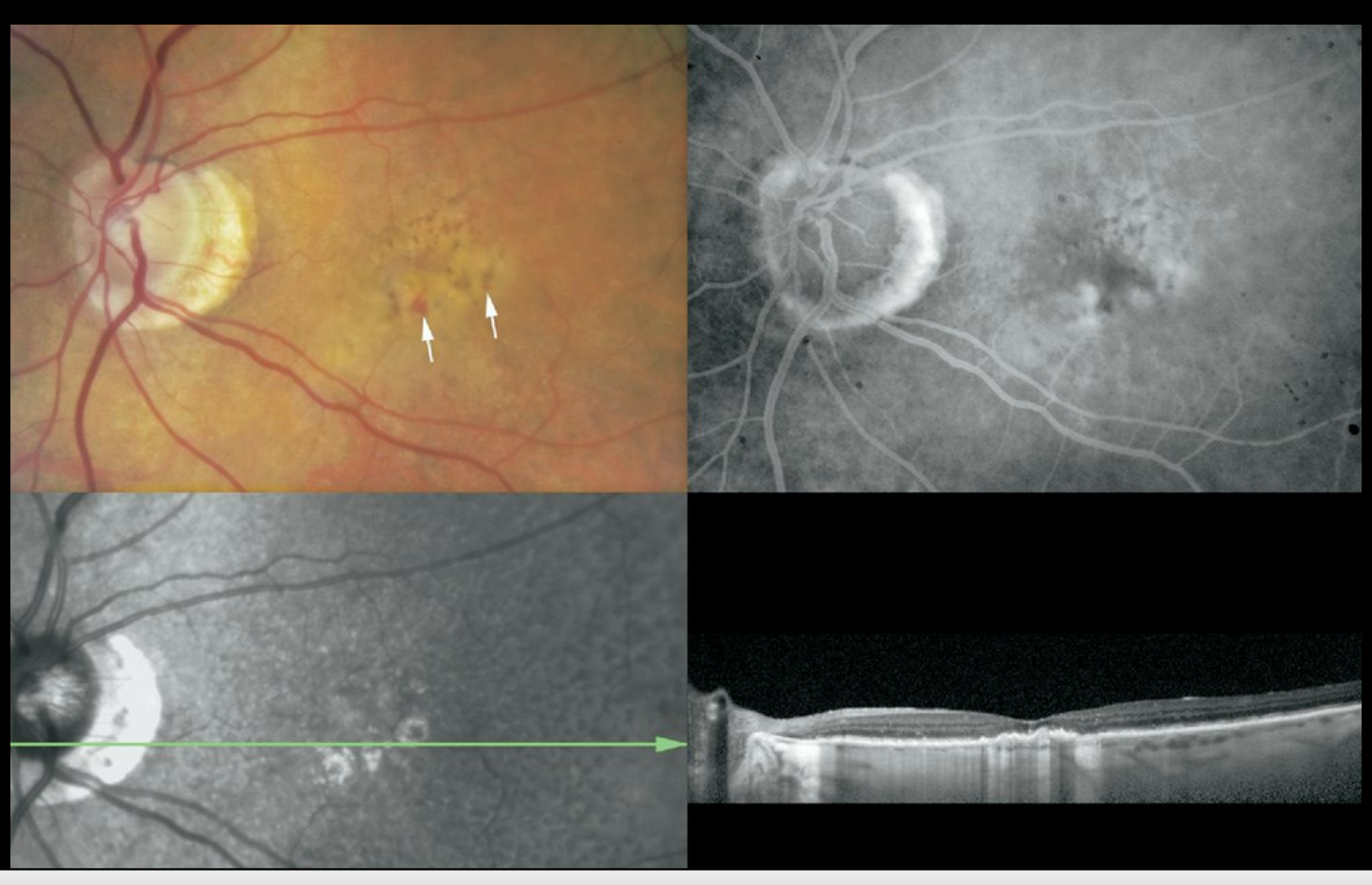
18 yeux symptômes visuels sans DMLA tardive Pas d'atrophie de l'EPR Pas de NVC



Atrophie Choroïdienne liée à l'Âge

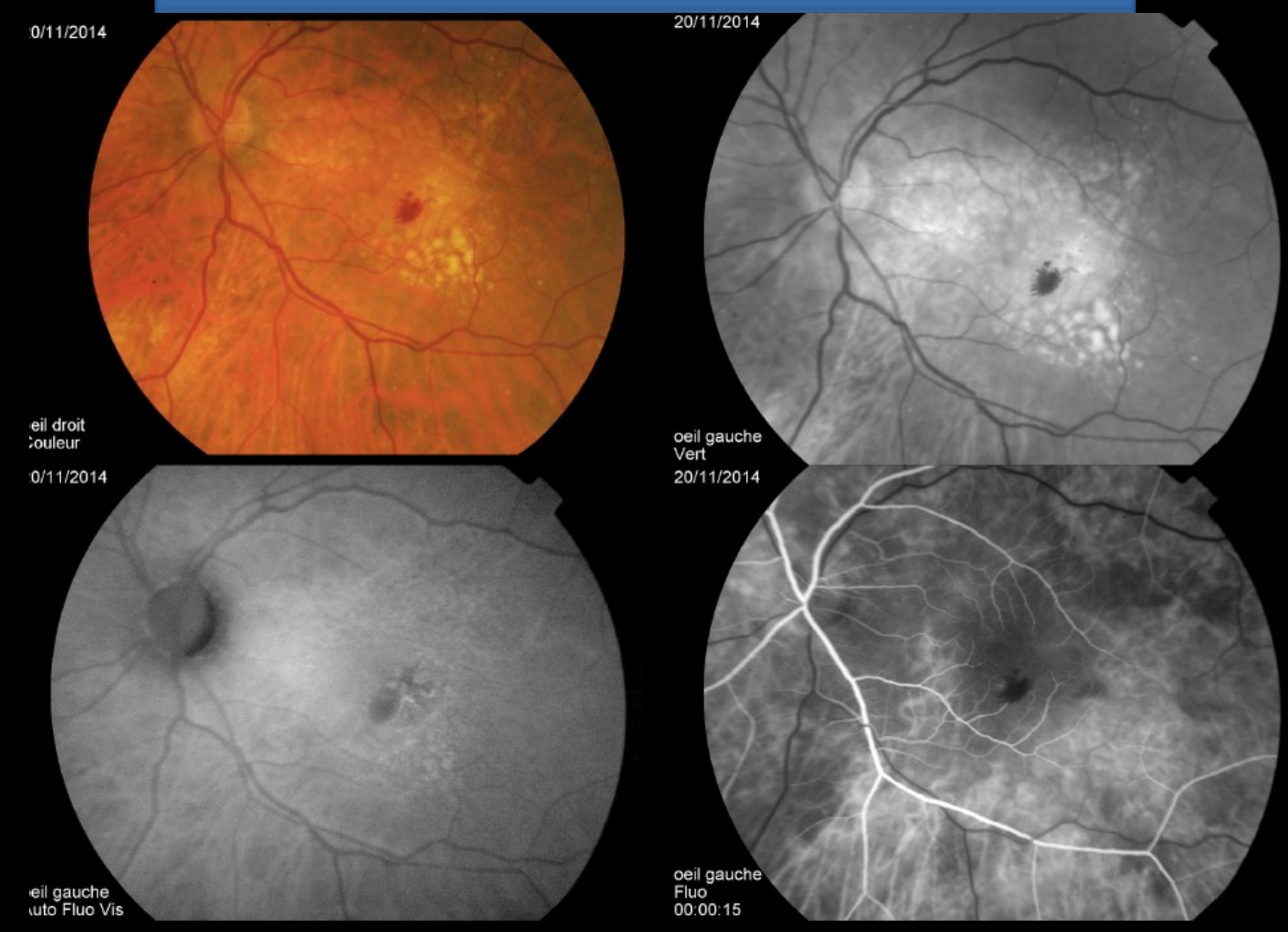
Diagnostic différentiel de la DMLA ++

DMLA peut aussi être associée: NVC et/ou atrophie géographique

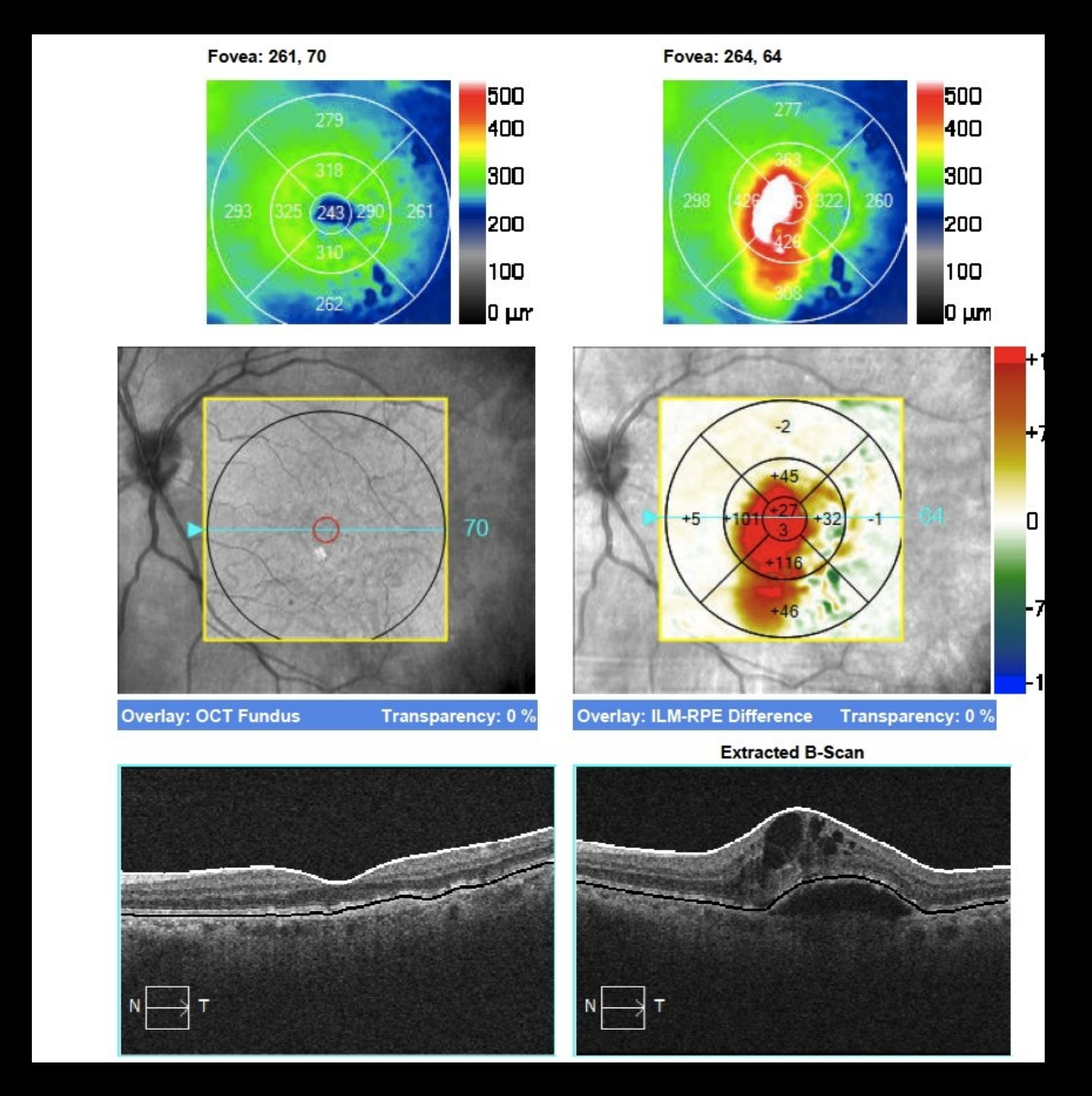


Femme de 90 ans, NVC occultes, pseudodrusen et atrophie choroïdienne

Cas Clinique N°6

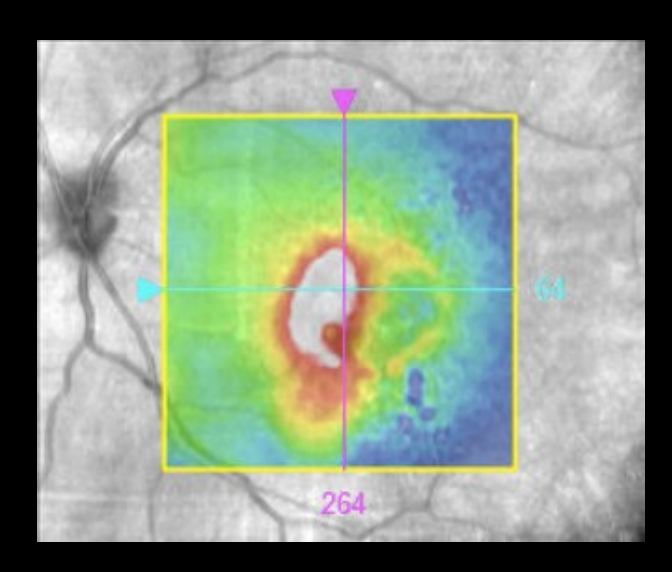


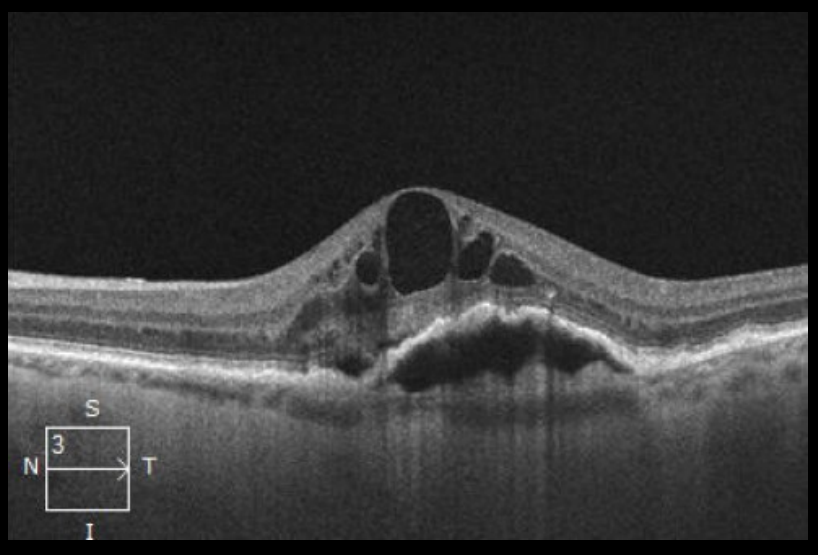


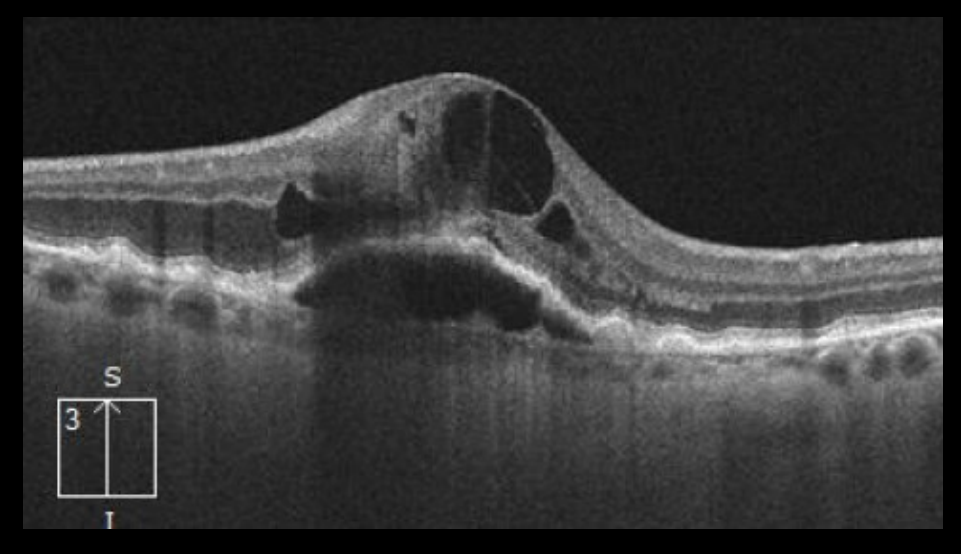


Avril 2014

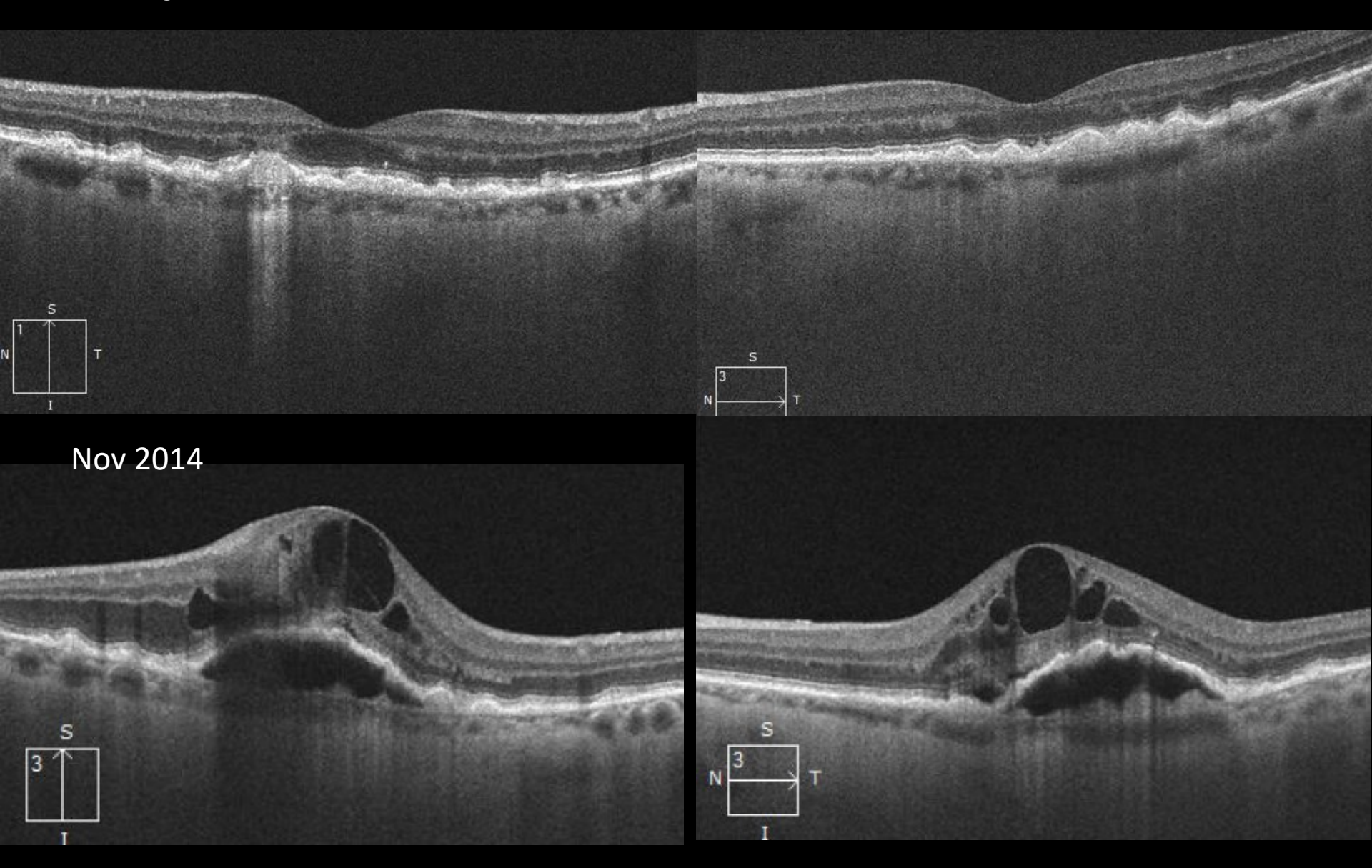
Nov 2014

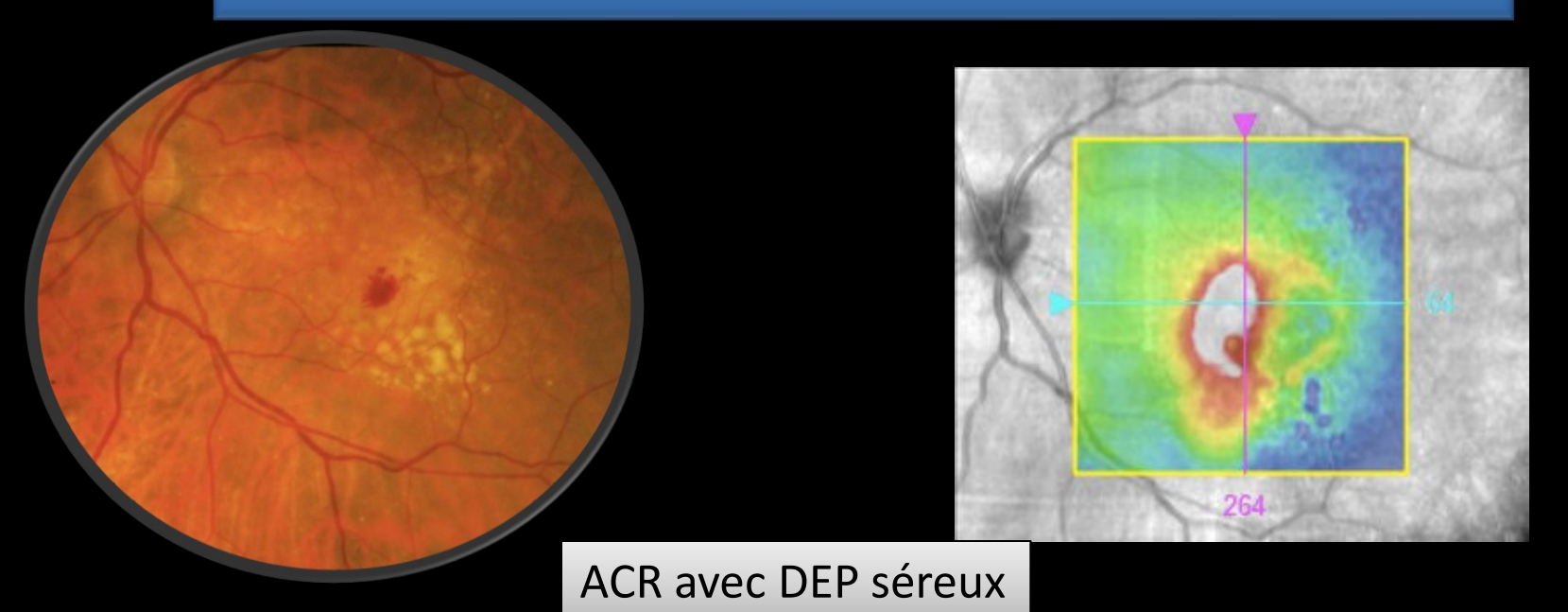




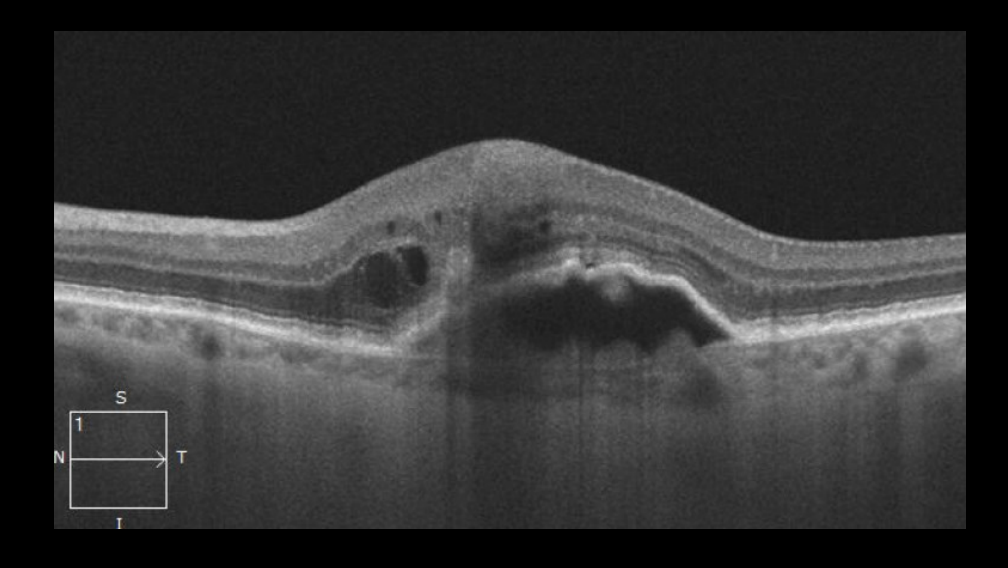


Avril 2014

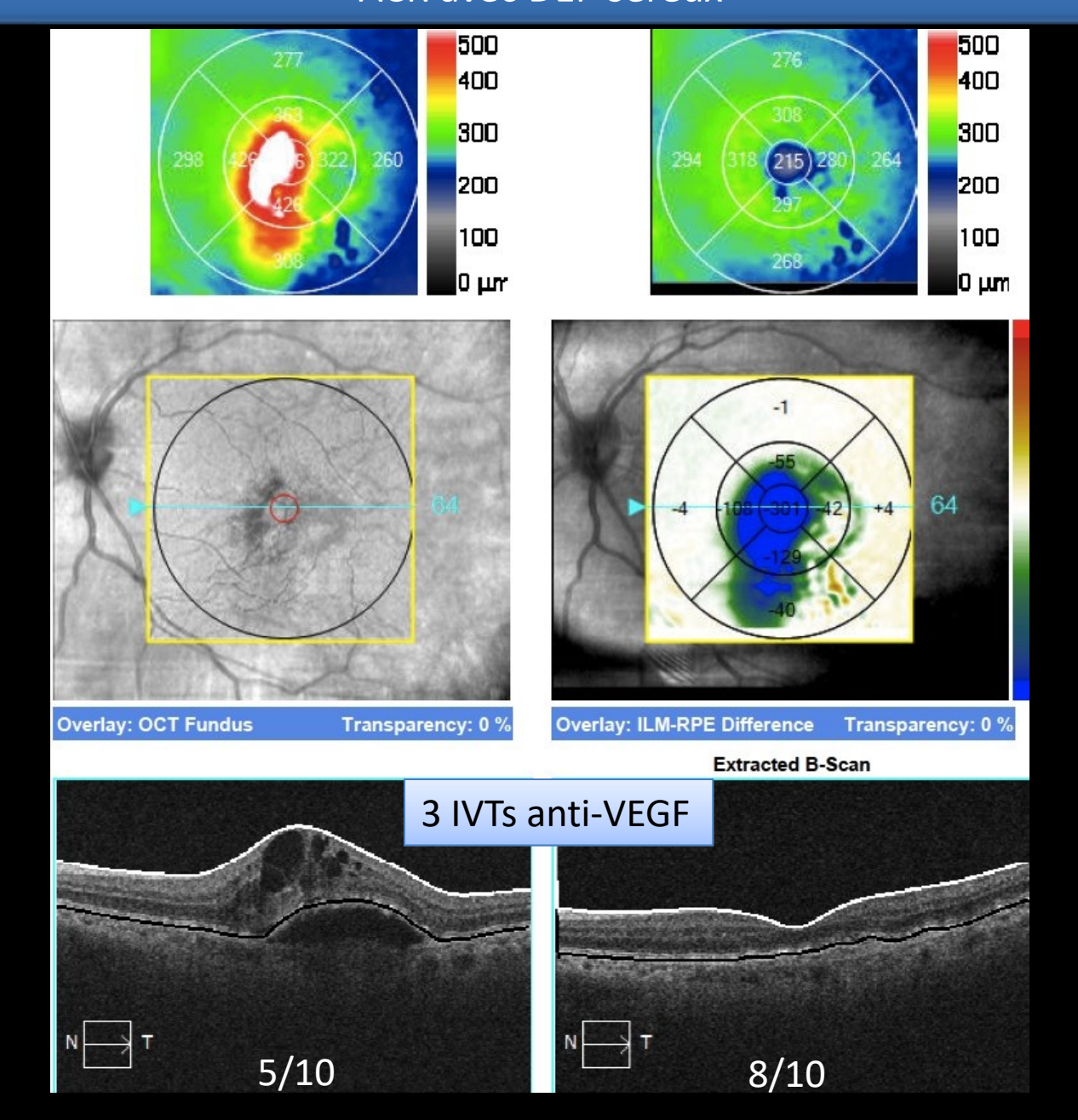






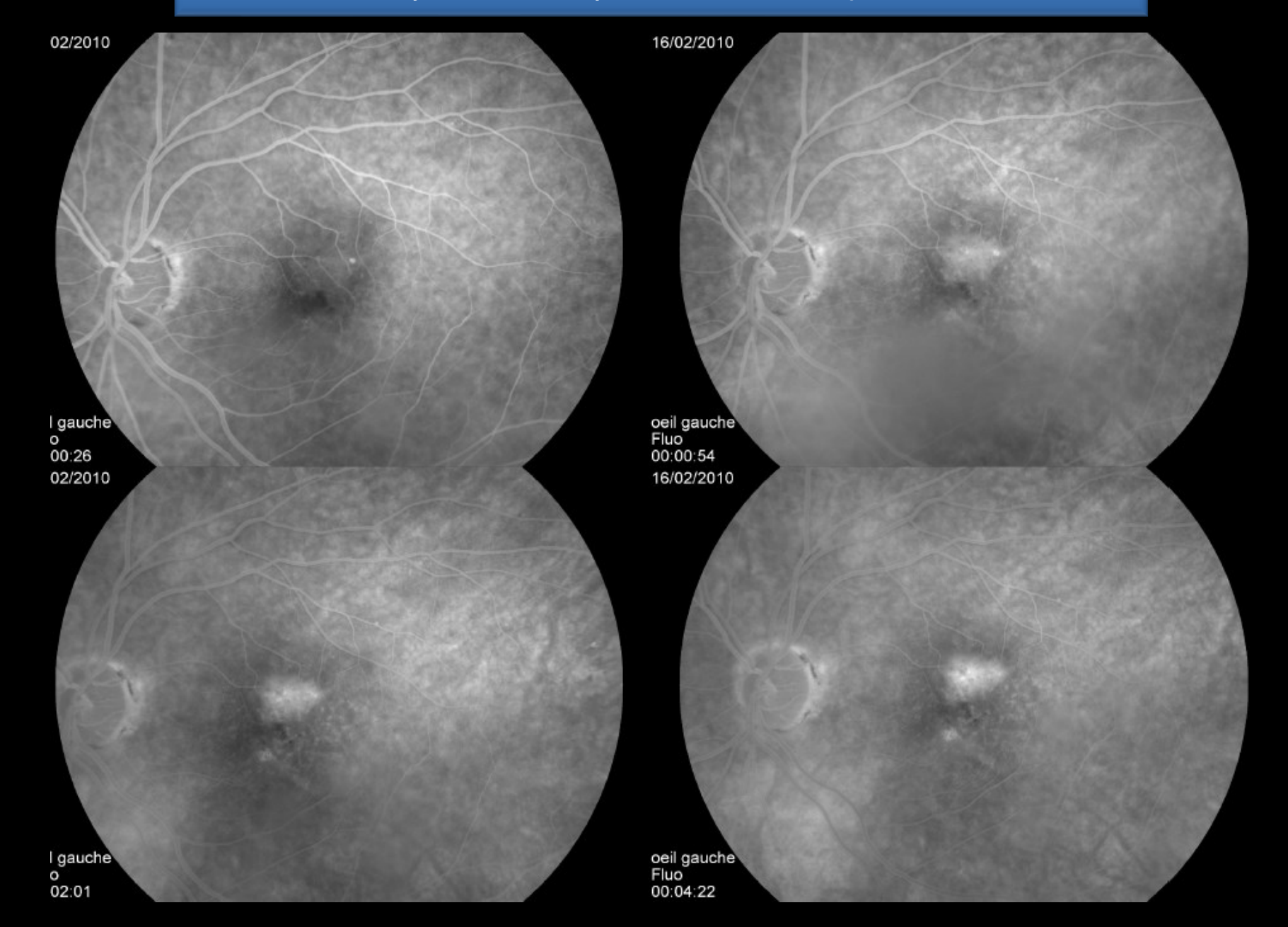


F, 82 ans, BAV OG 5/10 ACR avec DEP séreux

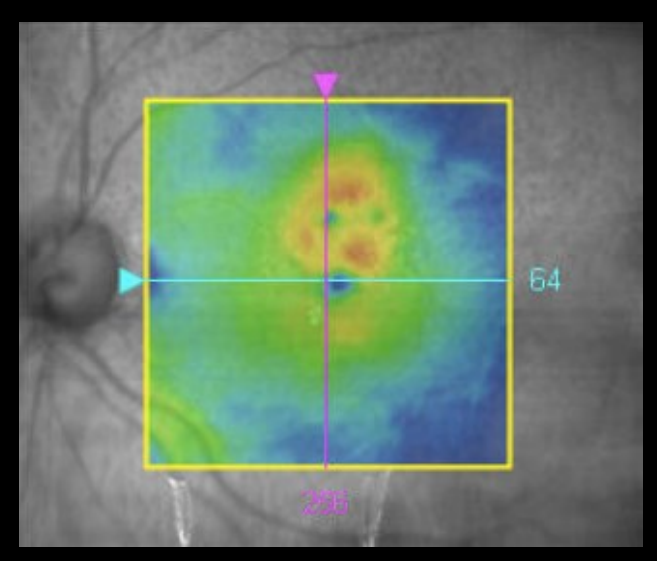


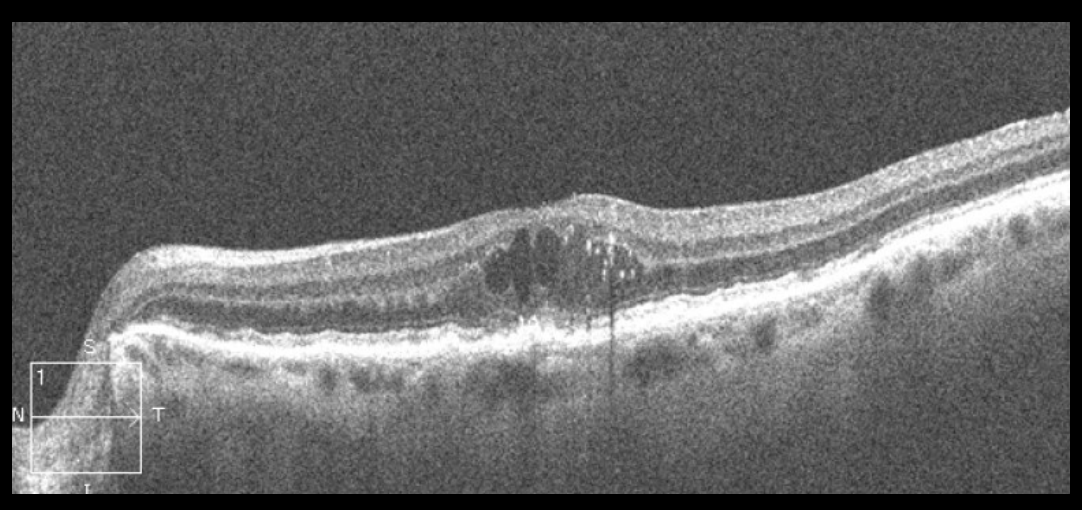
Cas Clinique N°7

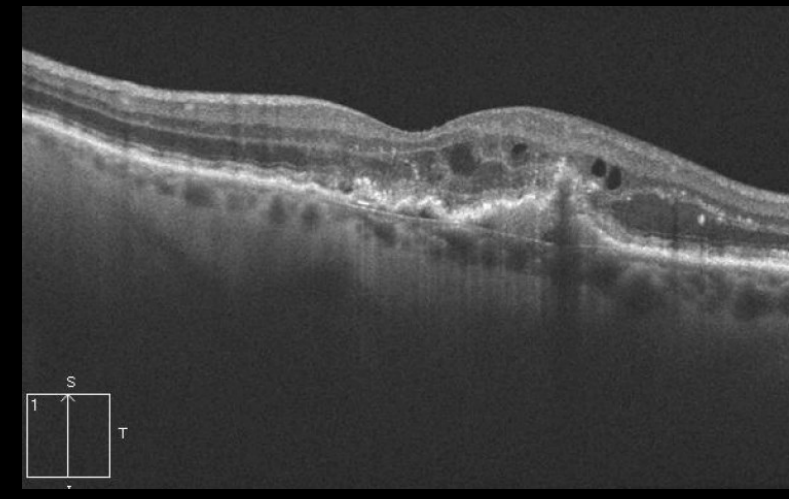




ACR OG sur DEP drusénoïde







3 ans plus tard, évolution atrophique



Progression de l'atrophie géographique dans la DMLA exsudative

But - Méthodes

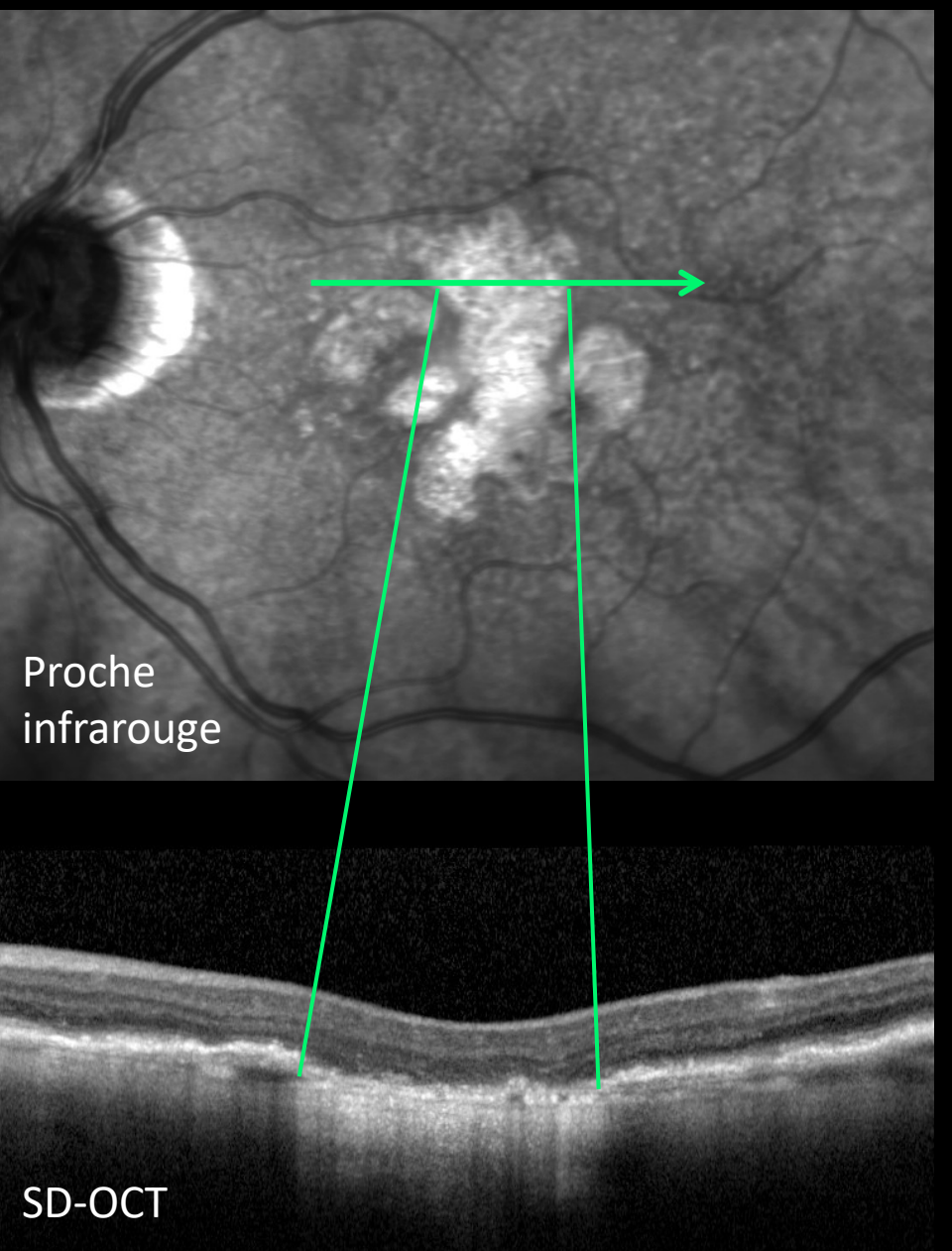
But: Facteurs de risque de progression de l'atrophie géographique dans la DMLA exsudative traitée par injections intra-vitréennes d'anti-VEGF

Méthode: Même cohorte de patients naïfs exclusion de ceux qui n'avaient pas eu de SD-OCT initial 91 patients (94 yeux) Suivi environ 2,5 ans Corrélation de l'atrophie aux phénotypes néovasculaires NVX classifiés en AGF seule et AGF+OCT

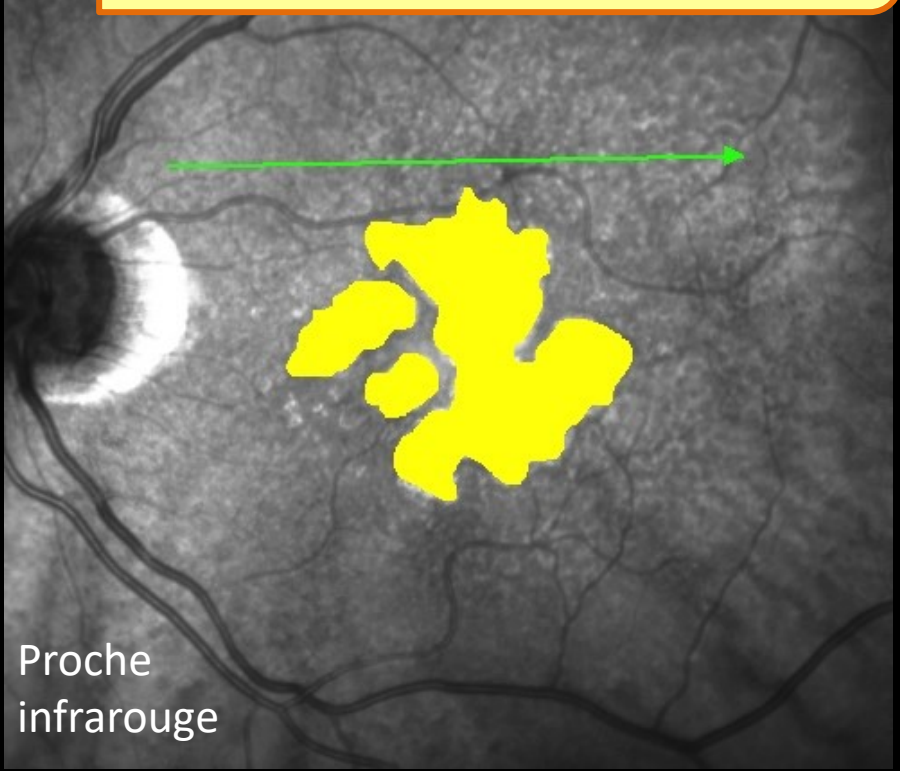
GEOGRAPHIC ATROPHY IN PATIENTS RECEIVING ANTI-VASCULAR ENDOTHELIAL GROWTH FACTOR FOR NEOVASCULAR AGE-RELATED MACULAR DEGENERATION

LUNA XU, MD,*†‡ SARAH MREJEN, MD,*§ JESSE J. JUNG, MD,*§¶**
ROBERTO GALLEGO-PINAZO, MD,*†† DESMOND THOMPSON, PhD,‡‡
MARCELA MARSIGLIA, MD, PhD,*§¶** K. BAILEY FREUND, MD*§¶**

Progression de l'atrophie géographique dans la DMLA exsudative - Méthodes



Mesure de l'atrophie géographique



Mesure en imagerie multimodale

- Hyper-reflectivité en proche IR
- > 250 μm diametre
- Bords nets
- > ET sur SD-OCT correspondant
 - > 7 pénétration de lumière
 - Visualization de la choroïde

Progression de l'atrophie géographique dans la DMLA exsudative - Résultats

Caractéristiques démographiques et cliniques

N	91 patients (94 eyes)	
Age moyen (± SD)	81.7 (± 8.5)	
Femmes (%)	61 (67%)	
Suivi moyen (Mois)	28.5 (± 10.7)	
Acuite Visuelle initiale	20/77 (20/20 - 20/800)	
Taille initale de l'atrophie, en mm ²	0.27 (± 0.99)	
Atrophie peripapillaire	64%	
Pseudodrusen réticulés	46%	
Nombre d'injections anti-VEGF	17.4 (± 9.0) (7.3/an)	
Ranibizumab monothérapie	64%	

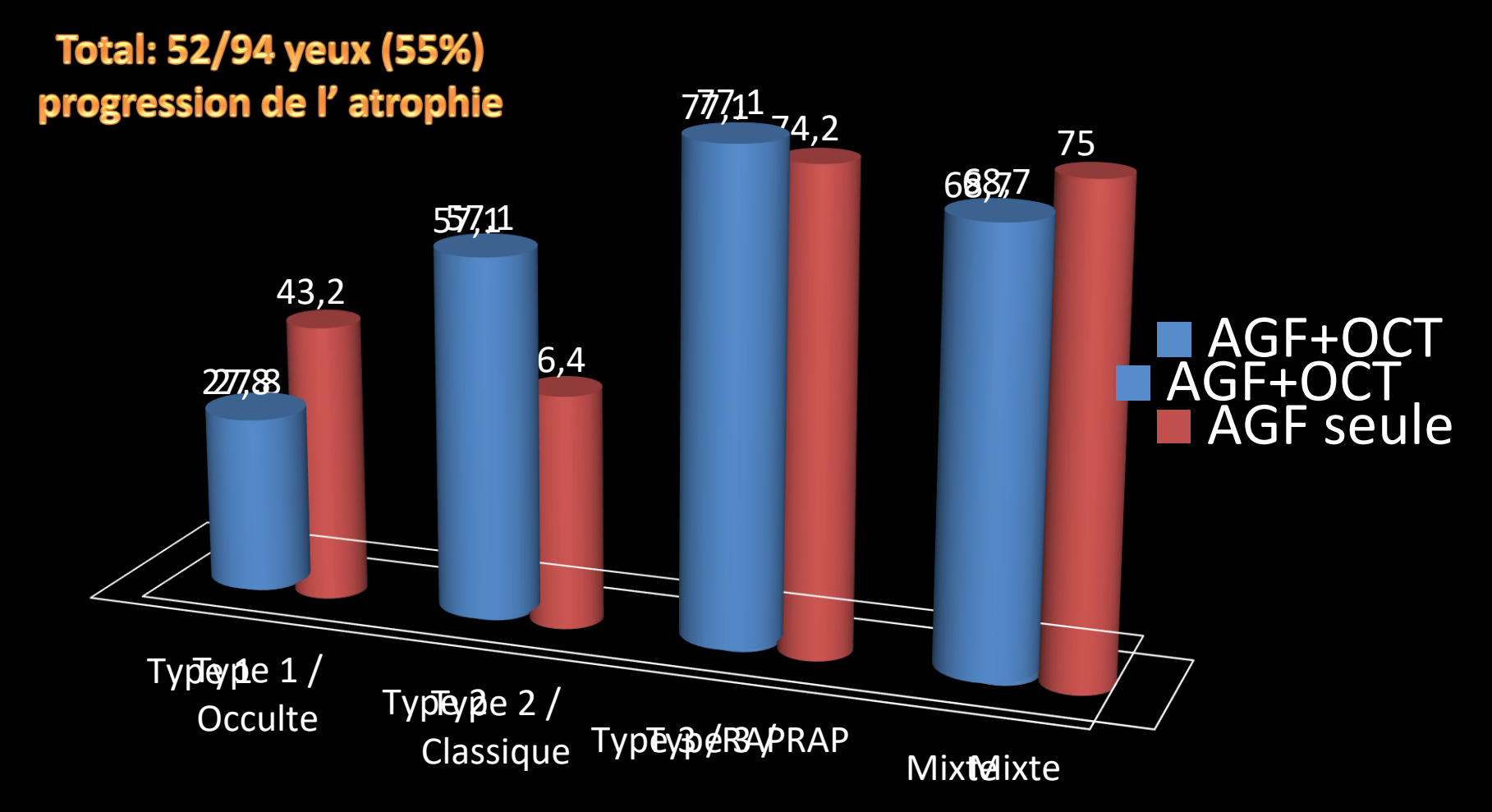
Résultats

Caractéristiques démographiques et cliniques

Classification anatomique AGF+OCT (% total)	94 yeux	Classification AGF (% total)	94 yeux
Type 1 sous-épithélial	36 (38.3%)	Occulte	44 (46.8%)
Type 2 pré-épithélial	7 (7.4%)	Classique	11 (11.7%)
Type 3 intra-rétinien	35 (37.2%)	RAP	31 (33%)
Mixte	16 (17%)	Mixte	8 (8.5%)

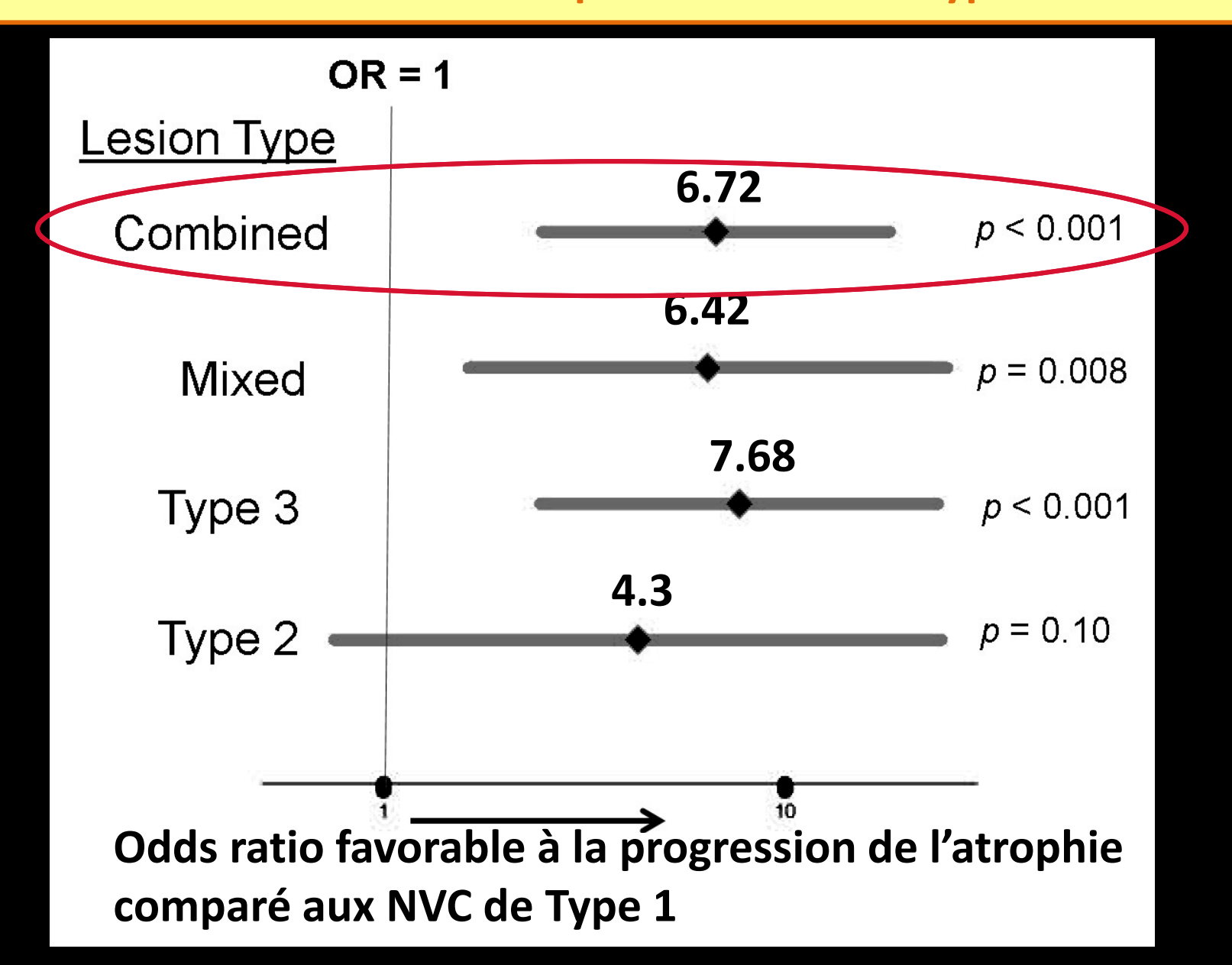
Progression de l'atrophie géographique (% total)	52 (55%)
Atrophie présente au diagnostic	17 (18%)
Développement au cours du suivi	35 (37%)

Progression de l'atrophie par phénotype de néovaisseaux



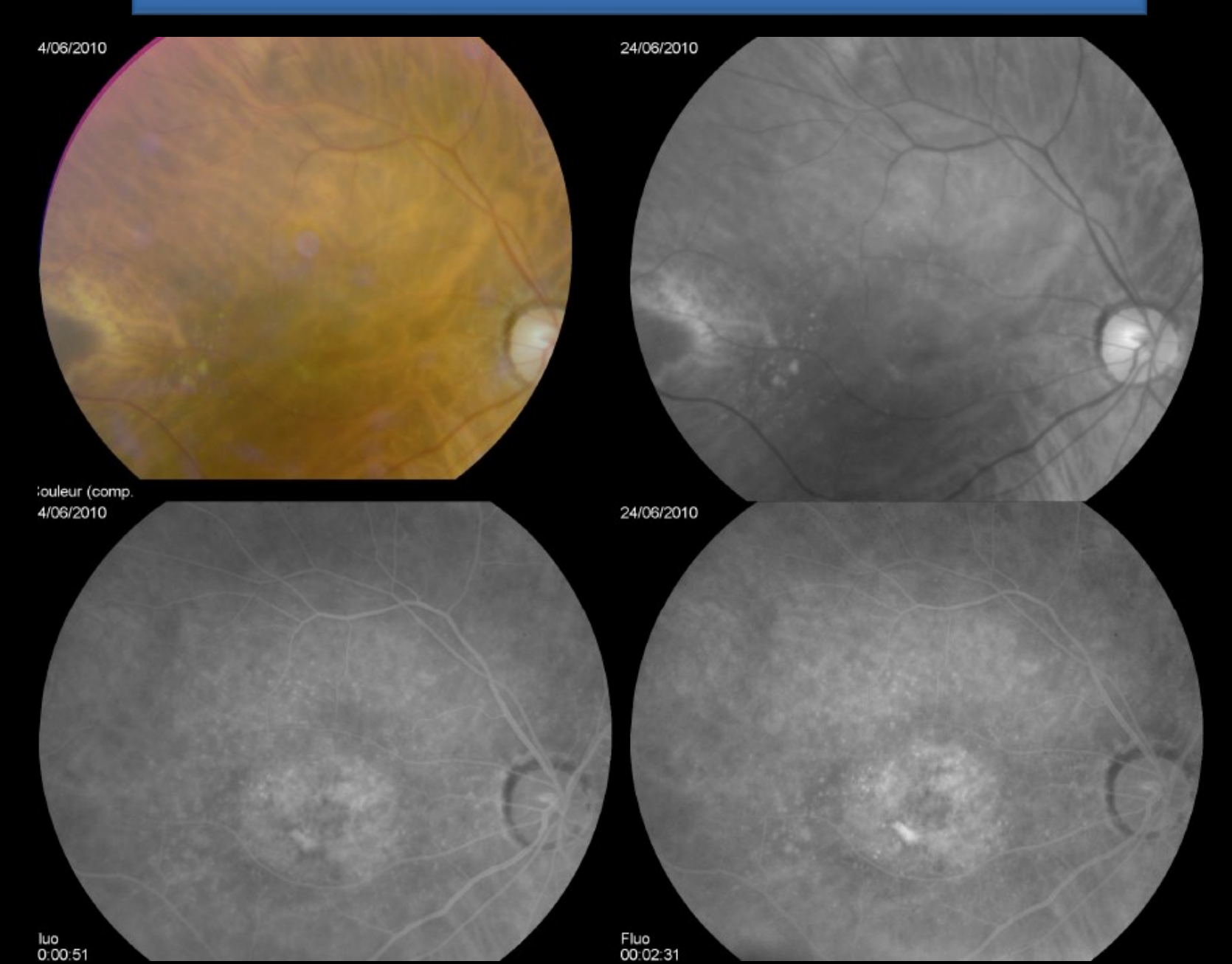
La classification anatomique (AGF+OCT) est plus fortement corrélée à la progression de l'atrophie géographique que la classification utilisant l'AGF seule (Régression logistique, Chi-2: 27.8 pour AGF+OCT vs Chi-2= 19.8 pour AGF seule, P<0.001)

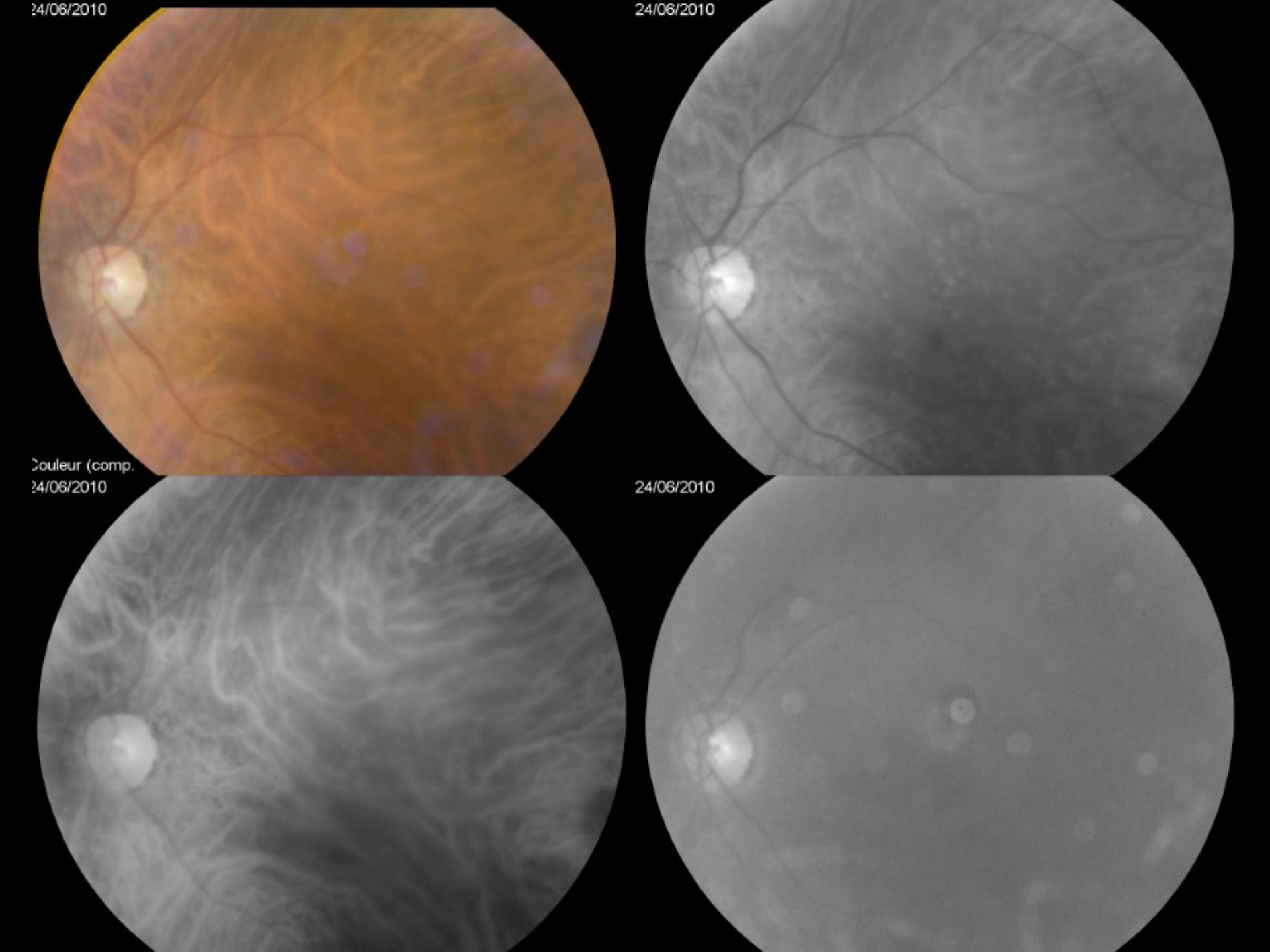
Odds Ratio de progression de l'atrophie EPR par phénotype néovasculaire comparé aux NVC de Type 1

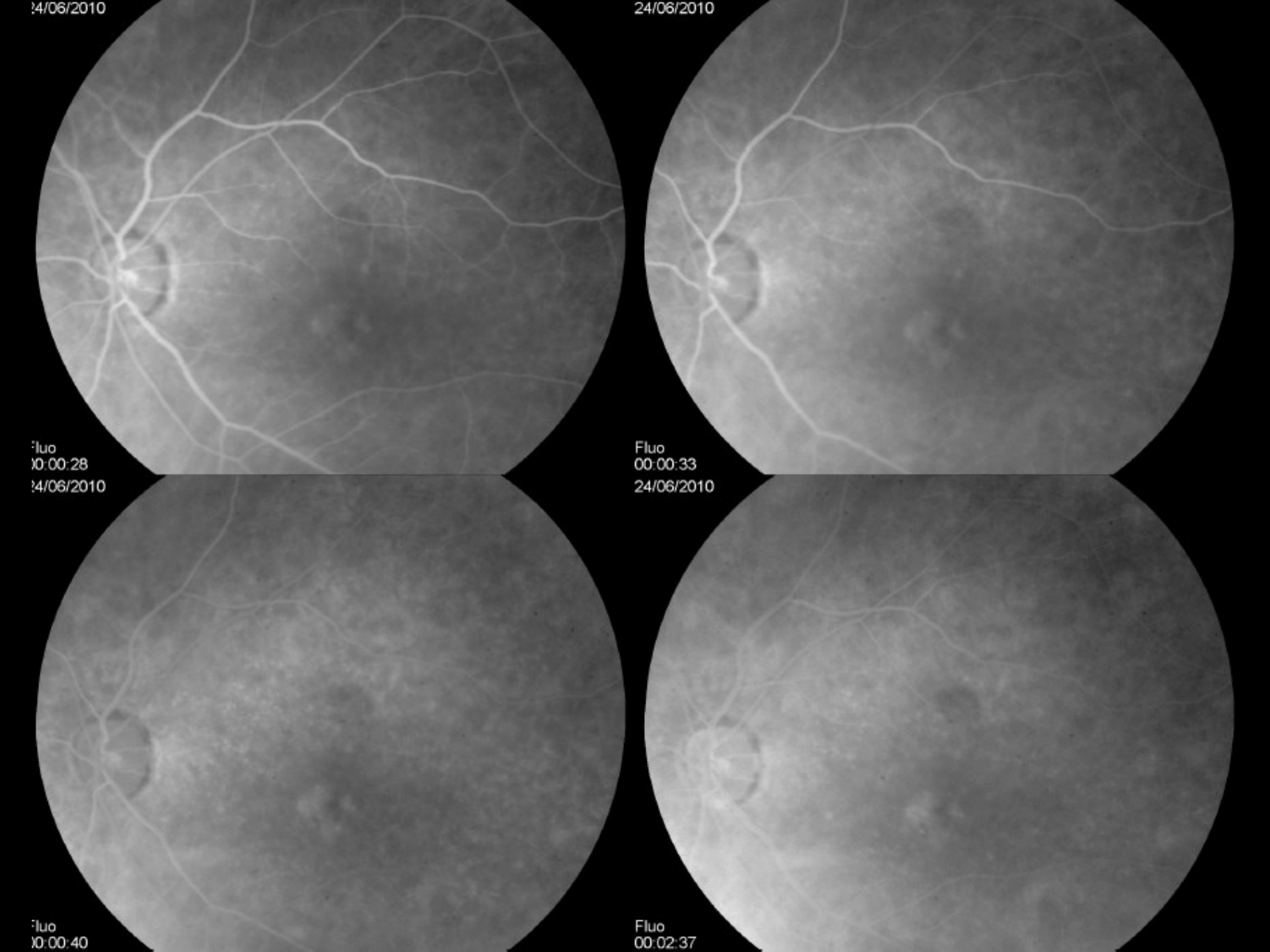


Cas Clinique N°8

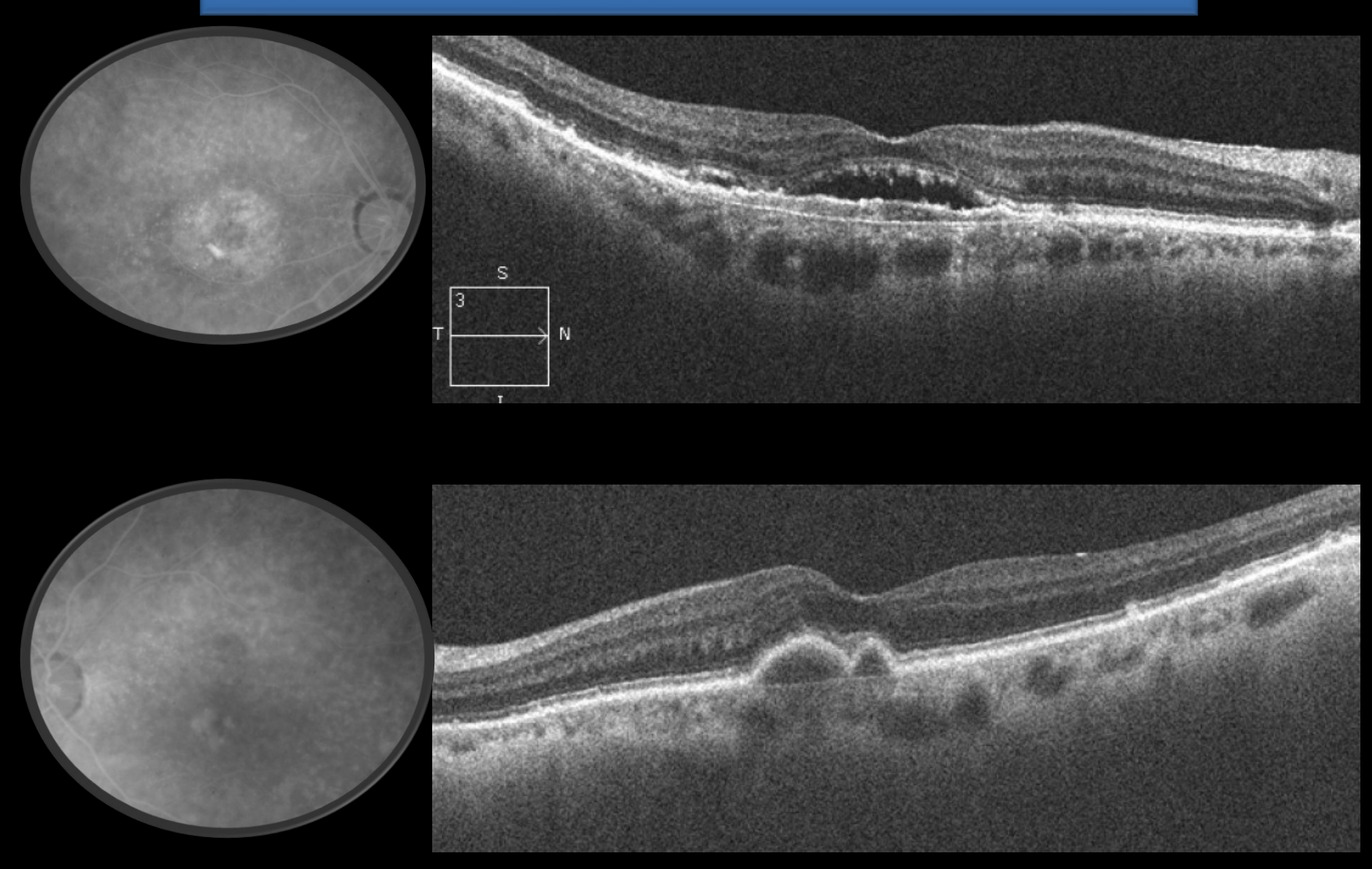
F, 76 ans, BAV OD 5/10



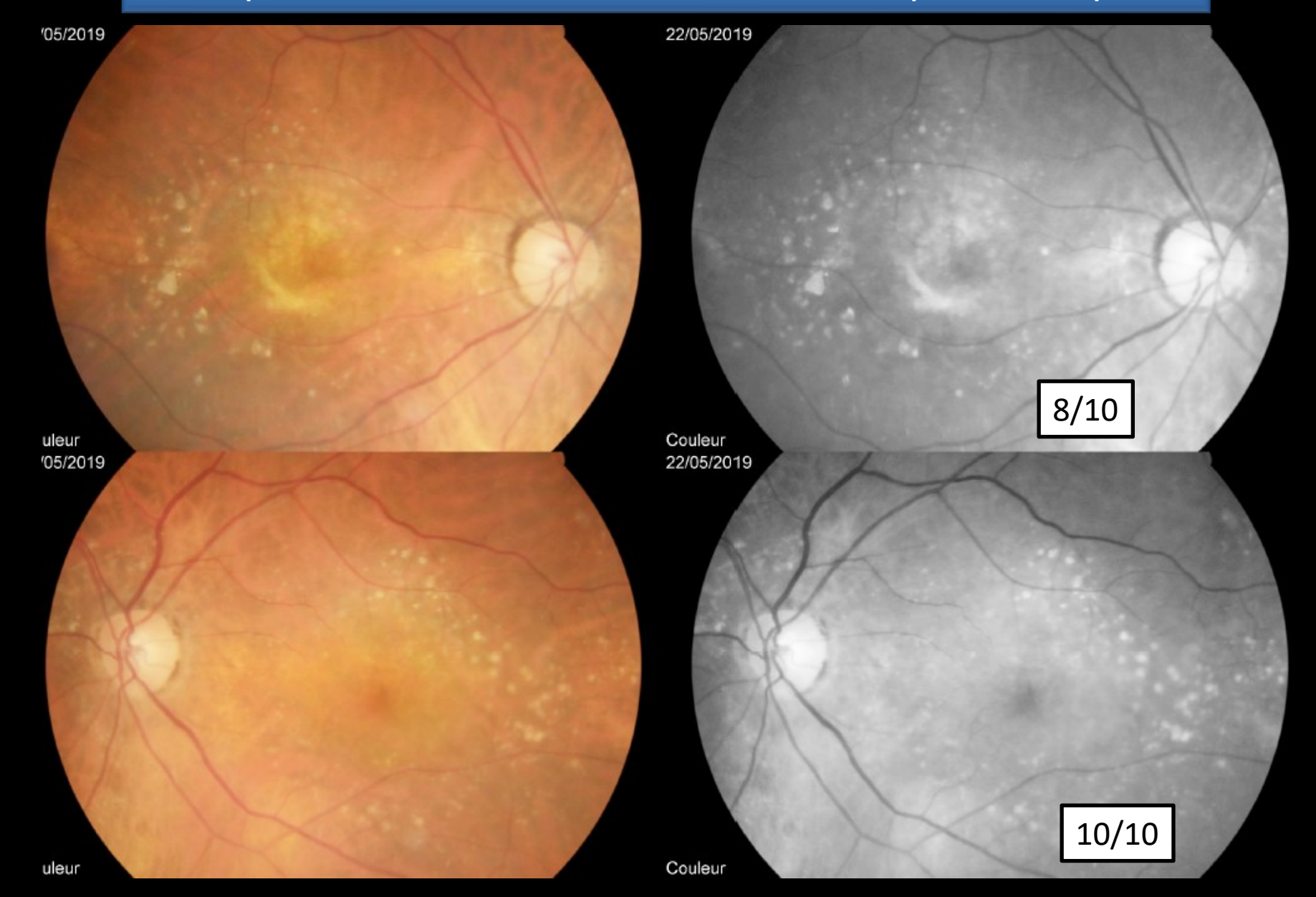




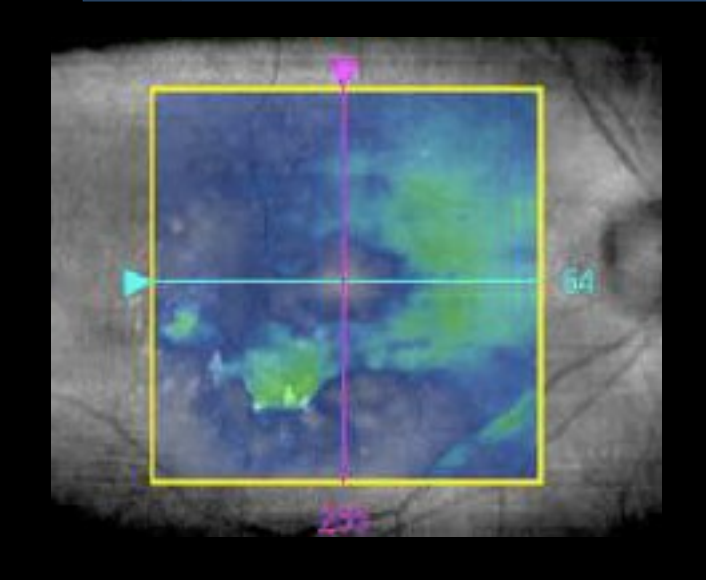
F, 76 ans, BAV OD 5/10

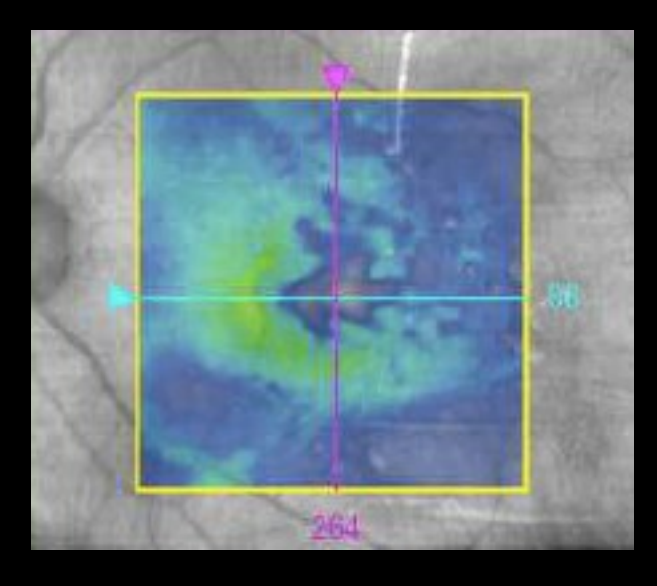


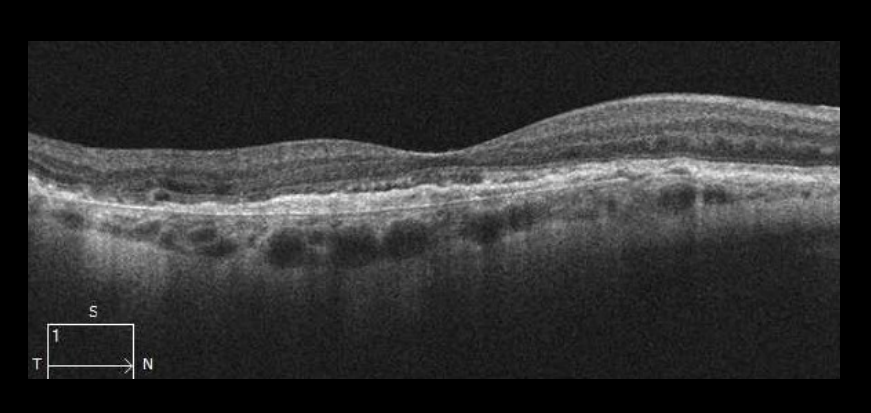
NVX Type 1 bilatéraux 9 ans plus tard, 29 IVTs OD et 17 IVTs OG, pas d'atrophie

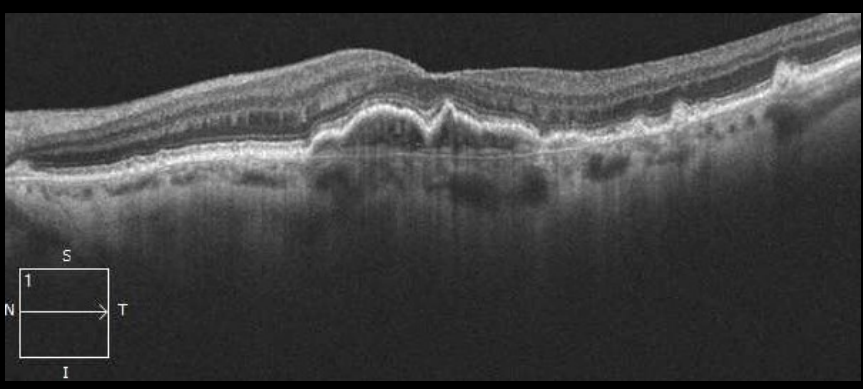


NVX Type 1 bilatéraux 9 ans plus tard, 29 IVTs OD et 17 IVTs OG, pas d'atrophie



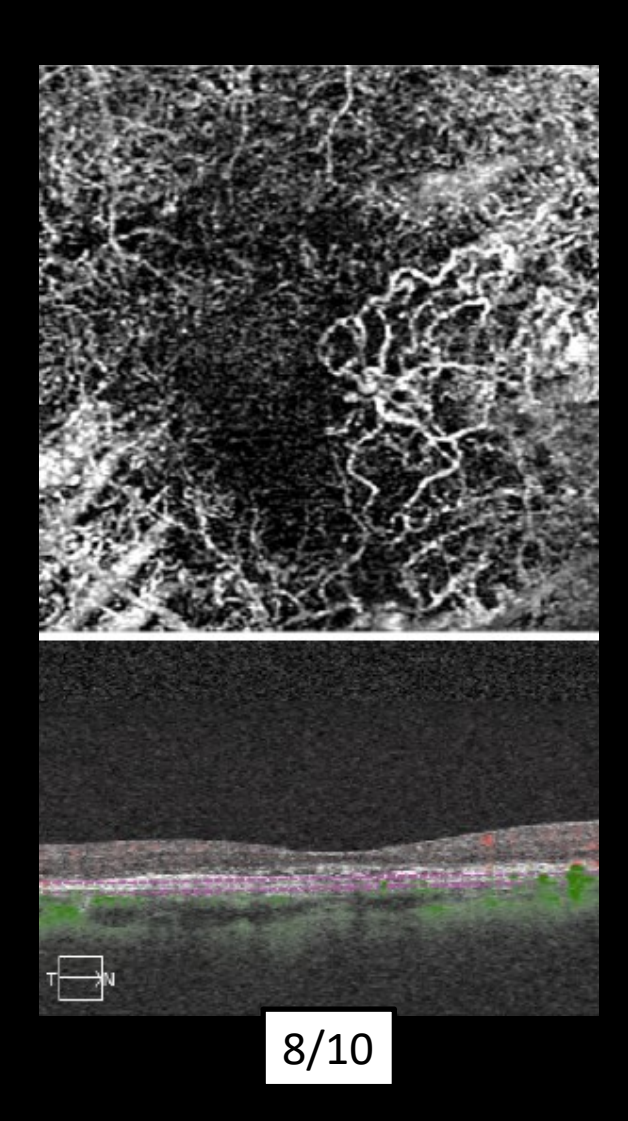


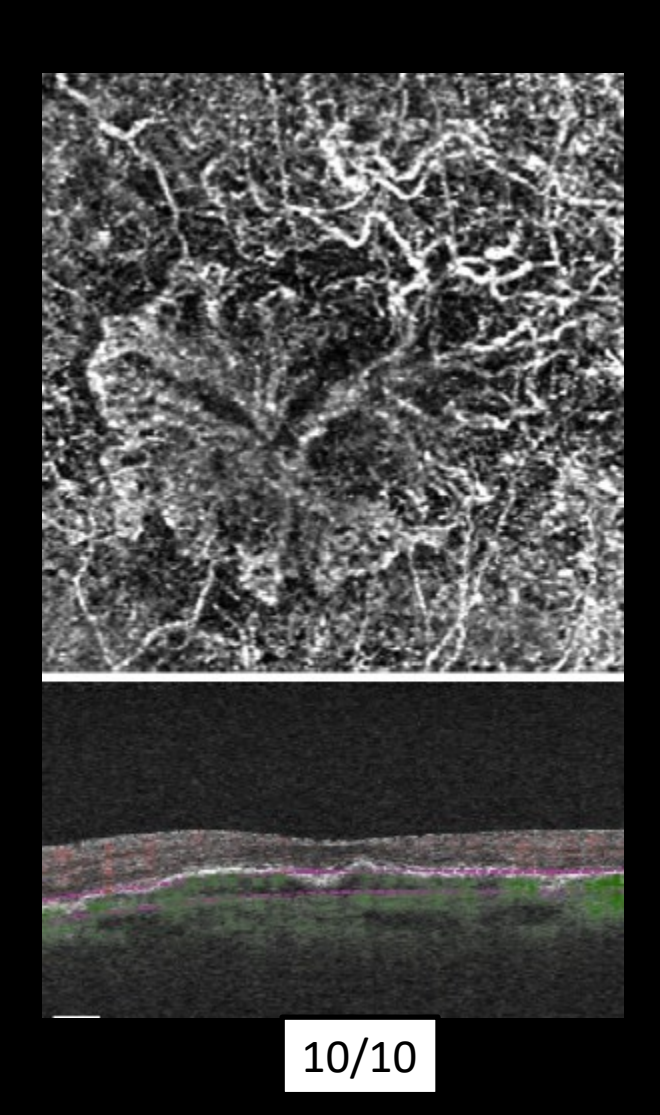




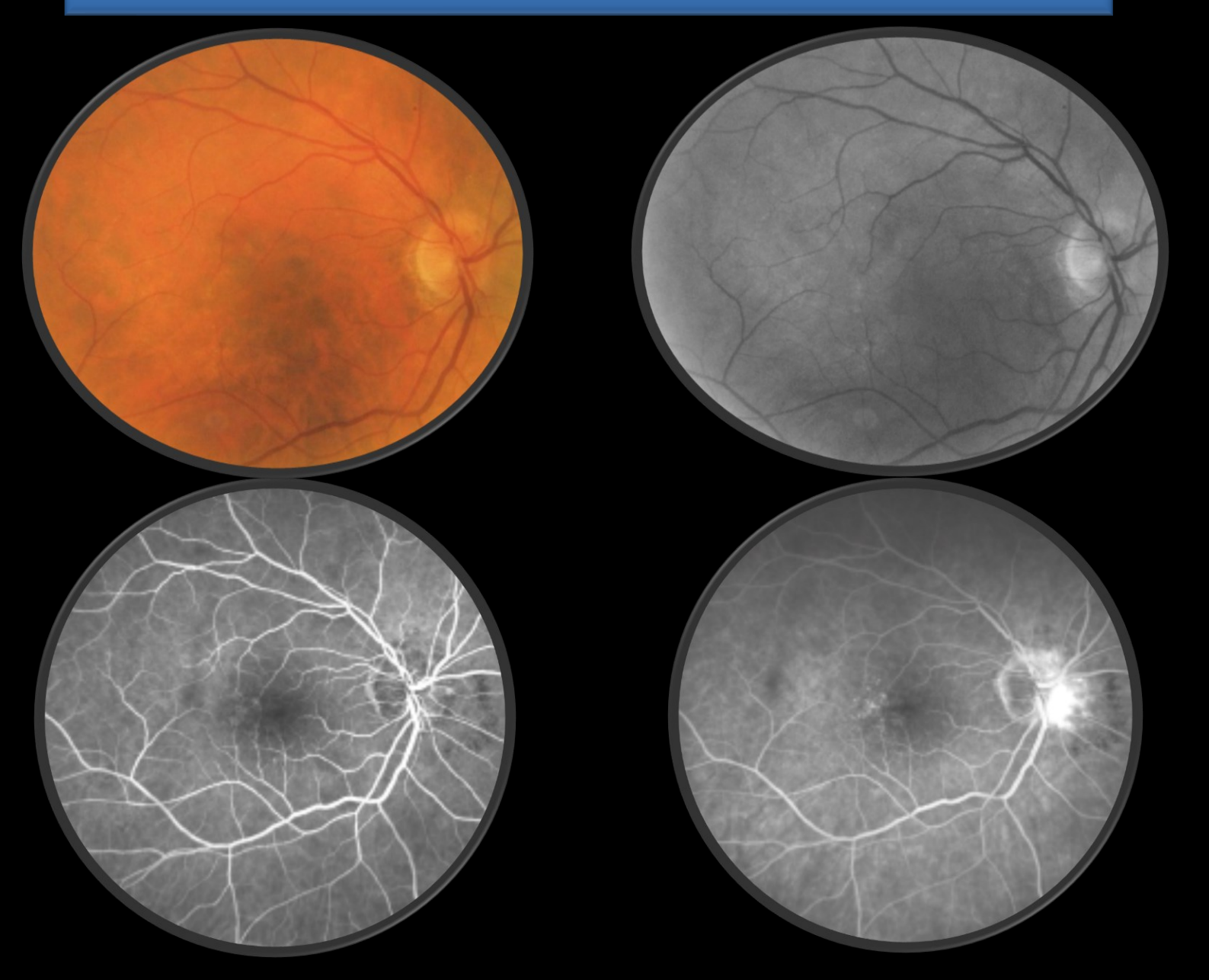
8/10

NVX Type 1 bilatéraux 9 ans plus tard, 29 IVTs OD et 17 IVTs OG, pas d'atrophie

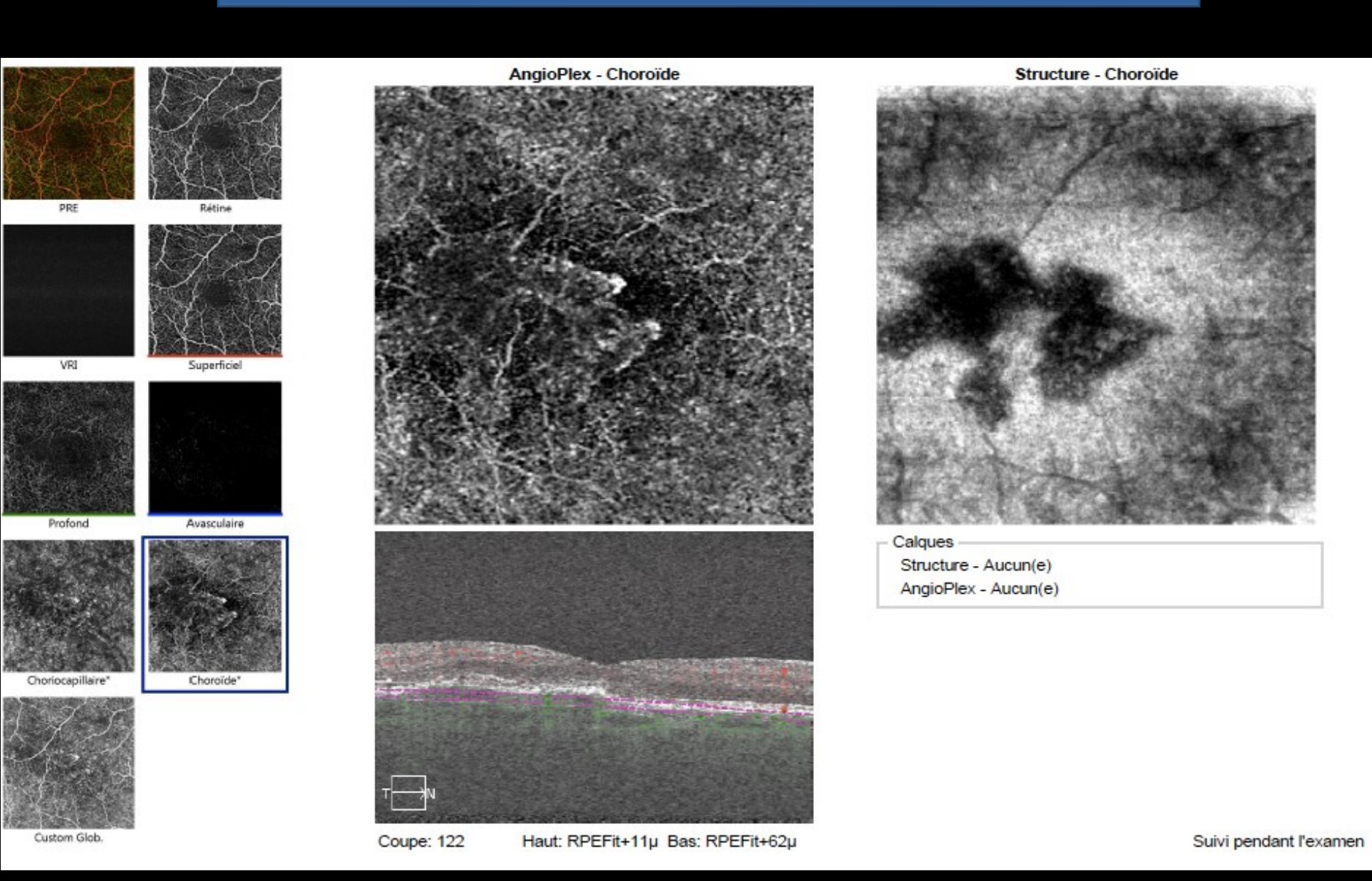




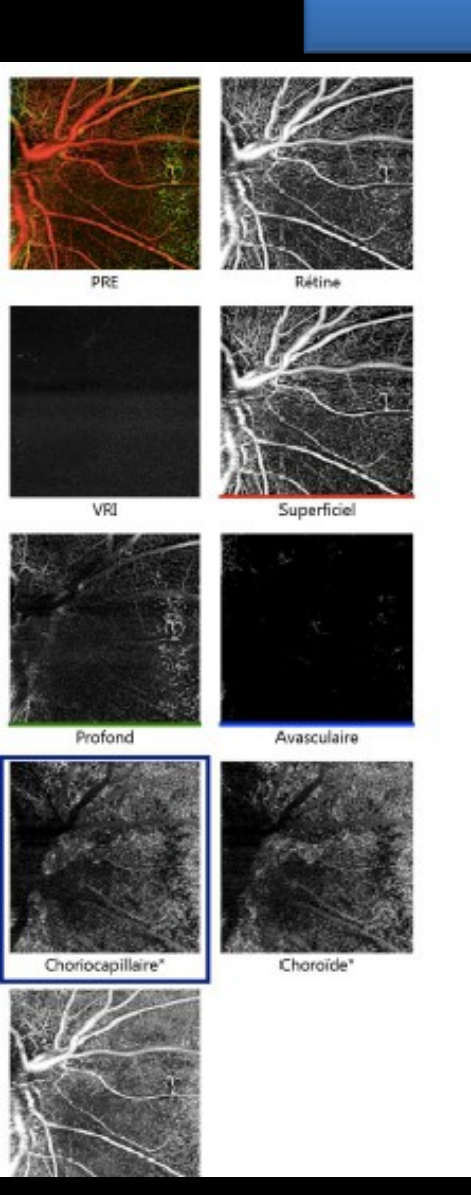
F, 79 ans, BAV OD 5/10

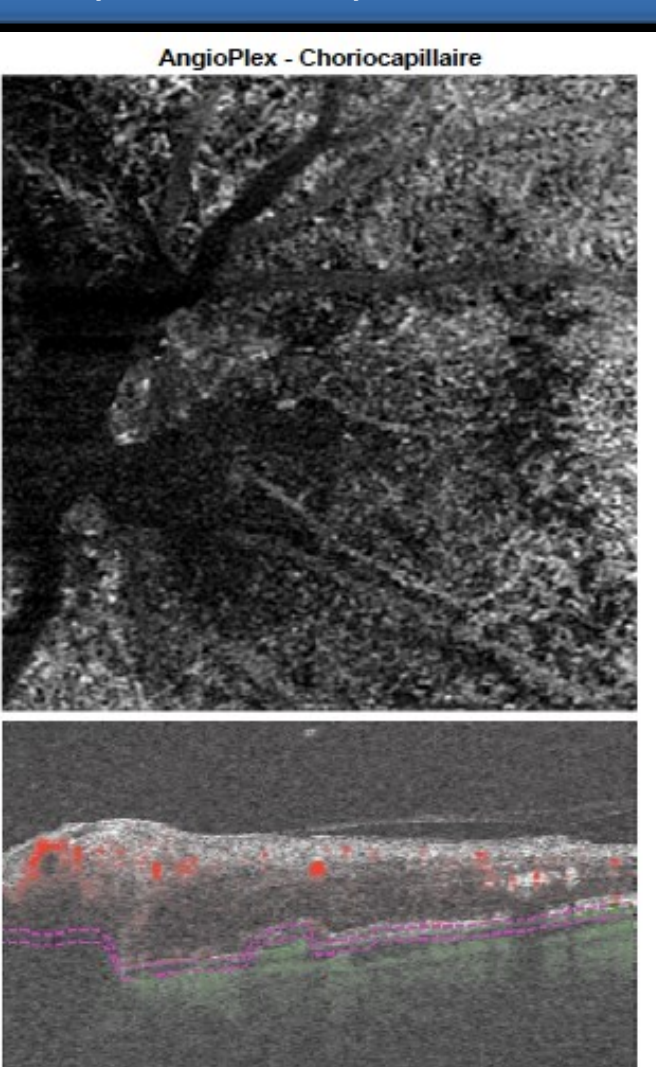


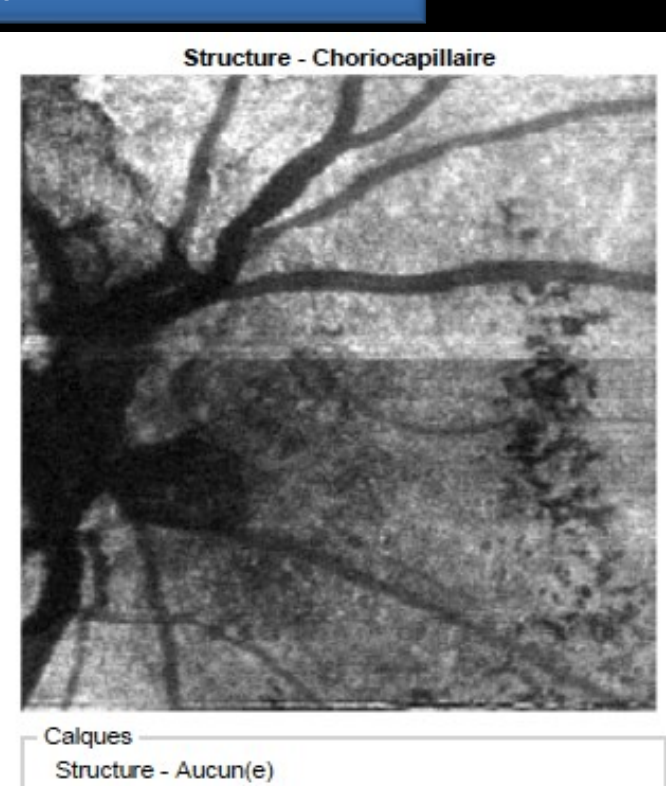
F, 79 ans, BAV OD 5/10



F, 79 ans, BAV OD 5/10

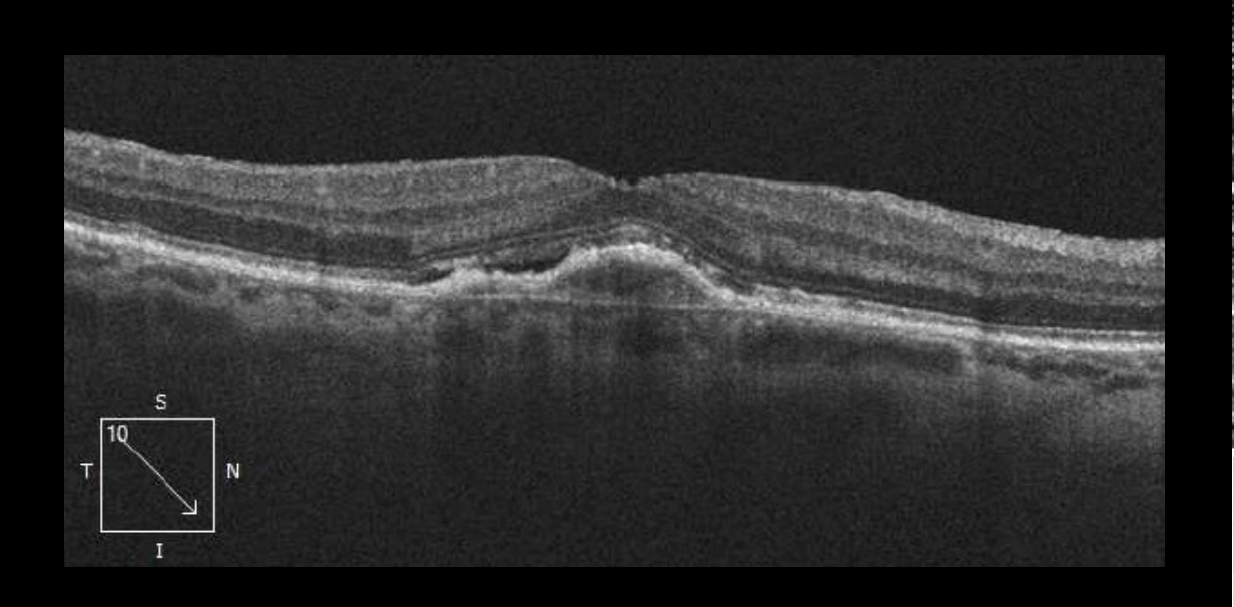


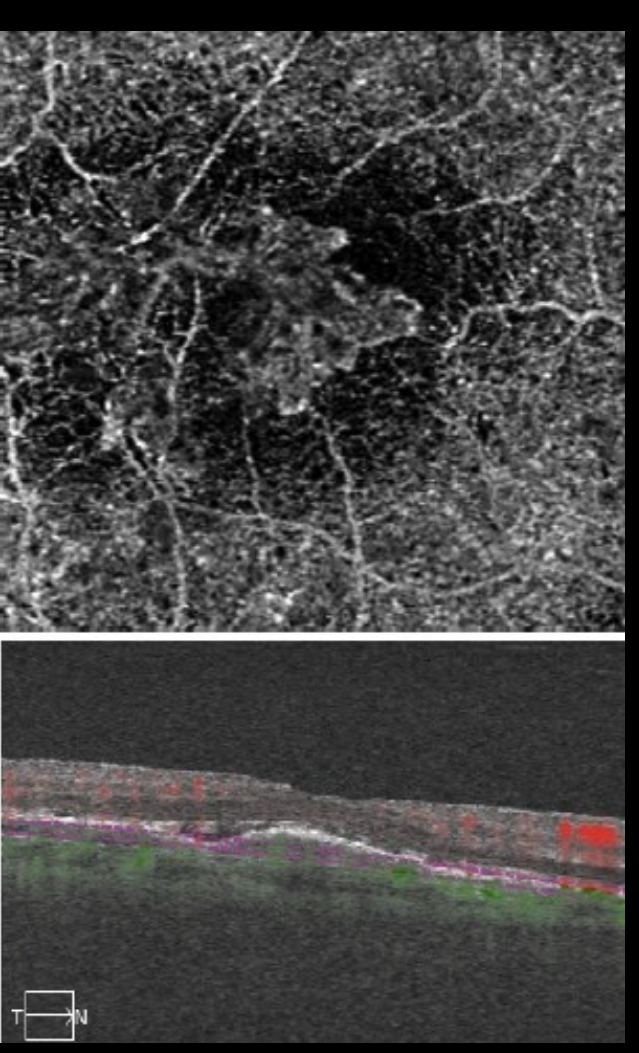




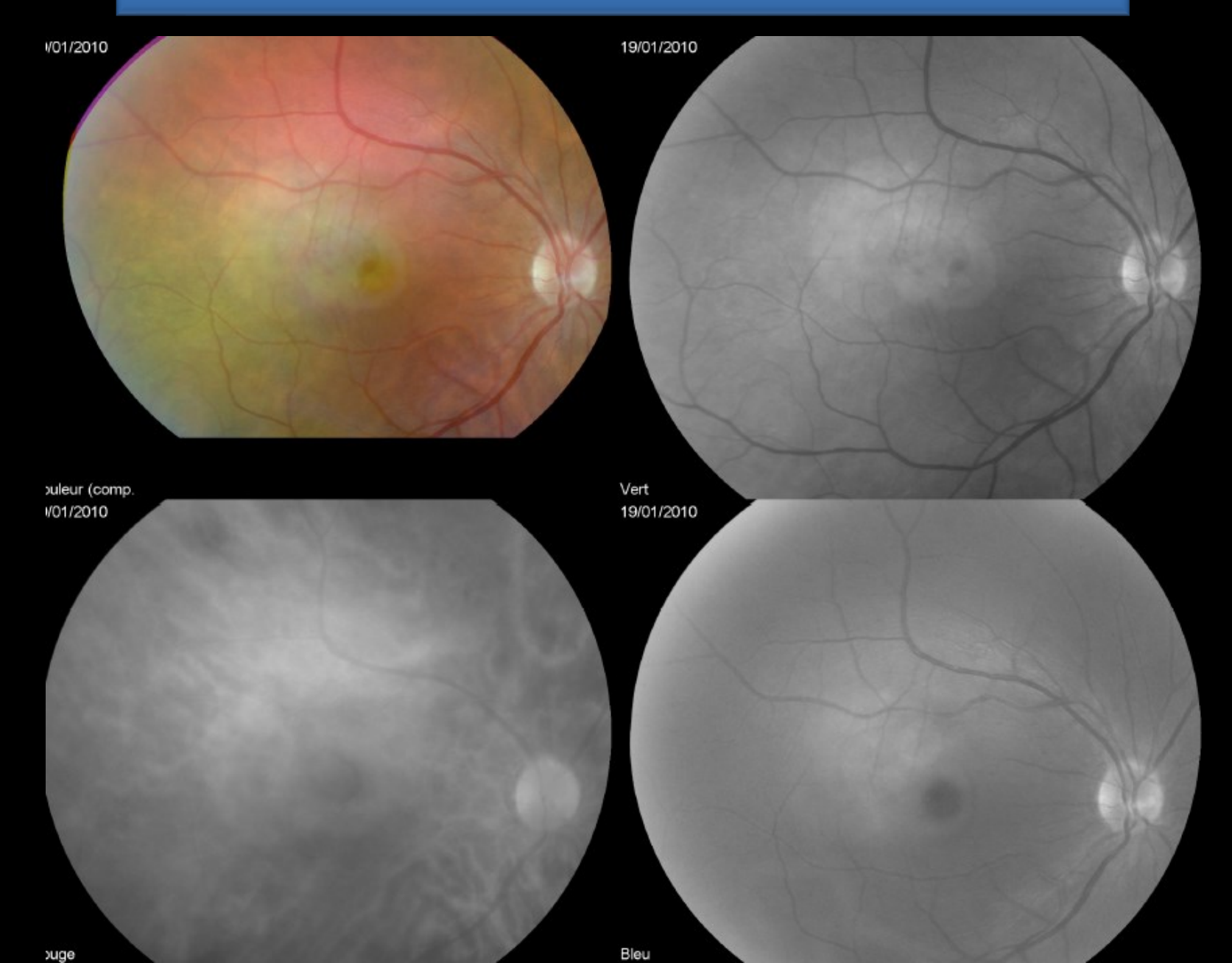
AngioPlex - Aucun(e)

F, 79 ans, Néovaisseaux Type 1 OD AV 7/10, 1 an plus tard après 6 IVTs anti-VEGF



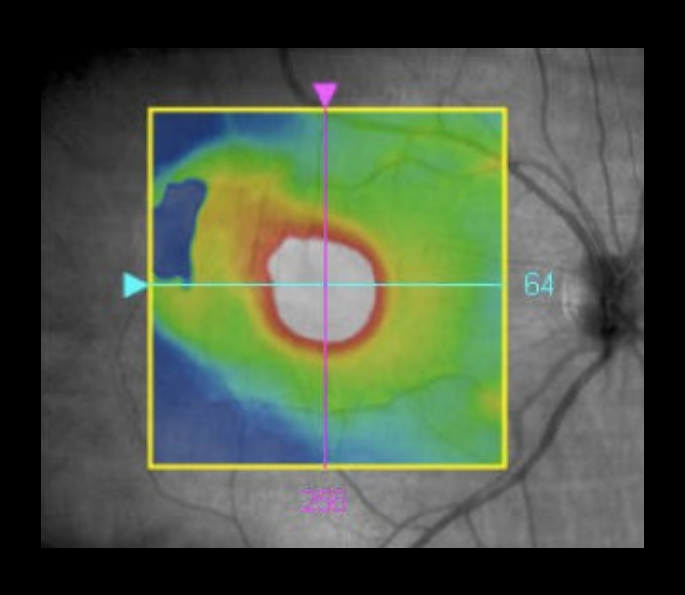


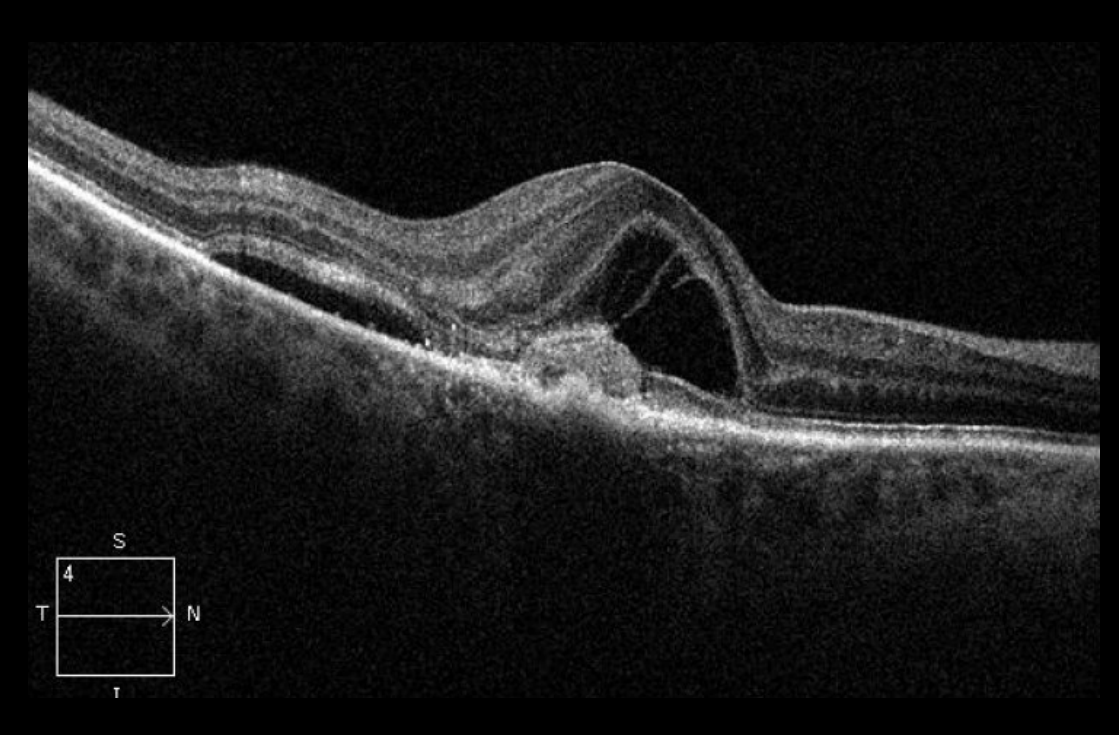
F, 65 ans, BAV OD 6/10

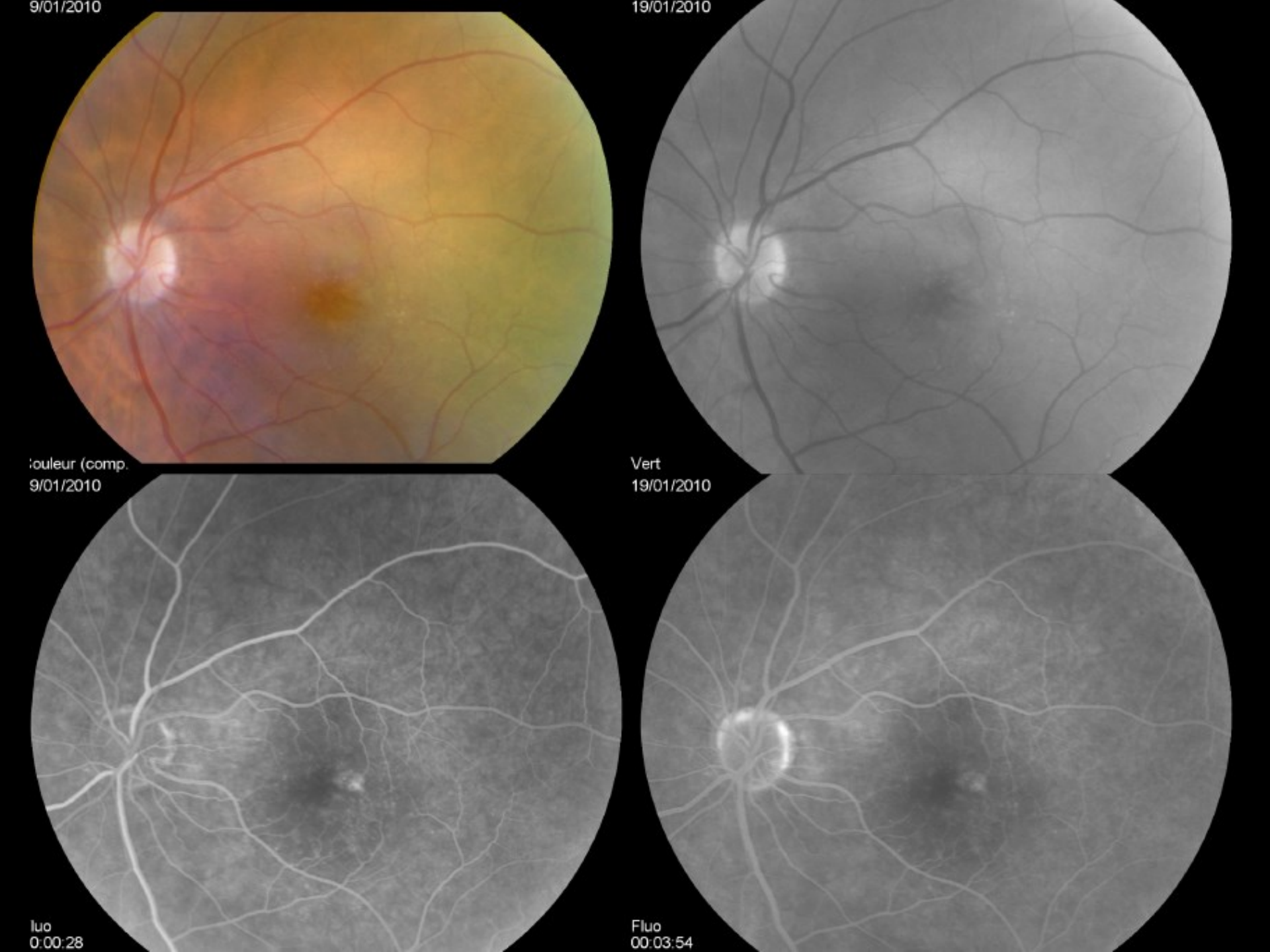


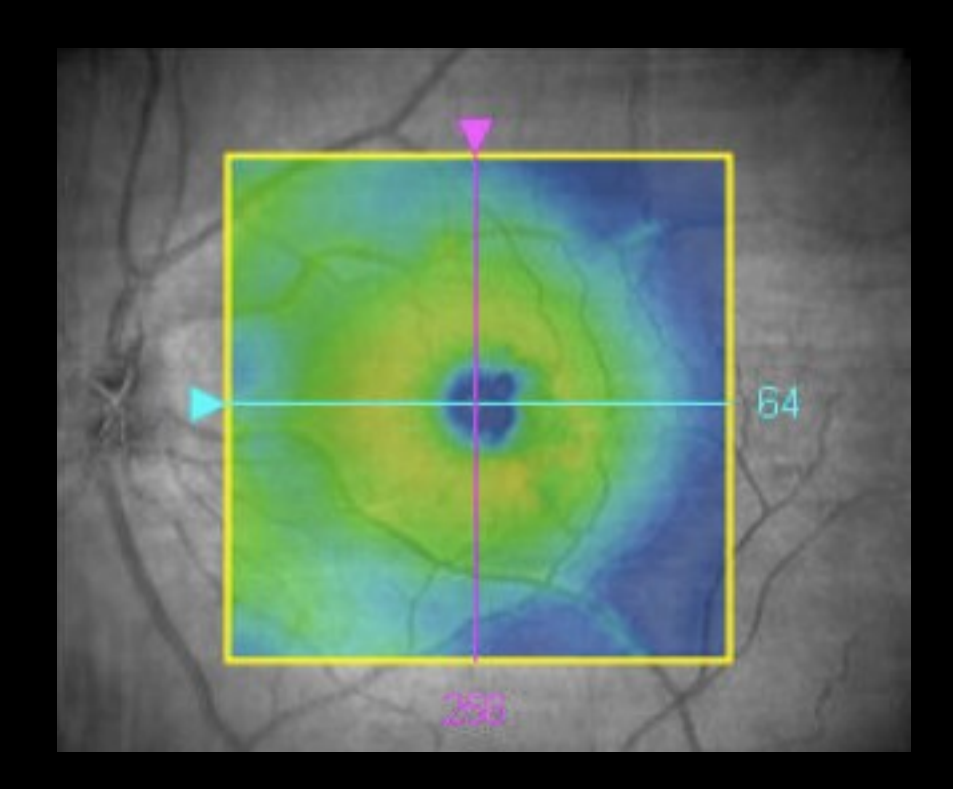


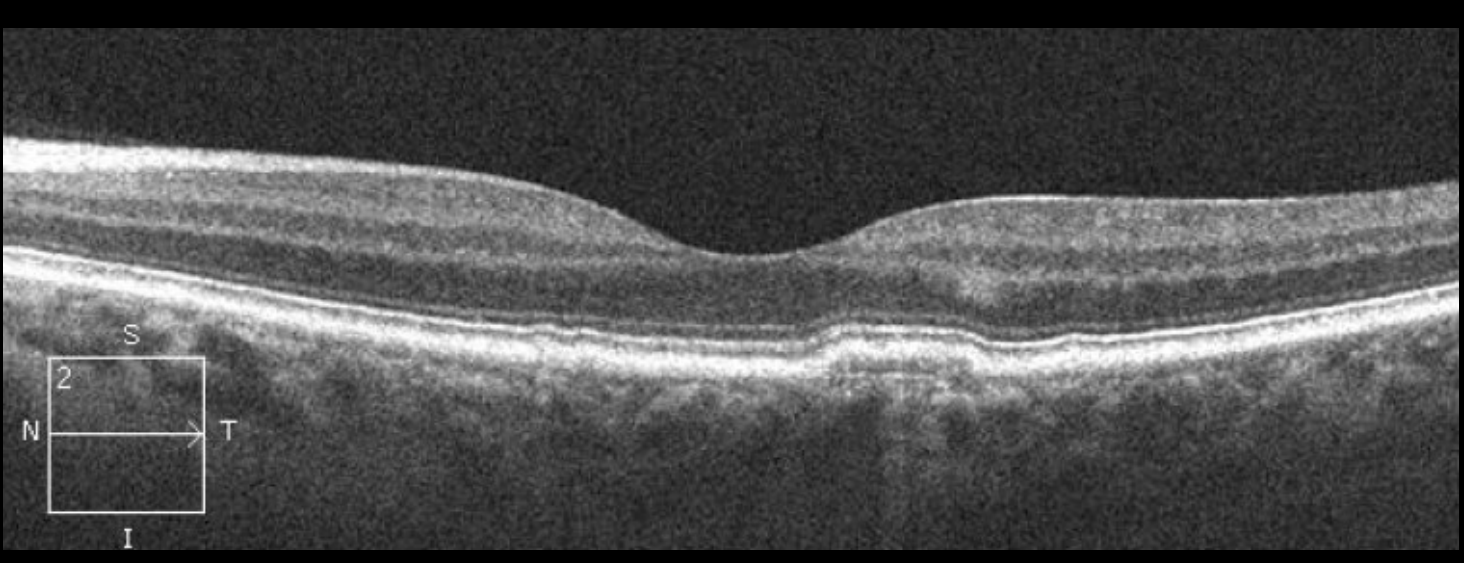
F, 65 ans, BAV OD 6/10















Néovaisseaux quiescents Type 1 OG

2 ans plus tard

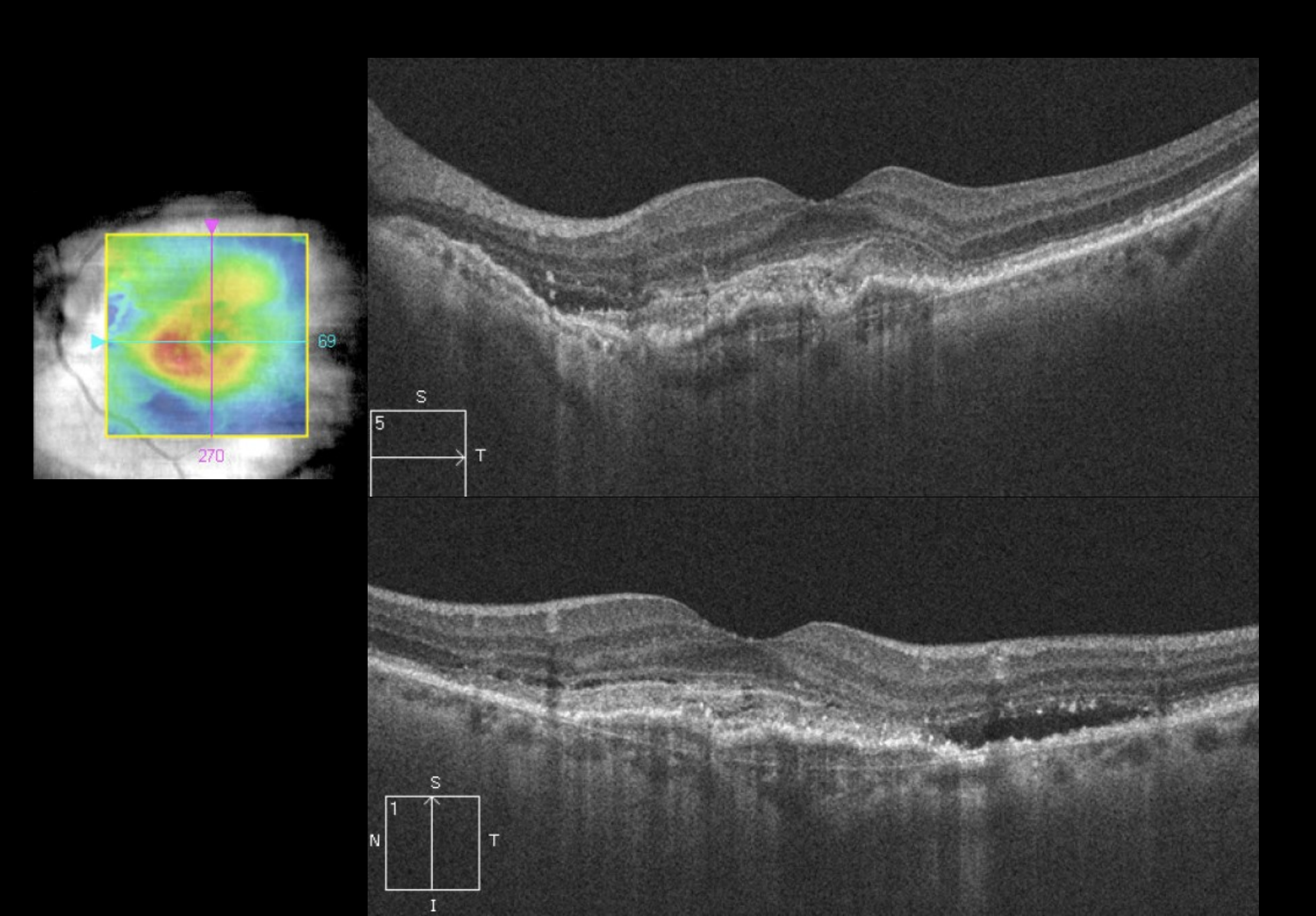
F, 81 ans, BAV OG 2/10



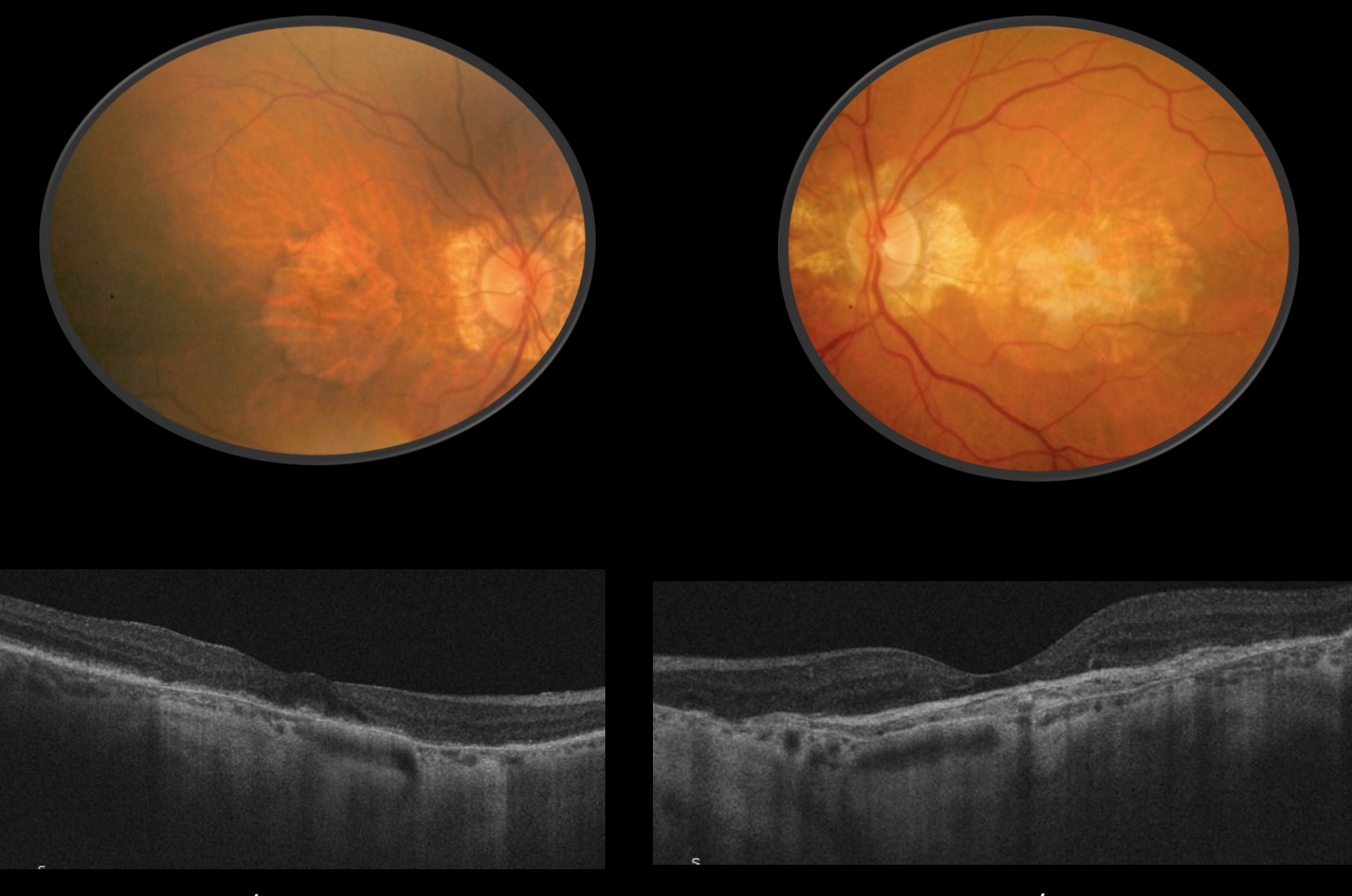
F, 81 ans, BAV OG 2/10



F, 81 ans, BAV OG 2/10

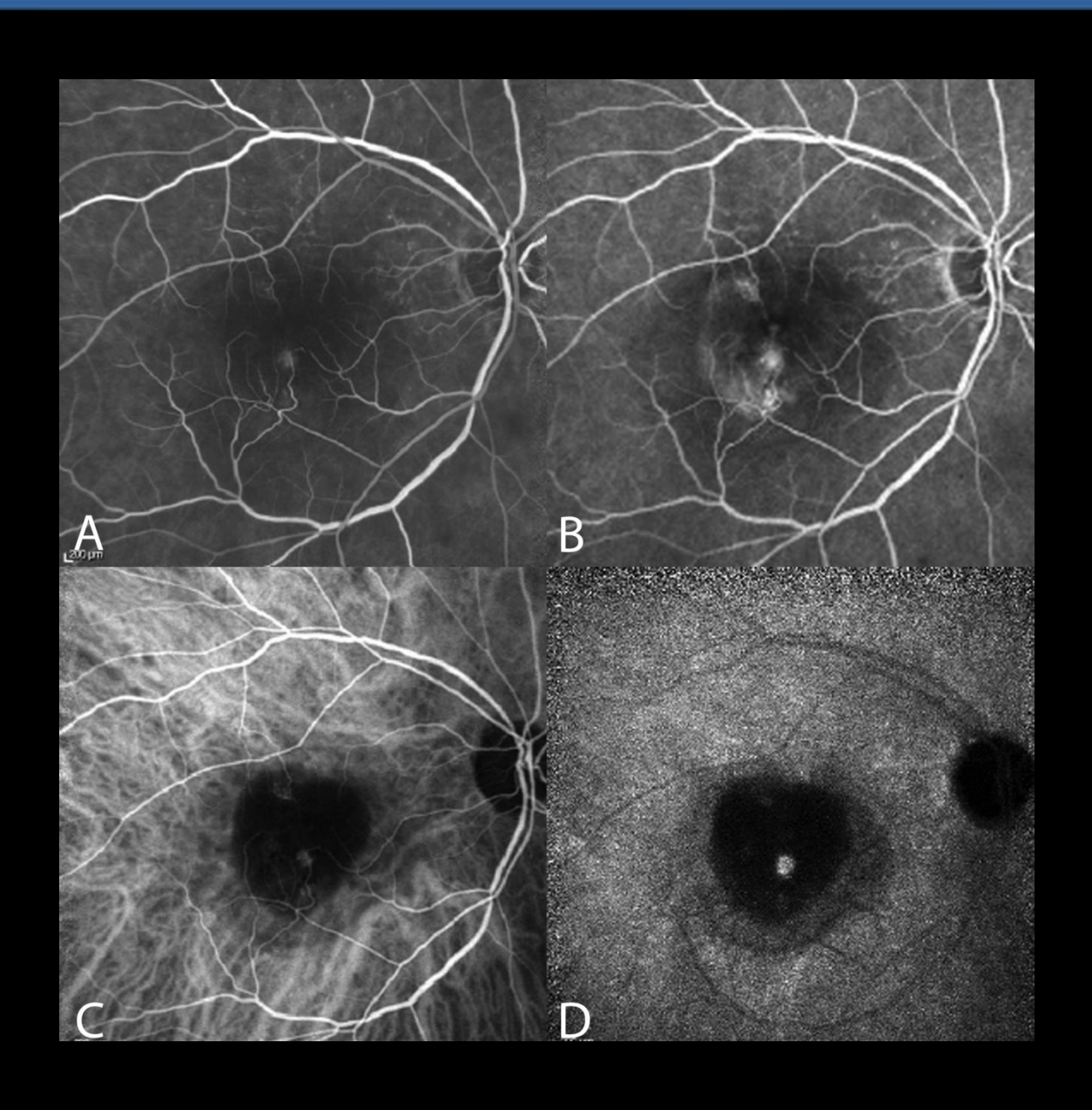


F, 81 ans, 3 ans plus tard

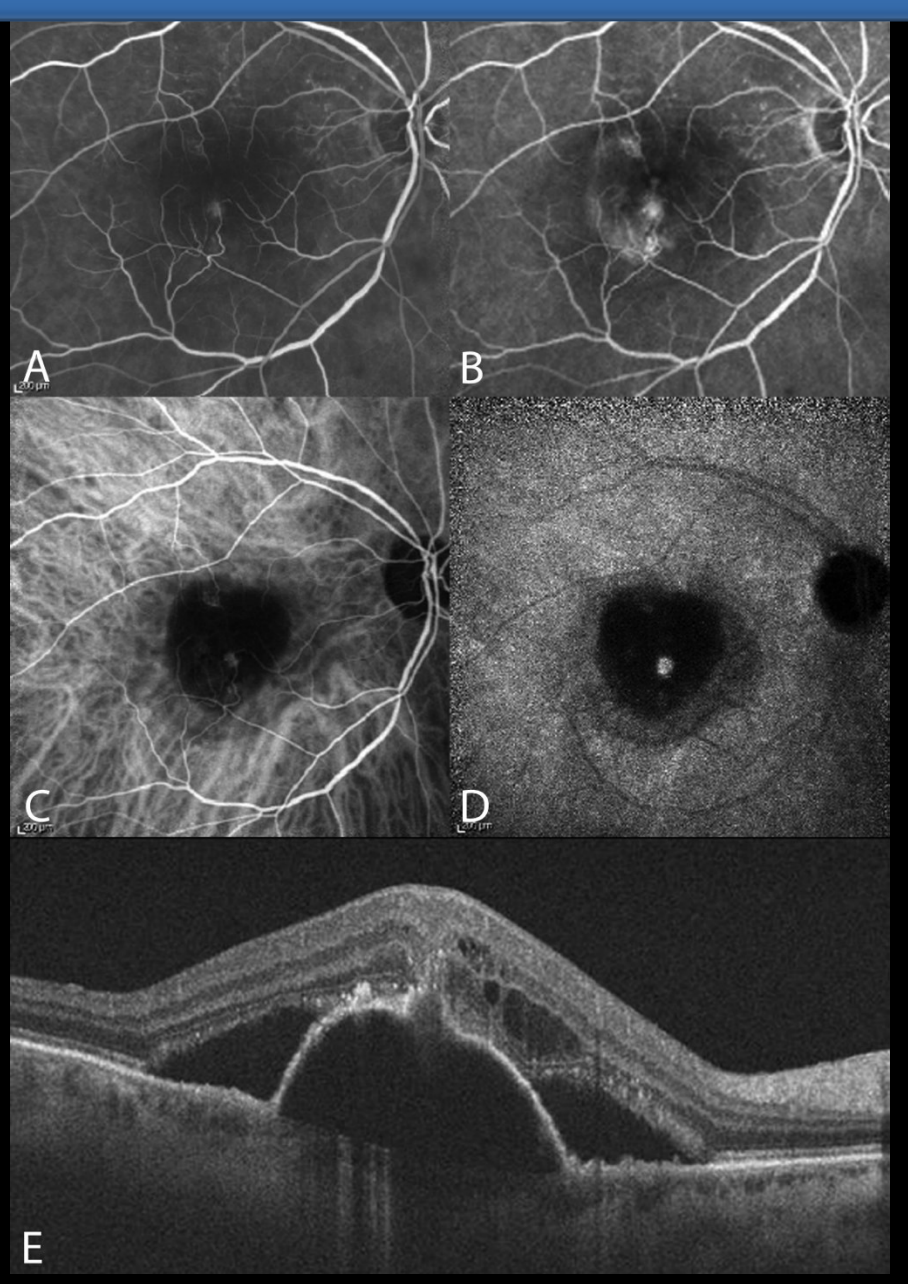


4/10 1/20

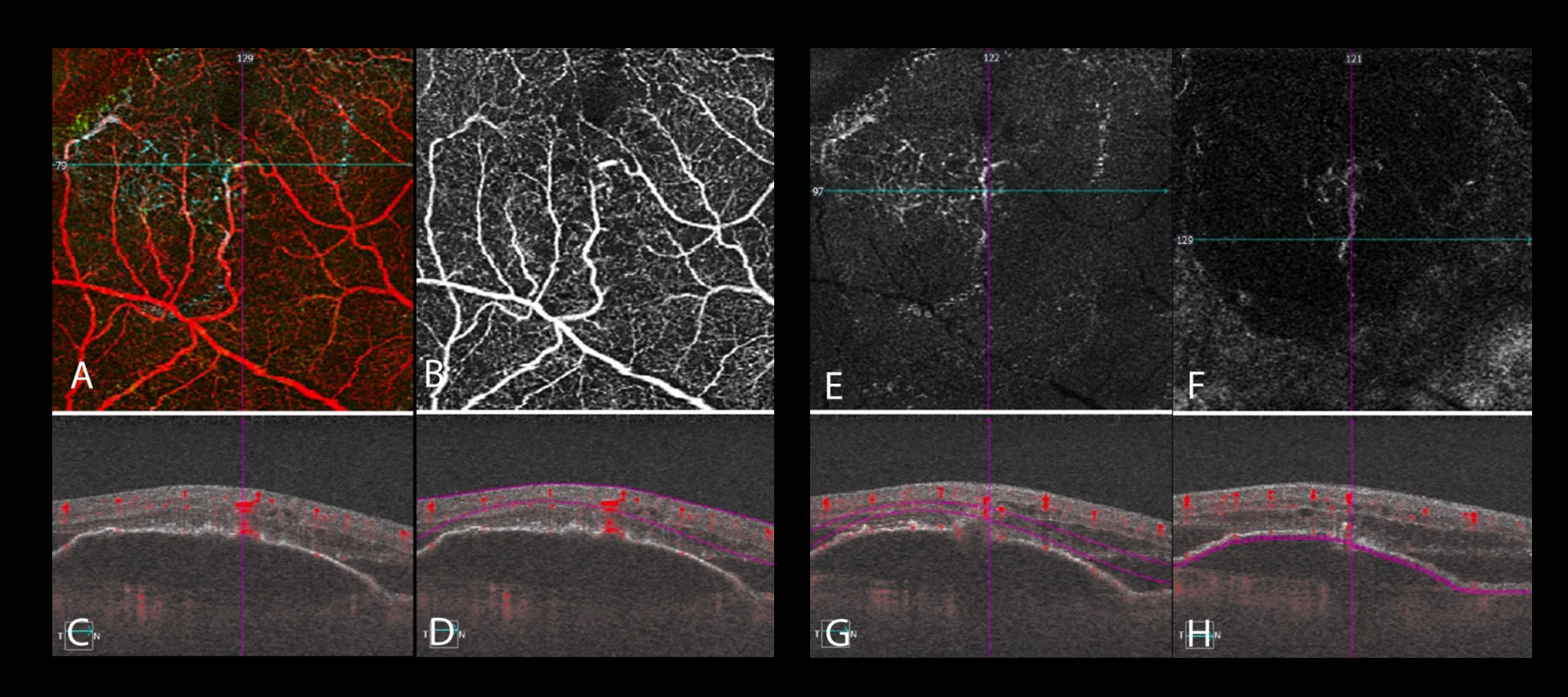
F, 78 ans, BAV OD 4/10



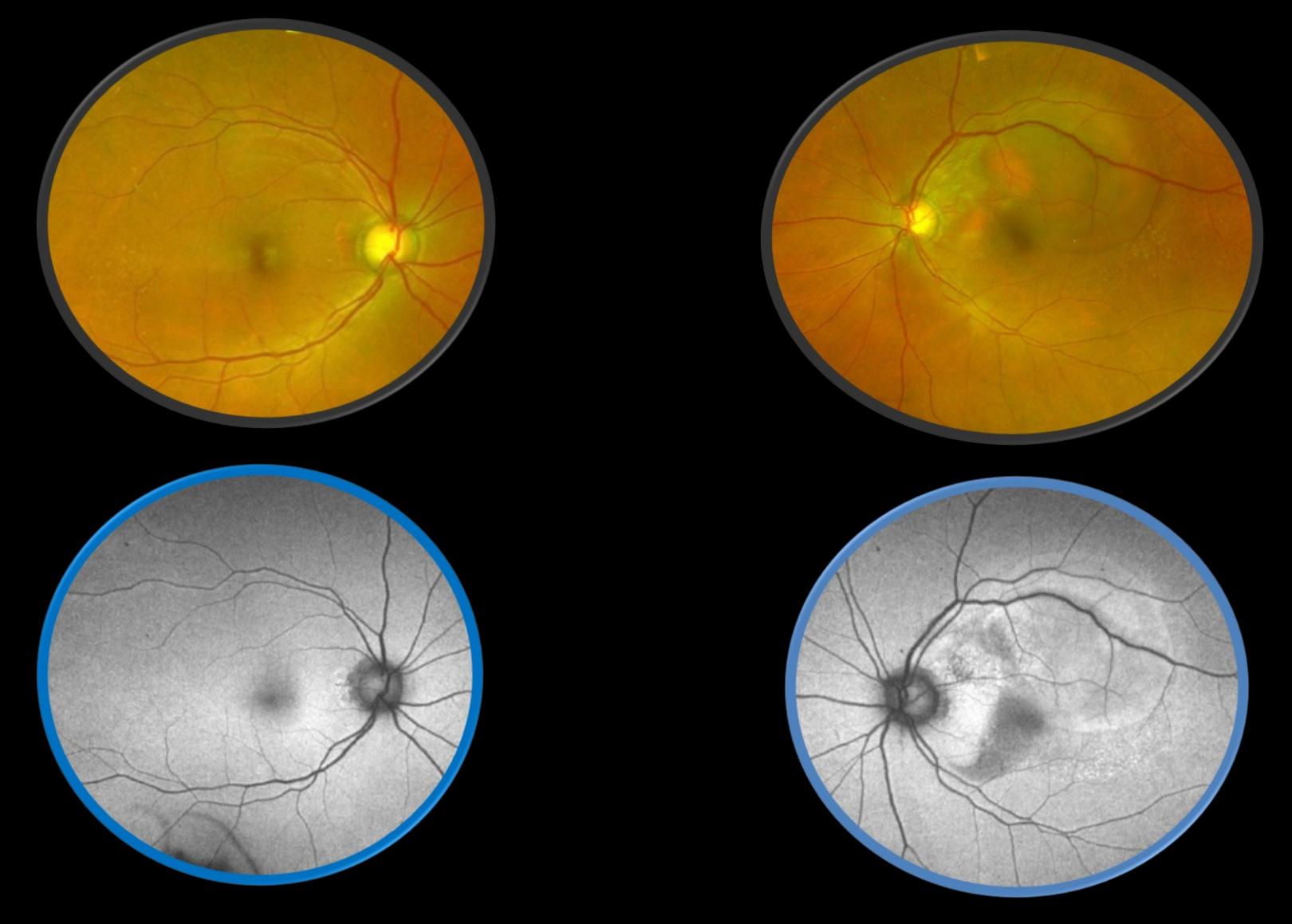
F, 78 ans, BAV OD 4/10

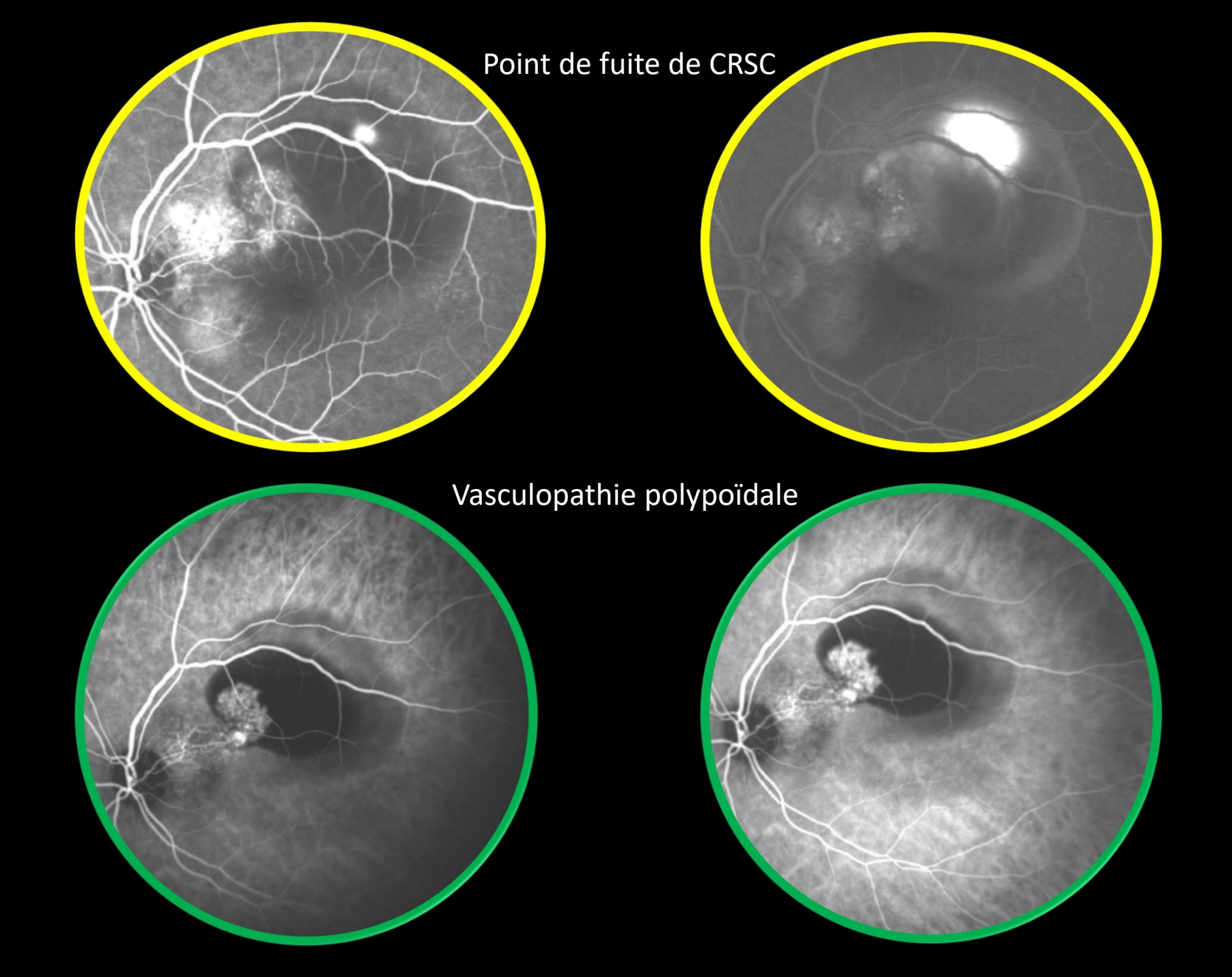


F, 78 ans, BAV OD 4/10

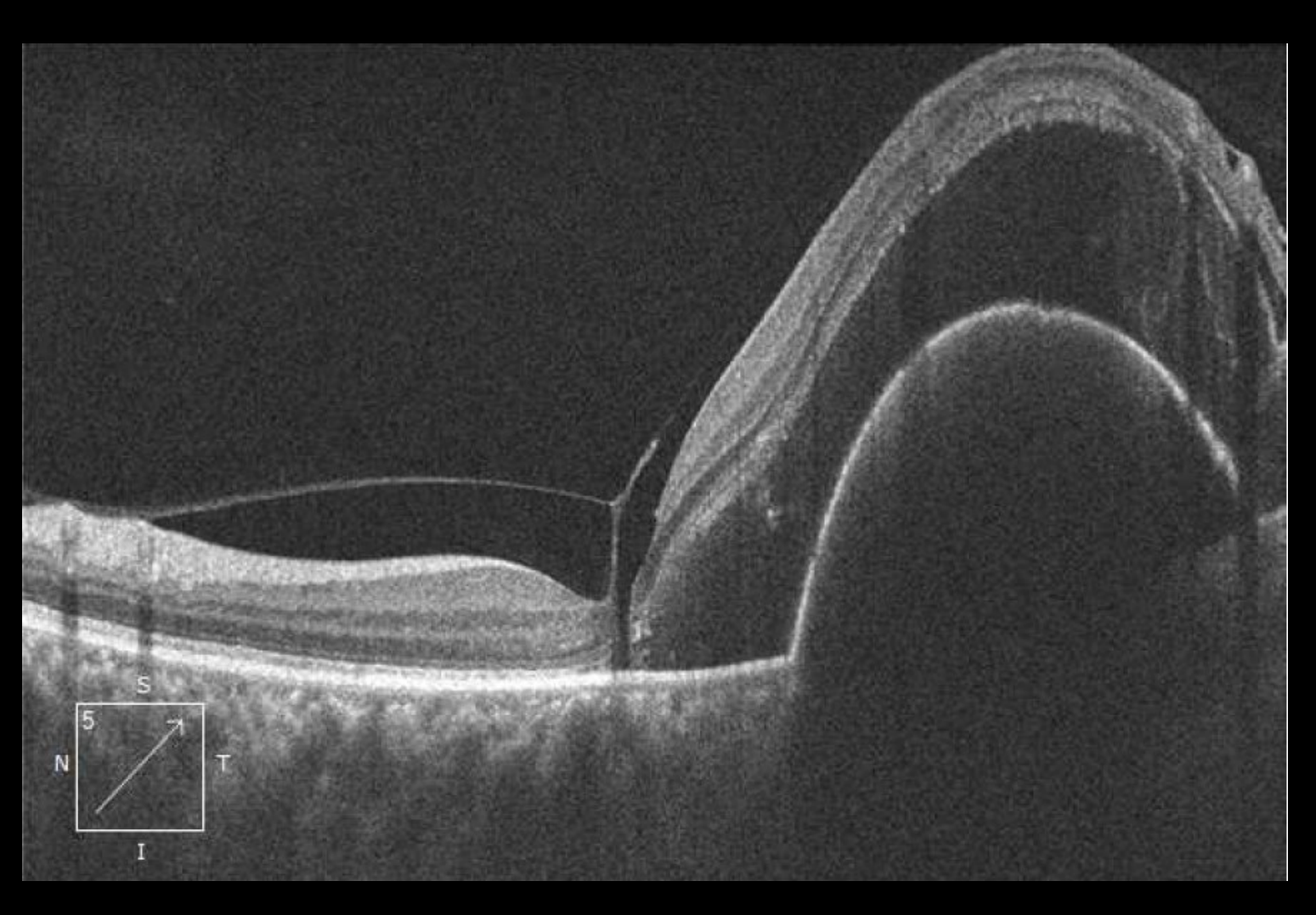


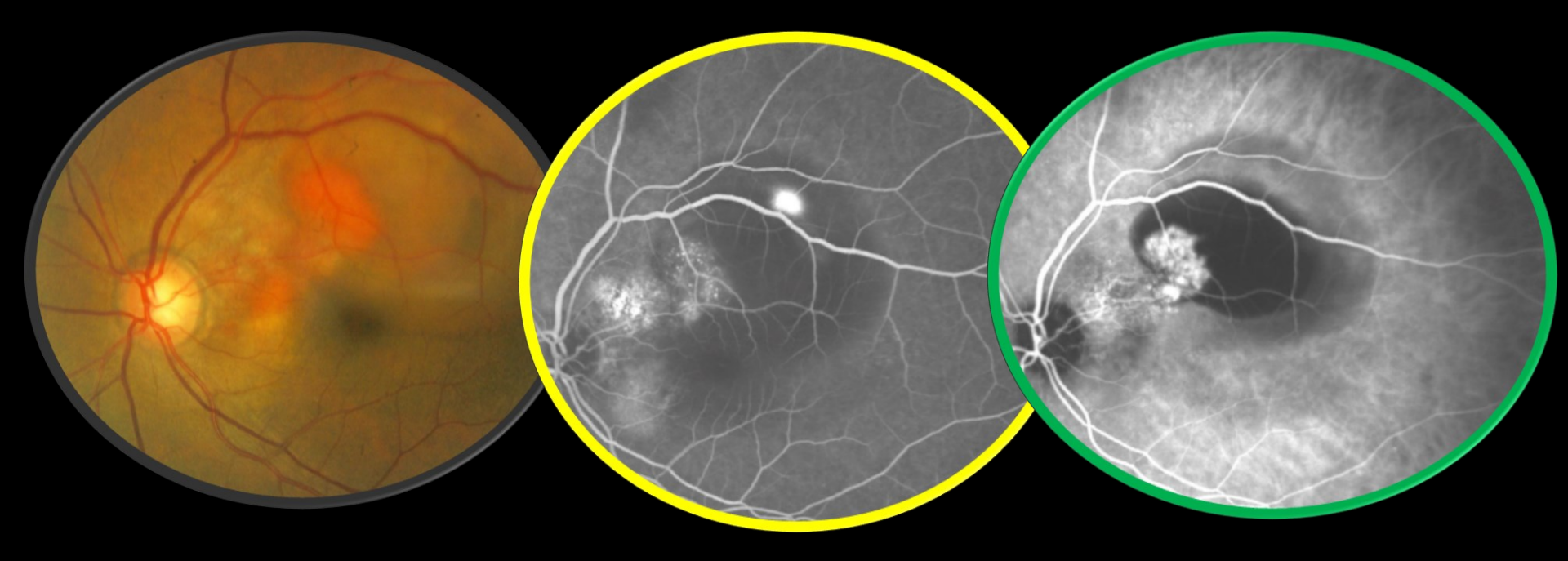
Femme 66 ans, BAV OG 63 lettres



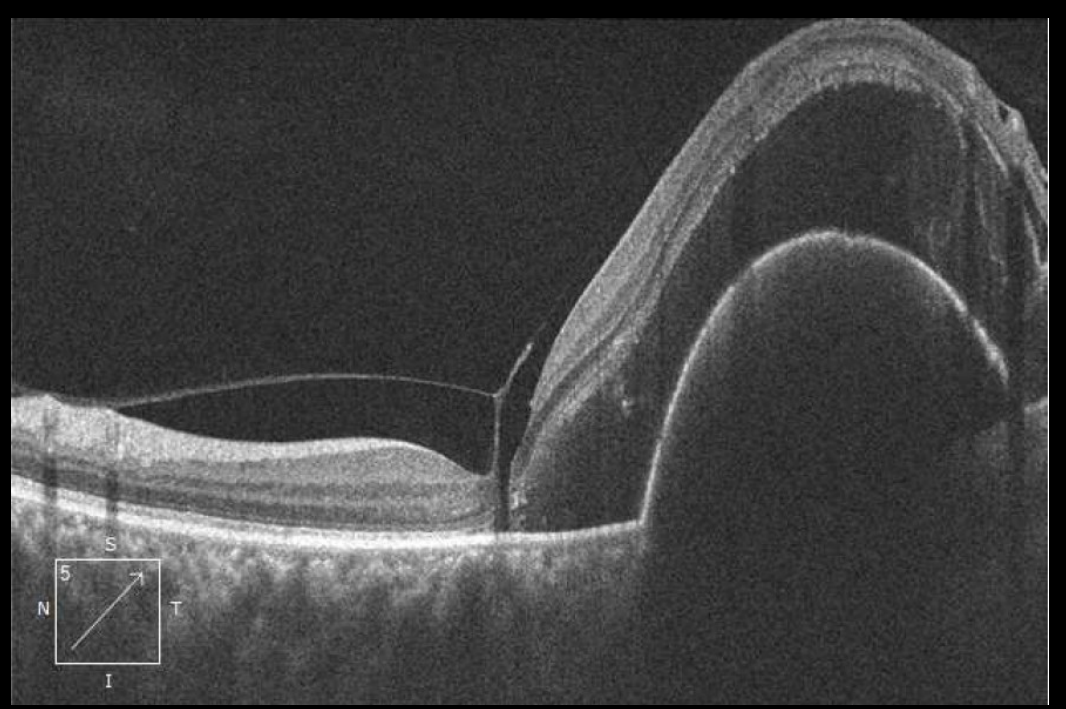


Point de fuite de CRSC Vasculopathie polypoïdale Trou maculaire



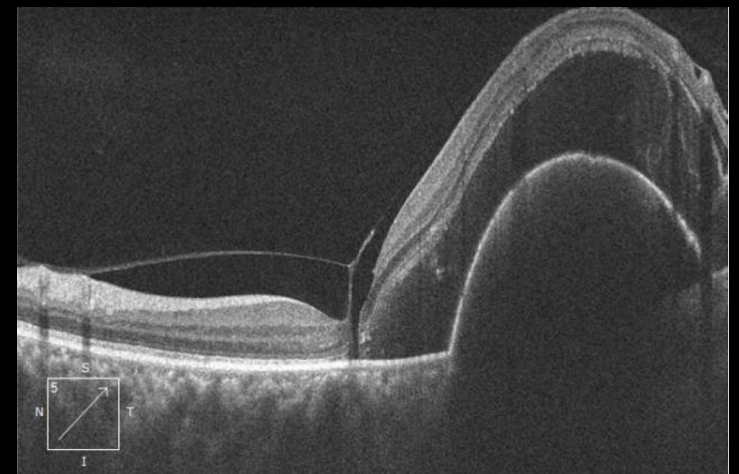


CRSC
Vasculopathie polypoïdale
Trou maculaire



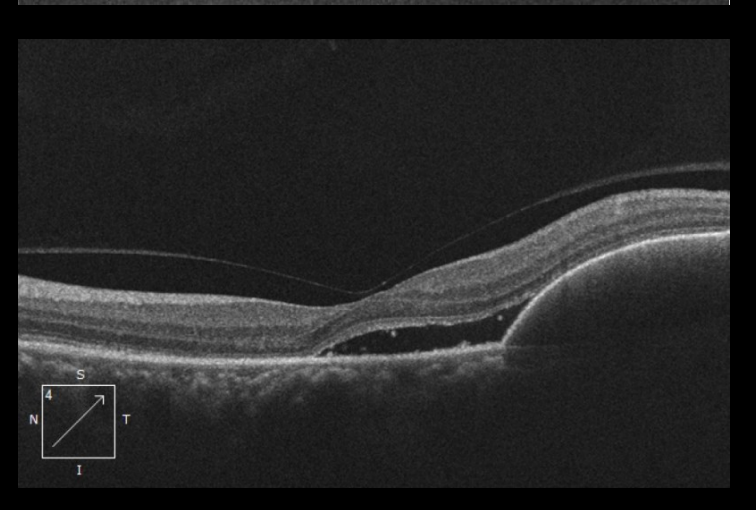
20 février Laser point de fuite 1ère IVT anti-VEGF





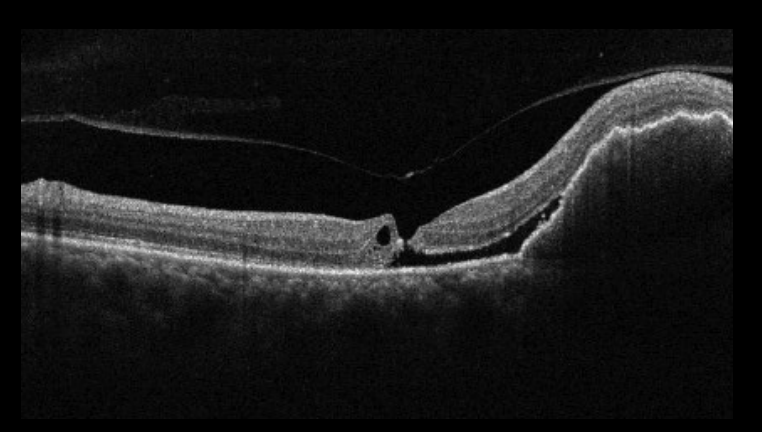
20 mars 2^{ème} IVT anti-VEGF





24 avril 3^{ème} IVT anti-VEGF

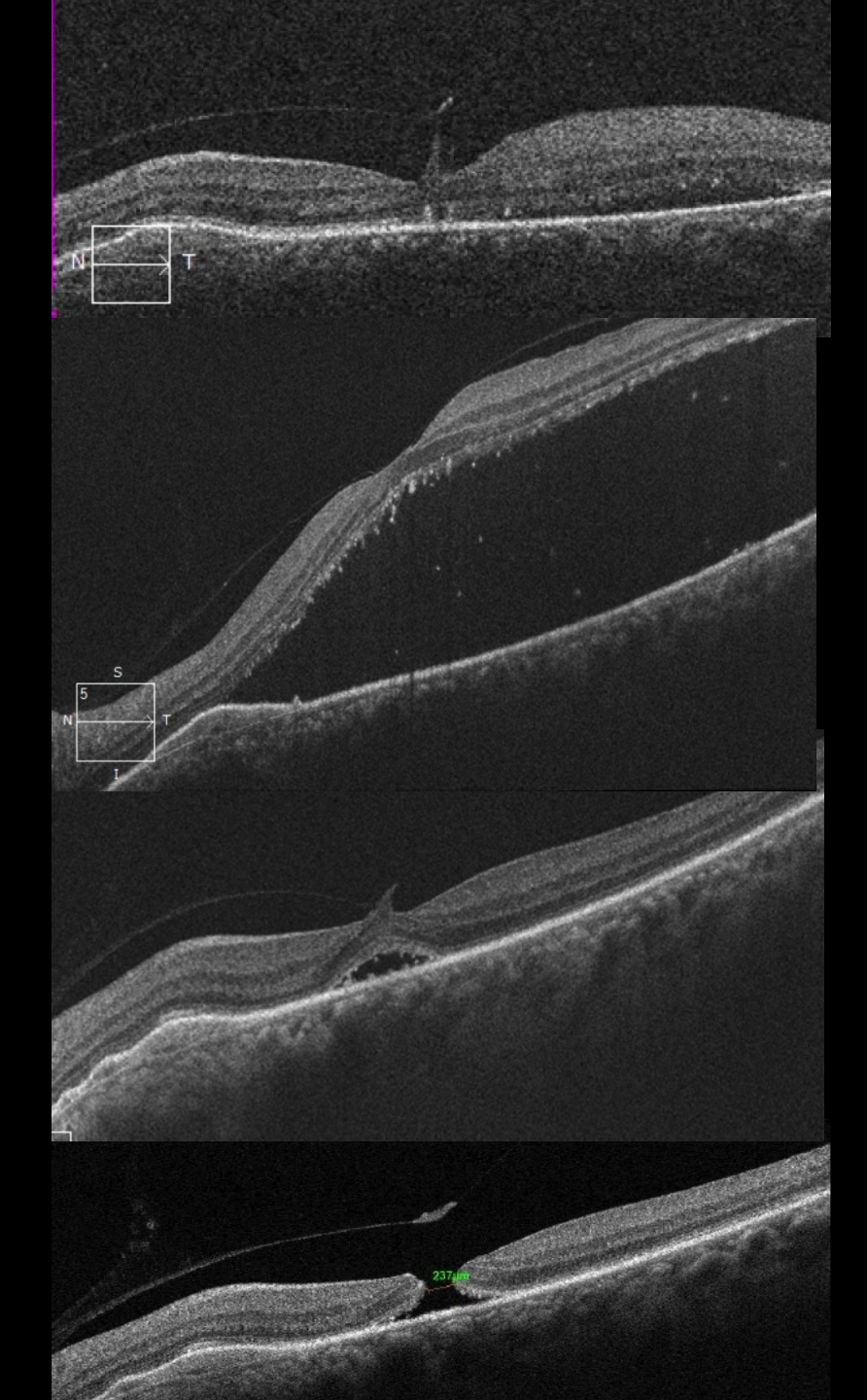




20 février

28 février

20 mars



24 avril